

# รายงานฉบับสรุปน้ำท่วม

เรื่อง

การศึกษาการดำเนินการโดยวิธีประเมินของกองน้ำท่วม  
โครงการชุมชนท้องถิ่นที่เข้มโดยใช้พื้นที่และวิถีชีวิตริบูร์

โดย

นางสาวจันทนากานต์ พายารัตน์

วิทยาลัยมหิดลเด็กและบุตรหลาน  
อุปกรณ์ทางการศึกษาวิทยาลัย

หนังสือที่

เผยแพร่ในเดือนมกราคม 2539

ฤดูหนาว 2541

628.552  
๗๔๘๓๑  
๙.๑

# รายงานฉบับสมบูรณ์

เรื่อง

การศึกษาการกำจัดสารเคมีเมืองออกจากน้ำทิ้ง  
โรงงานชุบโครเมียมโดยใช้พอดิโอเล็กโตรไอล์

โดย

นางสาวจินตนา สายวรรณ์



วิทยาลัยปิโตรเคมีและปิโตรเคมี  
จุฬาลงกรณ์มหาวิทยาลัย

สถาบันวิทยบริการ  
จุฬาลงกรณ์มหาวิทยาลัย  
สนับสนุนโดย

งบประมาณแผ่นดินประจำปี 2539

ตุลาคม 2541

工18293402

- ๘ ก.ย. 2542

กฤษฎีกาและประชานงนจิตรคุพาน

มอบให้ห้องสมุดกลาง สถาบันวิทยบริการ

อุปกรณ์คอมพิวเตอร์

17 / กม. 42

สถาบันวิทยบริการ  
จุฬาลงกรณ์มหาวิทยาลัย

628.352

ก.4837

(R+1)

## บทคัดย่อ

การศึกษาการกำจัดสารเคมีในน้ำทิ้งจากโรงงานชุมชนเคมีใน ได้ทำโดยใช้พอลิอิเล็กโตไรต์ที่มีประจุบวก คือ พอลิได์คลิลไดเมทธิดเอมโมเนียมคลอไรต์ (น้ำหนักไม่เกินมากกว่า 10,000 ดาลตัน) จับกับสารเคมีในน้ำทิ้งจากโรงงานชุมชน เกิดเป็นสารเชิงซ้อนไม่เกิด ให้ปฏิชีวิตริสเปรเดอร์-เคมีต์ พอลิอิเล็กโตไรต์เพิ่มการกรองเคมีแบบอัลตราฟิลเตอร์ชั้น เมื่อนำไปกรองด้วยอัลตราฟิลเตอร์ชั้นที่ใช้เมมเบรนมีค่าการตัดทิ้งน้ำหนักไม่เกิน 10,000 ดาลตัน ให้ค่ารีเจ็คชั้นได้ถึง 99.78% เมื่อเทียบราส่วนของ พอลิอิเล็กโตไรต์ ต่อ เคมีต์ เท่ากับ 20:1

การศึกษาผลกระทบของไอออนอื่นๆที่มีอยู่ในน้ำทิ้งมีต่อค่ารีเจ็คชั้นของเมมเบรนในการกรองเคมี การทดลองกับน้ำเสียสังเคราะห์ได้ทำกับแคทไอออนทองแดง เหล็ก นิกเกิล และสังกะสี โดยใช้ความเข้มข้น 20, 40, และ 100 มก. ต่อ ลิตร และแอนไอกอนคลอไรต์ ในระหว่างและชั้ลเฟต มีความเข้มข้น 1000, 3000, และ 6000 มก. ต่อ ลิตร พบว่า แคท ไอออนทองแดง และเหล็ก ตกลงกับเคมี สังกะสีตกลงกับเคมีมีความเข้มข้นมีค่าสูง ส่วน นิกเกิลไม่ตกลงกับเคมี ทุกความเข้มข้น ตะกอนที่เกิดขึ้นอยู่ในรีเทนเตตไม่มีผลกระทบต่อค่ารีเจ็คชั้นหรือเวลาของการกรอง ยกเว้นตะกอนของไอออนเหล็กทำให้เวลาการกรองเพิ่มขึ้นมาก ผลกระทบของแอนไอกอนทำให้ค่ารีเจ็คชั้นลดลงตามความเข้มข้นของแอนไอกอนที่เพิ่มขึ้น ความเข้มข้นของไอออนที่มีประจุบวกหรือสองลบในเพอเมิร์กไม่มีความแตกต่างกัน แต่ทว่าไอออนสองลบของชัลเฟตทำให้เวลาของการกรองอัลตราฟิลเตอร์นานขึ้นกว่าไอออนหนึ่งลบ

การกรองเคมีในตัวอย่างน้ำทิ้งจากโรงงานชุมชนเคมีใน ใช้อัตราส่วนของพอลิอิเล็กโตไรต์ต่อเคมีต์เริ่มต้น 20:1 เพียงครั้งเดียว แต่การกรองได้ทำโดยเติมน้ำเสียลงไปเท่าปริมาตรเริ่มต้นถึง 4 ครั้ง ในตัวอย่างชุดเดียวกัน ได้ค่ารีเจ็คชั้นเฉลี่ย 99.5% ของการเติมน้ำเสีย 4 ครั้ง นอกจาคนี้ การกรองอัลตราฟิลเตอร์ชั้นของตัวอย่างน้ำเสียจริงไม่มีตะกอนของไอออนเกิดขึ้นเมื่อทำการศึกษาน้ำเสียสังเคราะห์ และชัลเฟตไอออน 60-77% ถูกจับอยู่ในรีเทนเตต แต่ไอออนอื่นถูกจับไว้ น้อย เนื่องจากตัวอย่างน้ำเสียมีความเป็นกรดมากกว่าน้ำเสียสังเคราะห์

## Abstract

Study of chromium removal from chromium plating waste was done by using cationic polyelectrolyte, poly (diallyl dimethyl ammonium chloride) (MWCO > 10 k Daltons) binding to chromate to form polyelectrolyte-chromate complex molecules. Polyelectrolyte enhanced- ultrafiltration of chromate give 99.78% rejection when the ratio of polyelectrolyte to chromate is 20:1.

Effect of other ions in the waste on the rejection of chromate was studied using synthetic waste. Concentrations of ions studied were 20, 40, and 100 ppm for  $\text{Cu}^{+2}$ ,  $\text{Fe}^{+3}$ ,  $\text{Ni}^{+2}$ , and  $\text{Zn}^{+2}$  and 1000, 3000, and 6000 ppm for  $\text{Cl}^-$ ,  $\text{NO}_3^-$ , and  $\text{SO}_4^{-2}$ . It is found that  $\text{Cu}^{+2}$  and  $\text{Fe}^{+3}$  precipitate with chromate while  $\text{Zn}^{+2}$  occurs at high concentration, but  $\text{Ni}^{+2}$  does not precipitate at all concentrations. However, the precipitation do not affect the chromate rejections and permeation times, except the precipitation of ferric chromate. The results of all anions show that the chromate rejections decrease as the concentrations of ions increase. Single or double charges of anions give similar result, however, the double charge of sulfate ion gives longer permeation time.

Ultrafiltration of chromate from plating waste was operated in a single run by mixing polyelectrolyte to chromate at a ratio of 20:1 and adding the waste for 4 times. An average of the chromate rejection of 99.5% is obtained from 4 additions of waste. The ultrafiltration of the actual waste does not show precipitation of any ions as occurring in the synthetic waste. Furthermore, 60 - 77% sulfate, but small amount of other ions are retained in the retentate, because the solution is more acidic than the synthetic waste.

## กิตติกรรมประกาศ

งานวิจัยนี้ได้รับการเอื้อเทือด้วยอย่างน้ำเสียงจาก บริษัท ด. บุนนาค, บริษัทยาาร์คิโครม เท็นเตอร์ บริษัทหรือภูมิของโครงเมียม กรมโรงงานอุตสาหกรรม และสถาบันพัฒนาอุตสาหกรรม เครื่องจักรกลและโลหะการ (MIDI) และผู้ช่วยวิจัย นส. จินตนา เจริญศิริ ที่ต้องใช้ความพยายามอย่างยิ่งที่ทำให้การทดลองสำเร็จลุล่วงได้ ผู้เขียนขอขอบคุณทุกท่านมา ณ. ที่นี้ด้วย

สถาบันวิทยบริการ  
จุฬาลงกรณ์มหาวิทยาลัย

## สารบัญ

บทคัดย่อภาษาไทย	i
บทคัดย่อภาษาอังกฤษ	ii
กิตติกรรมประกาศ	iii
สารบัญ	iv
สารบัญภาพ	vii
สารบัญตาราง	ix
<b>บทที่ 1 บทนำ</b>	<b>1</b>
1.1    ความสำคัญและที่มาของปัจจุบันที่ทำการวิจัย	1
1.2    วัตถุประสงค์และขอบเขตของการศึกษา	2
<b>บทที่ 2 การตรวจสอบเอกสารและงานวิจัยที่เกี่ยวข้อง</b>	<b>3</b>
2.1    โครงเมี้ยมในสารลละลาย	4
2.2    ความเป็นพิษของโครงเมี้ยม	5
2.3    การชุบโครงเมี้ยม (Chromium plating)	5
2.4    การทำจดจำทึ้งจากโรงงานชุบโครงเมี้ยม	8
2.5    อัลตราฟิลترةชัน (Ultrafiltration)	9
2.6    พอลิอิเล็กโทรไลต์ (Polyelectrolytes)	12
2.6.1    พอลิไดอัลลิไดเมทธิลแอมโมเนียมคลอไรด์	15
2.7    งานวิจัยที่เกี่ยวข้อง	16
<b>บทที่ 3 วิธีการดำเนินการวิจัย</b>	<b>20</b>
3.1    เครื่องมือ-อุปกรณ์ และสารเคมี	21
3.1.1    เครื่องแก้ว	21
3.1.2    เครื่องมือ-อุปกรณ์	21
3.2    สารเคมี	23
3.3    วิธีการทดลอง	30
3.3.1    วิธีการวิเคราะห์หาชนิดและปริมาณของไอออนที่มี	

อยู่ในน้ำทึบจากโรงงานชุมชนโครเมี่ยม	30
3.3.1.1 การวิเคราะห์หาปริมาณไอโอดินของ ทองแดง เหล็ก นิเกิล ตะกั่ว และสังกะสี	30
3.3.1.2 การวิเคราะห์ไซยาไนด์	30
3.3.1.3 การวิเคราะห์โครเมต	30
3.3.1.4 การวิเคราะห์ในเทราท และ ชัลเฟต	30
3.3.1.5 การวิเคราะห์คลอไรด์	31
3.3.2 วิธีการศึกษาอัตราส่วนพอลิอิเล็กโทรไอล์ต์ต่อโครเมตไอโอดิน	31
3.3.2.1 การศึกษาอัตราส่วนระหว่างพอลิอิเล็กโทรไอล์ต์และ โครเมตที่ 5/1	31
3.3.2.2 การศึกษาอัตราส่วนระหว่างพอลิอิเล็กโทรไอล์ต์และ โครเมตที่ 10/1	32
3.3.2.3 การศึกษาอัตราส่วนระหว่างพอลิอิเล็กโทรไอล์ต์และ โครเมตที่ 20/1	32
3.3.2.4 การศึกษาอัตราส่วนระหว่างพอลิอิเล็กโทรไอล์ต์และ โครเมตที่ 30/1	32
3.3.3 การศึกษาผลกระทบของแคทไอโอนที่มีต่อค่ารีเจ็คชันของ โครเมตไอโอดิน	32
3.3.3.1 การศึกษาผลกระทบของแคทไอโอดินทองแดง	32
3.3.3.2 การศึกษาผลกระทบของแคทไอโอนเหล็ก	33
3.3.3.3 การศึกษาผลกระทบของแคทไอโอนนิเกิล	33
3.3.3.4 การศึกษาผลกระทบของแคทไอโอนสังกะสี	33
3.3.4 การศึกษาผลกระทบของแอนไโอดินที่มีต่อค่ารีเจ็คชันของ โครเมตไอโอดิน	33
3.3.4.1 การศึกษาผลกระทบของแอนไโอดินคลอไรด์	33
3.3.4.2 การศึกษาผลกระทบของแอนไโอดินในเทราท	33
3.3.4.3 การศึกษาผลกระทบของแอนไโอดินชัลเฟต	34
3.3.5 การศึกษาน้ำเสียจากโรงงานชุมชนโครเมี่ยม	34
บทที่ 4 ผลการทดลองและวิจารณ์	35

4.1 การวิเคราะห์หาชนิดและปริมาณไอโอดีนที่มีอยู่ในน้ำทึ้งจากโรงงานชุบ โครเมียม	35
4.2 การศึกษาอัตราส่วนพอลิอิเล็กโทรไรล์ต่อโครเมต์ไอโอดีน	37
4.3 การศึกษาผลกราฟของแคทไอโอดีนบวกต่อค่ารีเจ็คชันของโครเมต์	37
4.3.1 การศึกษาผลกราฟของแคทไอโอดีนทองแดง	37
4.3.2 การศึกษาผลกราฟของแคทไอโอดีนเหล็ก	42
4.3.3 การศึกษาผลกราฟของแคทไอโอดีนนิกเกิล	45
4.3.4 การศึกษาผลกราฟของแคทไอโอดีนสังกะสี	47
4.4 การศึกษาผลกราฟของแอนไอกอนที่มีต่อค่ารีเจ็คชันของโครเมต์ไอโอดีน	53
4.4.1 การศึกษาผลกราฟของแอนไอกอนคลอร์อิโรมี	53
4.4.2 การศึกษาผลกราฟของแอนไอกอนไนเตรท	57
4.4.3 การศึกษาผลกราฟของแอนไอกอนชัลเฟต	60
4.5 การศึกษาน้ำเสียจากโรงงานชุบโครเมียม	67
<b>บทที่ 5 บทสรุป</b>	76
<b>เอกสารอ้างอิง</b>	79
ภาคผนวก ก. การศึกษาอัตราส่วนของพอลิอิเล็กโทรไรล์ต่อโครเมต์ไอโอดีนที่มี ผลต่อการกำจัดโครเมต์ไอโอดีน	85
ภาคผนวก ข. การศึกษาผลกราฟของแคทไอโอดีน	86
ภาคผนวก ค. การศึกษาผลกราฟของแอนไอกอน	91
ภาคผนวก ง. การวิเคราะห์ตัวอย่างน้ำเสียและพอลิอิเล็กโทรไรล์เพิ่มการกรอง อัลตราฟิลเตอร์ชั้นตัวอย่างน้ำเสีย	95

จุฬาลงกรณ์มหาวิทยาลัย

## สารบัญภาพ

รูปที่ 2.1 ขั้นตอนการซุบโครงเมียมและนำติ้งจากกระบวนการ	7
รูปที่ 2.2 ความสมมั่นคงขนาดไม่เลกุลและกระบวนการแยกแบบต่างๆ	11
รูปที่ 2.3 โครงสร้างทางเคมีของอนุกรรมพอลิไดอัลลิสโตร์ฟิลและเมทธิลแอมโมเนียมคลอไรด์	17
รูปที่ 3.1 การทำพอลิอิเล็กโทรไอล์ดให้บริสุทธิ์โดยใช้สีปีกอล วูล์ฟ ยูนิต	24
รูปที่ 4.1 อัตราส่วนของพอลิอิเล็กโทรไอล์ดต่อครามे�ตที่มีผลต่อการกำจัดครามे�ตไออ่อน	38
รูปที่ 4.2 ผลกระทบของไออ่อนทองแดงในน้ำเสียสังเคราะห์ที่มีผลต่อค่ารีเจ็คชันของครามे�ตไออ่อน	39
รูปที่ 4.3 ปริมาณของไออ่อนทองแดงก่อนและหลังผ่านเมมเบรนอัลตราฟิลเตอร์ชั้น	41
รูปที่ 4.4 ผลกระทบของไออ่อนเหล็กในน้ำเสียสังเคราะห์ที่มีผลต่อค่ารีเจ็คชันของครามे�ตไออ่อน	43
รูปที่ 4.5 ปริมาณของไออ่อนเหล็กก่อนและหลังผ่านเมมเบรนอัลตราฟิลเตอร์ชั้น	44
รูปที่ 4.6 ผลกระทบของไอออนนิกิลในน้ำเสียสังเคราะห์ที่มีต่อค่ารีเจ็คชันของครามे�ตไออ่อน	46
รูปที่ 4.7 ปริมาณของไอออนนิกิลก่อนและหลังผ่านเมมเบรนอัลตราฟิลเตอร์ชั้น	48
รูปที่ 4.8 ผลกระทบของไอออนลังกะศีในน้ำเสียสังเคราะห์ที่มีผลต่อการรีเจ็คชันของครามे�ตไออ่อน	49
รูปที่ 4.9 ปริมาณของไอออนของลังกะศีก่อนและหลังการผ่านเมมเบรนอัลตราฟิลเตอร์ชั้น	51
รูปที่ 4.10 เปรียบเทียบผลกระทบของแคทไออ่อนต่างชนิดที่มีต่อค่ารีเจ็คชันของครามे�ตไออ่อน	52
รูปที่ 4.11 เปรียบเทียบความเข้มข้นของไออ่อนต่างชนิดในเพอยเมิร์ล	54

รูปที่ 4.12 เปรียบเทียบเวลาที่สารละลายของแคนท์ไอคอนต่างชนิดให้เพอมิเอก 200 มล.	55
รูปที่ 4.13 ผลกระทบของคลอไรด์ไอคอนในน้ำเสียสังเคราะห์ที่มีค่ารีเจ็คชันของครามेट	56
รูปที่ 4.14 เปรียบเทียบปริมาณของไอคอนคลอไรด์ก่อนและหลังการผ่าน เมมเบรนอัลตราฟิลเตอร์ชั้น	58
รูปที่ 4.15 ผลกระทบของไนเตรฟท์ไอคอนในน้ำเสียสังเคราะห์ที่มีต่อค่ารีเจ็คชันของครามे�ตไอคอน	59
รูปที่ 4.16 เปรียบเทียบปริมาณไนเตรฟท์ไอคอนก่อนและหลังผ่าน เมมเบรนอัลตราฟิลเตอร์ชั้น	61
รูปที่ 4.17 ผลกระทบของชัลเฟต์ไอคอนในน้ำเสียสังเคราะห์ที่มีต่อค่ารีเจ็คชันครามे�ตไอคอน	62
รูปที่ 4.18 ปริมาณของชัลเฟต์ไอคอนก่อนและหลังผ่านเมมเบรน อัลตราฟิลเตอร์ชั้น	64
รูปที่ 4.19 เปรียบเทียบผลกระทบของแอนไอกอนต่างชนิดที่มีต่อค่ารีเจ็คชันของครามे�ตไอคอน	65
รูปที่ 4.20 เปรียบเทียบความเข้มข้นของแอนไอกอนต่างชนิดในเพอมิเอก	66
รูปที่ 4.21 เปรียบเทียบเวลาที่สารละลายของแอนไอกอนต่างชนิดให้เพอมิเอก 200 มล.	68
รูปที่ 4.22 รีเจ็คชันและความเข้มข้นของครามे�ตไอคอนในเพอมิเอก ของน้ำเสียตัวอย่างที่ 1	70
รูปที่ 4.23 ปริมาณไอคอนในเพอมิเอกของน้ำเสียตัวอย่างที่ 1	71
รูปที่ 4.24 รีเจ็คชันและความเข้มข้นของครามे�ตไอคอนในเพอมิเอก ของน้ำเสียตัวอย่างที่ 2	73
รูปที่ 4.25 ปริมาณไอคอนในเพอมิเอกของน้ำเสียตัวอย่างที่ 2	74

## สารบัญตาราง

ตารางที่ 2.1 การใช้สารประกอบโครงเมียมในอุตสาหกรรม	3
ตารางที่ 2.2 ความเข้มข้นของโครงเมตไอกอนชนิดต่างๆ เป็นฟังก์ชันของ pH ของสารละลาย (ความเข้มข้นในตารางมีหน่วยเป็น mole/dm <sup>3</sup> )	4
ตารางที่ 2.3 การจัดกลุ่มของพอลิอิเล็กโทรไลต์ตามโครงสร้าง	13
ตารางที่ 2.4 การจัดกลุ่มของพอลิอิเล็กโทรไลต์ตามไออกอนไซด์	14
ตารางที่ 2.5 การใช้ poly-DADMAC ในกระบวนการบด Ca(OH) <sub>2</sub> 150 mg. ต่อ ลิตร	15
ตารางที่ 2.6 การใช้ Poly-DADMAC เป็น flocculant เพื่อบดบดน้ำใน กระบวนการแยกแร่	15
ตารางที่ 2.7 คุณสมบัติของพอลิอิเล็กโทรไลต์อนุกรม พอลิไดอะลิลไดเมทธิลแอมโมเนียมคลอไรด์	18
ตารางที่ 4.1 แสดงค่าความเข้มข้นของไออกอนต่างๆ ในน้ำเสีย จากโรงงานซุบโครงเมียม	35
ตารางที่ 4.2 องค์ประกอบของไออกอนในตัวอย่างน้ำเสียจากโรงงานซุบโครงเมียม	69

**สถาบันวิทยบริการ  
จุฬาลงกรณ์มหาวิทยาลัย**

## บทที่ 1

### บทนำ



#### 1.1 ความสำคัญและที่มาของปัญหาที่ทำการวิจัย

การปล่อยโลหะหนัก และสิ่งปนเปื้อนในน้ำทิ้งในที่ไม่เหมาะสม ก่อปัญหาให้สิ่งแวดล้อมอย่างมาก โดยคราเมียมเป็นปัญหา เช่นกัน การใช้คราเมียม เช่น งานชุบโลหะให้มีความมั่น และใช้เป็นตัวกันสนิม การใช้คราเมียมผลิตเหล็กกล้า และใช้เป็นสีอินทรีย์ (pigment) เป็นต้น คราเมียมที่มีค่าเลขออกซิเดชันเท่ากับ +6 ในรูปของครามेट เมื่อเข้าสู่ร่างกาย เป็นอันตรายต่อร่างกาย เพราะเป็นสารก่อให้เกิดมะเร็ง และยังสะสมอยู่ในอวัยวะ เช่น ไต ทำให้ได้รึม ครามेटเป็นปัญหาสิ่งแวดล้อมของประเทศไทยเป็นเวลาข้านาน เนื่องจาก มีโรงงานอุตสาหกรรมขนาดเล็กจำนวนมากที่ดำเนินกิจการโดยใช้ห้องแก๊ส 1 หรือ 2 คูหา เป็นที่ประกอบการ หลายโรงไม่ได้อยู่ภายใต้การควบคุมของกรมโรงงาน และโรงงานเหล่านี้หลายโรงเป็นโรงงานชุบโลหะคราเมียม มีการปล่อยน้ำเสียลงสู่ท่อระบายน้ำโดยไม่ได้มีการบำบัดเอาโลหะหนักออกก่อน แม้ว่าประเทศไทยมีกฎหมายสิ่งแวดล้อมเพื่อเอาผิดลงโทษต่อผู้ฝ่าฝืน ก็ยังมีผู้กระทำผิด ทั้งนี้เกิดขึ้นเสมอๆ งานที่ไม่มีจิตสำนึกขาดความรับผิดชอบต่อสังคม

การแยกคราเมตออกจากน้ำทิ้งของโรงงานในประเทศไทย โรงงานอาจทำการบำบัดน้ำเสียเอง หรืออาจให้บริการโดยส่งน้ำทิ้งจากกระบวนการไปให้บริษัทรับจ้างกำจัดสารพิษทำการบำบัด

วิธีการกำจัดโลหะหนักที่มีรายงาน เช่น ใช้วิธีแลกเปลี่ยนไอออน (ion exchange) และวิธีการตัดตะกอนโดยใช้สารเคมี การใช้วิธีแลกเปลี่ยนไอออนต้องใช้สารละลายของน้ำปริมาณมาก ในขั้นตอนการรีเจเนอเรชันเอาไอออนที่ถูกจับไว้ออกและเพื่อการເຄາເຈີນກັບມາໃຫ້ແນ່ໃຫ້ໄວ້ไอອนที่ถูกຈັບມีความເຂັ້ມຂັ້ນສູງຍູ່ໃນຄອລັມນຸກທໍາໃຫ້ເຈົ້າຈະໃໝ່ໃນขັ້ນຕອນເຮືອເຈັນ ວິທີການຕັກຕະກອນເປັນວິທີທີ່ໃຫ້ກັນຍູ່ໃນປັຈຸບັນ ກຽນທີ່ໂລຫະໜັກເປັນແກທໄອອນ ທຳໄ້ຕັກຕະກອນໂດຍກາຣເຕີມປຸ່ນຂາວເກີດເປັນໂລຫະໄຍດຣອກໄຊ໌ ກຽນທີ່ໂຄຣມັດເປັນແກນໄອອນໄມ້ອາຈາກໃຫ້ຕັກຕະກອນໄດ້ໄດຍຕວງ ຈະຕ້ອງຝາກກາຣົດົວໜີເພື່ອເປັນໂຄຣມັດທີ່ມີເລີຂອກຊີເດັ່ນ +6 ໄປເປັນໂຄຣມັດ +3 ກ່ອນກາຣເຕີມຕ້າ ຮົດວົງເຂົ້າເຈັນຕົ້ນ ເຊັ່ນ ເຟອຣັສ ຂໍລົບເຟ ບໍ່ອ ອະຫິດິກ ຂໍລົບໄຟຕົ້ນ ລົງໃນກະບວນກາຮົດກັບໜັນ ຈາກນີ້ຈຶ່ງເຕີມປຸ່ນຂາວລົງໄປຕັກຕະກອນເປັນໂຄຣມັດໄຍດຣອກໄຊ໌ ຕະກອນທີ່ໄດ້ມີລັກຜະນະ

เหลวมีปริมาณของแข็งต่ำ ต้องผ่านขั้นตอนการทำให้แห้งก่อนนำไปทิ้ง การกำจัดสารเคมีจะมีต้นทุนสูง คือเป็นค่าสารเคมีที่เติมลงไปและการขนส่งเอกสารกอนไปทิ้ง

กระบวนการอุดตราฟิลเตอร์เป็นที่รู้จักและเป็นเทคโนโลยีการแยกที่ใช้ในอุตสาหกรรมมานานกว่า 30 ปี เพื่อกำหนดสารให้บริสุทธิ์ การเอกสารกลับคืนมาให้ใหม่ และการทำสารให้เข้มข้น เป็นต้น สารที่แยกโดยใช้กระบวนการอุดตราฟิลเตอร์ต้องมีขนาดน้ำหนักโมเลกุลเกินกว่า 1000 Dalton ความดันที่ใช้ไม่สูงมากและให้ฟลักซ์สูง ความนำส่งใจของกระบวนการอุดตราฟิลเตอร์ที่ใช้ในการแยกอยู่ที่ อัตราการแยกหรือฟลักซ์สูงและความดันไม่มาก แต่ทว่ามีข้อเสียที่น้ำหนักโมเลกุลของไอโอดอนที่ต้องการแยกต่ำกว่า 500 Dalton จะแยกด้วยวิธีนี้ไม่ได้

พอลิอิเล็กโทรไอลเตอร์ช่วยเพิ่มการกรองแบบอัลตราฟิลเตอร์ (Polyelectrolyte-Enhanced Ultrafiltration, PEUF) เป็นเทคนิคใหม่ที่ใช้ไอโอนิกพอลิเมอร์ที่ละลายน้ำได้ดี หรือเรียกว่า พอลิอิเล็กโทรไอลเตอร์ เติมลงในสารละลายน้ำเสียที่มีไอโอดอนที่ต้องการจะกำจัด พอลิอิเล็กโทรไอลเตอร์ไปจับกับไอโอดอน เกิดเป็นโมเลกุลของสารโมเลกุลใหญ่ ไอโอดอน-พอลิอิเล็กโทรไอลเตอร์คอมเพล็กซ์ ที่ไม่สามารถผ่าน膜เบรเวนของอัลตราฟิลเตอร์ได้ ไอโอดอนของโมเลกุลจะถูกจับไว้ น้ำทึ้งที่ผ่านกระบวนการอัลตราฟิลเตอร์แล้ว มีปริมาณไอโอดอนต่ำกว่ามาตรฐานน้ำทึ้งสามารถผ่านลงท่อระบายน้ำได้ การกำจัดเคมีโดยวิธีนี้ลดขั้นตอนการบำบัดและการเติมสารเคมี การใช้พอลิอิเล็กโทรไอลเตอร์เพิ่มอัลตราฟิลเตอร์ อาจเป็นทางเลือกใหม่ของการแยกไอโอดอนของเคมีต่อจากน้ำเสียของโรงงานชุมชนจะได้

## 1.2 วัตถุประสงค์และขอบเขตของการศึกษา

ในการศึกษานี้ ได้ใช้พอลิอิเล็กโทรไอลเตอร์ที่มีประจุบวกเพื่อจับกับแอนไฮดรอยด์เคมี โดยใช้น้ำเสียสังเคราะห์ และน้ำเสียจากโรงงานชุมชนโดยประเมินเพื่อศึกษาประสิทธิภาพของอัลตราฟิลเตอร์ และศึกษาผลกระทบของแอนไฮดรอยด์ที่มีอยู่ในน้ำทึ้งของโรงงานที่มีต่อการกำจัดเคมีโดยวิธีพอลิอิเล็กโทรไอลเตอร์เพิ่มการกรองแบบอัลตราฟิลเตอร์



## บทที่ 2

### การตรวจสืบเอกสารและงานวิจัยที่เกี่ยวข้อง

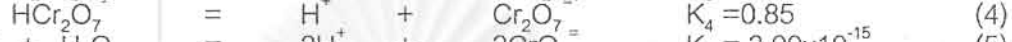
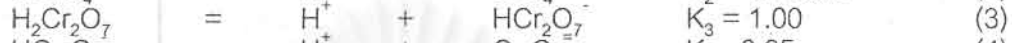
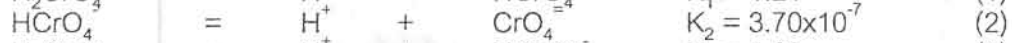
ครามีมลูกนำมาราชื่อในงานต่างๆ หลายรูปแบบ รูปฟอร์มของสารประกอบครามีมลูกน้อย กับการใช้งาน ถ้าอยู่ในรูปของแข็งมักเป็นครามีมลอกไชร์ด ที่มีเลขออกชิเดชัน +2 หรือ +6 เช่น ครามีมล +2 ถูกใช้เป็นสารให้สี (pigment) นำมาผสมเป็นสีทาอาคาร และครามีมล +6 ใช้เป็นตัวเร่งปฏิกิริยา เมื่อใช้อยู่ในรูปของสารละลาย ครามีมลจะมีเลขออกชิเดชันเป็น +6 หรือ +3 ครามีมล +6 เป็นตัวออกชิเดชิ่ง เอเจนต์ที่แรง เป็นสารประกอบอยู่ในรูปครามเมตหรือได้ครามเมตขึ้นอยู่กับความเป็นกรดของสารละลาย เมื่อเกิดปฏิกิริยาหรือตัดชั้นจะเปลี่ยนครามีมล +6 ไปเป็นครามีมล +3 การใช้งานครามีมล +6 เช่น การซุบโลหะครามีมลชิ้นงานเพื่อป้องกันสนิม การทำเฟอร์นิเจอร์ให้มีความมันเงาสวยงาม การในงานฟอกหนังและการย้อม ตัวอย่างการนำครามีมลไปใช้งานดังแสดงในตารางที่ 2.1

ตารางที่ 2.1 การใช้สารประกอบครามีมลในอุตสาหกรรม (Ullmann's, 1986)

ประเภทของอุตสาหกรรม	สารประกอบครามีมล	การใช้งาน
ก่อสร้าง	ครามีมล(II)อกไชร์ด	สีทาอาคาร
อุตสาหกรรมเคมี	ได้ครามเมต, ครามีมล(VI)อกไชร์ด	เป็นตัวเร่งปฏิกิริยา, ออกชิเดชิ่งสารประกอบอินทรีย์
อุตสาหกรรมการพิมพ์	ได้ครามเมต, ครามีมล(VI)อกไชร์ด	แผ่นพิมพ์
อุตสาหกรรมปีโตรเลียม	ครามเมต(VI)	ป้องกันสนิม
อุตสาหกรรมการซุบโลหะ	ครามีมล(VI)อกไชร์ด	ความสวยงาม, แข็งแรง
อุตสาหกรรมไม้	ได้ครามเมต, ครามีมล(VI)อกไชร์ด	ป้องกันเชื้อราและแมลง
อุตสาหกรรมการฟอกหนัง	ครามีมล(III)ชัลเฟต	ฟอกสีหนัง
อุตสาหกรรมสิ่งทอ	ครามเมต, ครามีมล(III)อะซิเดท, ครามีมล	ย้อมสีผ้า

## 2.1 โครเมียมในสารละลายน้ำ

โครเมียมที่ใช้ในอุตสาหกรรมส่วนใหญ่เป็นโครเมียม +6 สารประกอบโครเมียม (+6) เมื่อละลายน้ำ แตกตัวให้ออนิมูลของไอโอนโครเมียมอยู่ในรูปต่างๆ ดังนี้ (Ulmann, 1986)



จากสมการ (1)-(6) แสดงว่าความเข้มข้นของเต็ลลั่บแอนิโอนของโครเมียม(+6) ขึ้นอยู่กับความเป็นกรด-ด่างของสารละลายน้ำ pH ของสารละลายน้ำลดลง จะมี  $\text{HCrO}_4^-$  และ  $\text{Cr}_2\text{O}_7^{=7}$  เพิ่มขึ้น เพราะเกิดขึ้นจาก  $\text{CrO}_4^{=4}$  ทำปฏิกิริยากับ  $\text{H}^+$  กลุ่มนักวิจัย Bourikas และคณะ (Bourikas 1997) ได้รายงานว่า ที่ pH 2.5 จะมี  $\text{HCrO}_4^-$  มากกว่า 99% และที่ pH 11.5 จะมี  $\text{Cr}_2\text{O}_7^{=7}$  มากกว่า 99% อยู่ในสารละลายน้ำ และได้คำนวณหาความเข้มข้นของเต็ลลั่บแอนิโอนของโครเมียมที่ช่วง pH 4.0 - 8.0 โดยกำหนดช่วงของ โครเมียม (+6)  $6 \times 10^{-4} - 1 \times 10^{-2}$  มิลาร์ ดังแสดงในตารางที่ 2.2

ตารางที่ 2.2 ความเข้มข้นของโครเมต์ไอโอนชนิดต่างๆ เป็นฟังก์ชันของ pH ของสารละลายน้ำ  
(ความเข้มข้นในตารางมีหน่วยเป็น mole/dm<sup>3</sup>, Bourikas, K. et al, 1997)

pH	$[\text{CrO}_4^{=4}]$	$[\text{HCrO}_4^-]$	$[\text{Cr}_2\text{O}_7^{=7}]$
4.0	$9.94 \times 10^{-6}$	$2.68 \times 10^{-3}$	$7.32 \times 10^{-4}$
4.5	$2.49 \times 10^{-5}$	$2.27 \times 10^{-3}$	$7.75 \times 10^{-4}$
4.8	$6.51 \times 10^{-5}$	$2.77 \times 10^{-3}$	$7.45 \times 10^{-4}$
5.5	$3.34 \times 10^{-4}$	$2.85 \times 10^{-3}$	$7.37 \times 10^{-4}$
6.0	$1.01 \times 10^{-3}$	$2.82 \times 10^{-3}$	$6.40 \times 10^{-5}$
7.5	$5.29 \times 10^{-3}$	$5.34 \times 10^{-4}$	$1.66 \times 10^{-6}$
8.0	$5.78 \times 10^{-3}$	$1.84 \times 10^{-4}$	$1.99 \times 10^{-6}$

## 2.2 ความเป็นพิษของโครเมียม

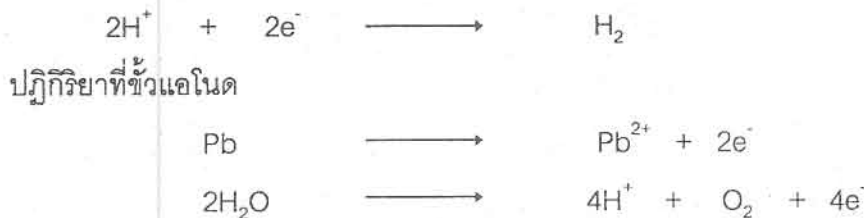
โครเมียม+6 มีความเป็นพิษสูงกว่าโครเมียม+3 และในรูปอื่นๆ คณะกรรมการสิ่งแวดล้อมแห่งชาติ กระทรวงวิทยาศาสตร์เทคโนโลยีและสิ่งแวดล้อม ได้กำหนดค่ามาตรฐานน้ำทิ้งจากโรงงานอุตสาหกรรมให้มีปริมาณโครเมียม+6 ไม่เกิน 0.5 มิลลิกรัม ต่อ ลิตร ในอากาศมีฝุ่นของโครเมียม บริเวณที่ทำงานได้ไม่เกิน 5 มิลลิกรัม ต่อ อากาศ หนึ่งลูกบาศก์เมตร ของ การอนามัย โลกได้กำหนดค่าโครเมียมทั่วไปไว้ว่า คนที่อยู่ในวัยเจริญพันธุ์สามารถรับโครเมียมเข้าในร่างกายได้ 50-70 มิลลิกรัม ต่อ กิโลกรัม ของน้ำหนักตัว (WHO,1988) ถ้ารับในปริมาณที่มากเกินกว่านี้ ก็จะมีผลกระทบต่อตับ, ไต และต่อบรรบเลือด ผลกระทบที่เกิดขึ้นแบบเฉียบพลัน ทำให้เกิดการอาเจียน, อุจจาระร่วง, ตกเลือดและมีเลือดไหลเข้าสู่ระบบลำไส้ ทำให้เกิดการช็อกได้ ถ้าคนไข้ไม่ได้รักษา คนไข้จะมีอาการตายของเนื้อเยื่อบริเวณตับและไต และมีระบบเลือดที่เป็นพิษ สรุปผู้ที่ได้รับโครเมียมปริมาณไม่มากจะได้รับผลกระทบแบบเรื้อรัง บุคคลอาจรับโครเมียมได้ 2 ทาง คือ จากการสัมผัสกับโครเมียมโดยตรง ซึ่งโครเมียมสามารถทำลายผิวนัง ทำให้เกิดแผลพุพอง และอีกทางหนึ่งก็คือการหายใจเข้าไป จะมีผลต่อปอด, ตับ, ไต, ระบบลำไส้ และโดยเฉพาะผนังกั้นจมูกซึ่งจะสัมผัสกับโครเมียมโดยตรง อาจทำให้เป็นมะเร็งบริเวณนี้ได้ นอกจากนั้น ยังอาจทำให้เป็นโรคเยื่อจมูกอักเสบ โรคปอดและหลอดลมอักเสบ โครเมียมสามารถทำให้เกิดเป็นมะเร็งได้เฉพาะบริเวณผนังกั้นจมูกและที่ปอดเท่านั้น สรุปบริเวณเนื้อเยื่ออื่นๆยังไม่มีรายงานว่าโครเมียมสามารถทำให้เกิดมะเร็งได้ นอกจากนี้ โครเมียมยังทำให้เกิดการเปลี่ยนแปลงทางพันธุกรรมได้ เนื่องจากโครเมียมทำปฏิกิริยากับ อาร์ เอ็น เอ (RNA) ทำให้เกิดการถ่ายพันธุ์ได้

## 2.3 การชุบโครเมียม (Chromium plating)

การชุบโครเมียมต่างจากการชุบโลหะชนิดอื่น คือ ไม่ได้ใช้โลหะโครเมียมที่ข้าวแครونด แต่ จะใช้โลหะโครเมียมในรูปของสารละลายน้ำให้กรดโครมิก (Chromic acid) ซึ่งเป็นสารประกอบโครเมียม(+6)ออกไซด์ เมื่อละลายน้ำให้กรดโครมิกรูปต่างๆ มีสีส้มแดง ข้าวแครอนด์ที่ใช้เป็นตัวล่อ เป็นโลหะผสมระหว่างดีบุกกับตะกั่วหรือพลาสติก ในการชุบโครเมียม จะต้องขึ้นงานเข้าที่ข้าวแครอนด และจุ่มลงในน้ำยาชุบโลหะ ซึ่งเป็นกรดโครมิก ผสมกับกรดซัลฟูริก ในอัตราส่วน 100:1 เมื่อผ่านไฟฟ้ากระแสตรงเข้าไป โครเมียม (+6) ในสารละลายน้ำถูกเรียกว่าที่ข้าวแครอนด์เปลี่ยนโลหะ โครเมียม ( $\text{Cr}^0$ ) เกาะที่ขึ้นงานนั้น ดังสมการ

ปฏิกิริยาที่ข้าวแครอนด





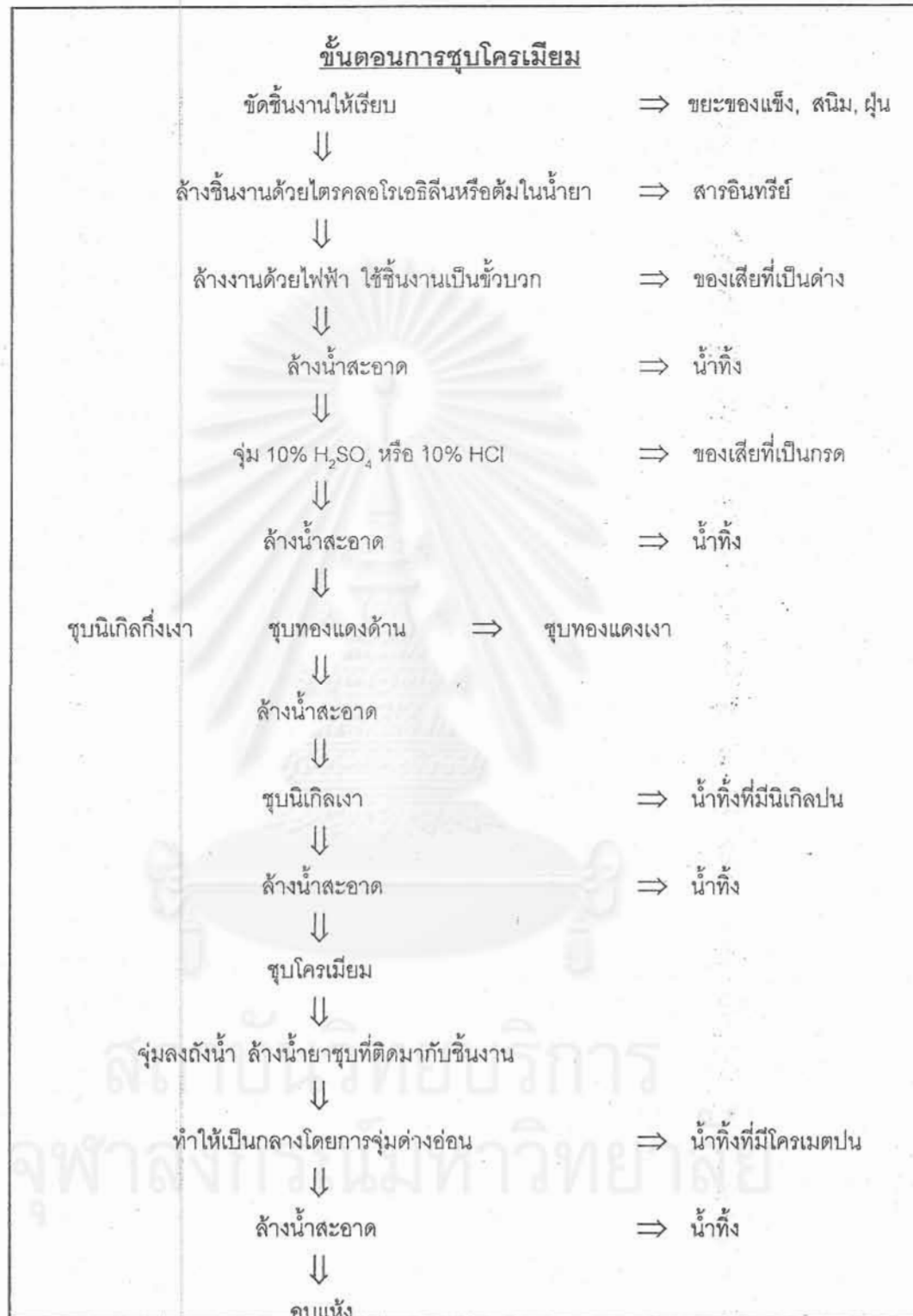
ก่อนนำชิ้นงานมาชุบโครเมียม จะต้องมีการเตรียมชิ้นงาน ดังขั้นตอนแสดงในรูปที่ 2.1 ชิ้นงานจะต้องผ่านการขัดผิวให้เรียบและล้างทำความสะอาด ความสะอาดของชิ้นงานเป็นสิ่งจำเป็นมาก เพราะจะทำให้การชุบได้ผลดี การล้างทำความสะอาดมักใช้สารเคมี

ชิ้นงานที่ได้จากการผลิต มักมีน้ำมันหล่อลื่นติดบนผิวงาน ชิ้นงานที่ผ่านการขัดก็มีไขมันจากยาขัดติดอยู่บนผิวงาน น้ำมันหรือไขมันเหล่านี้จะต้องกำจัดออกให้หมดด้วยวิธีการล้างโดยใช้ตัวทำละลาย ซึ่งละลายไขมันได้ดี ตัวทำละลายที่ละลายไขมันได้ดี ได้แก่

1. ไตรคลอโรเอธิลีน
2. เปอร์คลอโรเอธิลีน
3. 1,1,1-ไตรคลอโรอีเทน
4. ไตรคลอโร-ไทรฟลูอโโรอีเทน
5. คาร์บอน เดตราคลอไรด์

จากนั้น จึงนำไปล้างในน้ำยาที่เป็นด่าง และล้างชิ้นงานด้วยการใช้ไฟฟ้าเพื่อขัดโลหะที่ติดอยู่ออก โดยให้ชิ้นงานเป็นข้าวบาก และล้างครั้งสุดท้ายโดยใช้สารละลายที่เป็นกรด เพื่อให้ชิ้นงานมีความเป็นกลางพร้อมที่จะนำไปชุบ น้ำเสียที่เกิดขึ้นแต่ละครั้งจะมีความเป็นทั้งกรดและด่าง

บางกรณีก่อนการชุบโครเมียม อาจรองพื้นชิ้นงานด้วยการชุบทองแดงและนิกเกิลก่อน ชิ้นอยู่กับความต้องการและคุณภาพของชิ้นงาน ดังนั้น น้ำทึ้งจากการชุบจะมีทองแดง และนิกเกิลอยู่ด้วย น้ำทึ้งจากการชุบโครเมียมเกิดจากน้ำที่ใช้ล้างผิวโลหะ น้ำยาที่หนาหรือล้นออกอกอ่างชุบ น้ำทึ้งจากการทำความสะอาดโรงงานและอ่างชุบ และน้ำที่ใช้พ่นดักไอกสารเคมีเหนืออ่างชุบ (Morisset, 1954)



รูปที่ 2.1 ขั้นตอนการซับโคโรเมียมและน้ำทิ้งจากการกระบวนการ

## 2.4 การกำจัดน้ำทิ้งจากโรงงานชุมชนโดยเมียน

การตัดตอนเป็นวิธีที่ใช้จัดโลหะหนักออกจากน้ำทิ้ง โดยการเติมปูนขาวหรือด่างถึงระดับ pH ที่ไปตัดตอนเป็นไฮดรอกไซด์ของโลหะ แต่อย่างไรก็ตาม ไฮดรอกไซด์ของโลหะหลายตัวมีความเป็นแอมโมเนฟอเตอริกและแสดงการละลายต่ำสุด โลหะโดยเมียนมีการละลายต่ำสุดที่ pH 7.5 และการละลายเพิ่มขึ้นอย่างมากที่ pH สูงกว่านี้ การตัดตอนสามารถลดปริมาณโลหะลงได้ถึงระดับ 1-2 mg. ต่อ ลิตร การกรองจะช่วยลดความเข้มข้นลงได้อีกด้วยระดับ 0.5 mg. ต่อ ลิตร หรือต่ำกว่านี้ สำหรับน้ำทิ้งของโดยเมียน (+6) จะต้องรีดิวซ์เป็นโดยเมียน +3 ก่อนในสารละลายที่เป็นกรดและจึงตัดตอนด้วยปูนขาว

ปัจจุบันมีการกำจัดน้ำทิ้งจากโรงงานชุมชนโดยเมียนที่ใช้กันมีหลายวิธี ในที่นี้ ยกตัวอย่าง 2 วิธี คือ วิธีการกำจัดน้ำทิ้งของกรมโรงงาน กระทรวงอุตสาหกรรม และวิธีการกำจัดน้ำทิ้งของสถาบันพัฒนาอุตสาหกรรมเครื่องจักรกลและโลหะการ (MIDI) ดังนี้

วิธีการกำจัดน้ำทิ้งของกรมโรงงาน กระทรวงอุตสาหกรรม เป็นวิธีที่เรียกว่า Batch Process คือการซัดเป็นครั้งๆไม่ต่อเนื่อง เหมาะสำหรับโรงงานชุมชนขนาดเล็ก และขนาดกลาง ซึ่งมีการเติมสารเคมีและปรับ pH หลายขั้นตอน ดังนี้

- 1 ปรับค่า pH = 2.5 ด้วยกรดกำมะถัน

- 2 เติมเฟอร์สัลเฟต และกวน 30 นาที

- 3 ปรับค่า pH = 8.5 ด้วยปูนขาว

- 4 กวน 30 นาที ในระหว่างนี้ต้ามินิกิต ทองแดง หรือสังกะสี ละลายอยู่จะจะทำปฏิกิริยาให้สามารถตัดตอนได้

- 5 ปล่อยให้ตัดตอน 4 ชั่วโมง

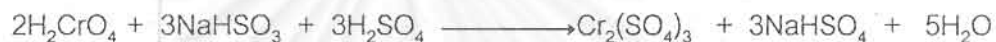
- 6 ปล่อยน้ำใส (Effluent) ข้างบนทิ้ง

- 7 ปล่อยตัดตอนเหลว ลงสูญญากาศแห้งตัดตอน (Sand Drying Bed) ส่วนที่เป็นตัดตอนจะถูกกรองติดอยู่บนผิวทราย และจะแห้งไปในที่สุด และส่วนที่เป็นน้ำจะไหลผ่านชั้นทราย หิน-อิฐ และไหลไปสูญเสีย (Raw Waste Tank)

วิธีการกำจัดน้ำทิ้งของสถาบันพัฒนาอุตสาหกรรมเครื่องจักรกลและโลหะการ (MIDI) สถาบันได้ออกแบบกระบวนการกำจัดน้ำทิ้งตามความเหมาะสมของสถาบัน เนื่องจากโรงงานชุมชนโลหะด้วยไฟฟ้าของ MIDI เป็นแบบผสม มีการชุมชนนิดเด่น การชุมชนทองแดง-นิกิต-โดยเมียน การชุมชนสังกะสี การชุมชนยาร์ดโคลม การอะไนไดร์ และการกัดล้างโลหะ เป็นต้น น้ำเสียที่มาจากการกระบวนการชุมชนมีหลายประเภทด้วยกัน แยกได้ดังนี้

- 1 น้ำเสียที่มีโซเดียมไนเตรต
- 2 น้ำเสียที่มีกรดไฮดรอกซิค
- 3 น้ำเสียที่มีกรดและด่างชนิดต่างๆ

ระบบกำจัดน้ำเสียของ MIDI จึงมีขนาดใหญ่ เป็นแบบผสมที่ใช้สารเคมีเป็นตัวทำปฏิกิริยา มีประสิทธิภาพของการทำงานโดยกำจัดน้ำเสียที่มีโซเดียมไนเตรต และกรดไฮดรอกซิคได้ในอัตราส่วน 1.0 ลูกบาศก์เมตร ต่อ ชั่วโมง กำจัดน้ำเสียที่มีกรดและด่างชนิดต่างๆได้ในอัตราส่วน 2.0 ลูกบาศก์เมตรต่อชั่วโมง กรดเมี่ยมในน้ำเสียจากโรงงานชูบโลหะ เป็นกรดไฮดรอกซิค จากน้ำยาชูบไฮดรเมี่ยม หรือเป็นโซเดียมไดโครเมต ใน การชูบสังกะสี ทำการเปลี่ยนไฮดรเมี่ยม (+6) ให้เป็นไฮดรเมี่ยม(+3) ที่ตกละกอนได้ โดยปรับ pH เป็น 2 และเติมโซเดียมไบโซลไฟฟ์ ( $\text{NaHSO}_3$ )



เติมโซเดียมไฮดรอกไซด์เพื่อปรับ pH ให้อยู่ใน 7 - 8 และตกละกอน เป็นไฮดรอกไซด์



ทั้งสองวิธี มีหลักการกำจัดไฮดรเมี่ยมคล้ายกัน

## 2.5 อัลตราฟิลترةชัน (Ultrafiltration)

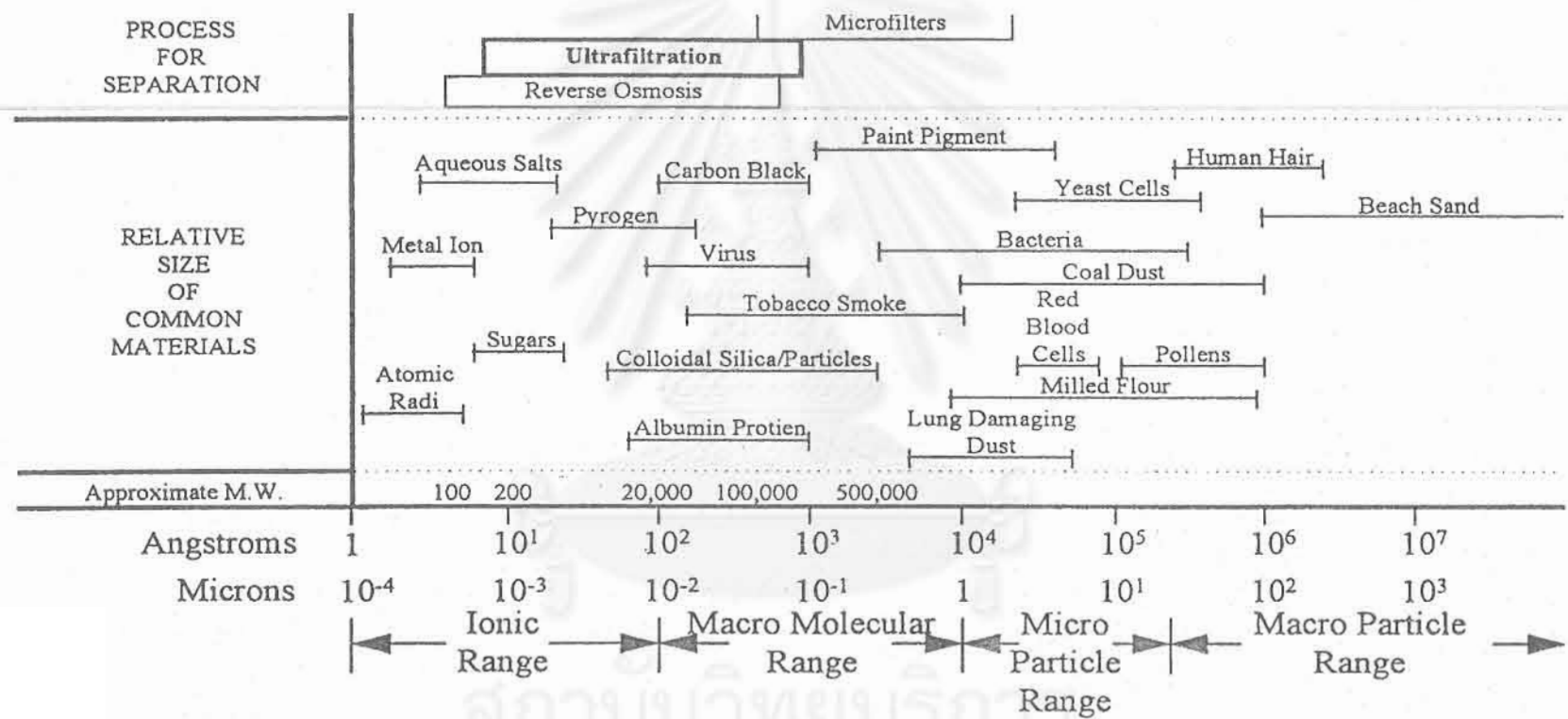
เทคนิคการกรองแบบอัลตราฟิลترةชันได้มีการนำมาใช้เป็นเวลากว่า 30 ปี มาแล้ว อุตสาหกรรมที่ใช้กระบวนการนี้ เช่น ใช้ในกระบวนการอาหาร ทำให้สารเข้มข้น ใช้แยกส่วนสารใช้แยกโปรตีน แยกเกลือออกจากการแบ่ง ทำไวน์ น้ำส้มสายชู และน้ำผลไม้ ให้มีความใสบริสุทธิ์ ใช้แยกสารที่เป็น precursors ออกจากนมในการผลิตเนย เป็นต้น ใช้ในกระบวนการผลิตยา แยกเอ็นไซม์ ทำสารให้บริสุทธิ์ เป็นต้น และอุตสาหกรรมอื่นๆ เช่น การแยกลาโนลินออกจากกระบวนการการฟอกผ้าชนิดต่างๆ แยกสารคอลลอยด์ออกจากน้ำ แยกผลิตภัณฑ์กลับคืน เป็นต้น (Rousseau, 1987)

อัลตราฟิลترةชันใช้แยกสารละลายน้ำแม่ครามในเลกุล กรองผ่านเมมเบรนโดยอาศัยแรงขับ เป็นความดันน้ำผลลัพธ์ตัวทำละลาย และสารไม่เลกุลที่เล็กกว่าขนาดของรูพรุนของเมมเบรน ให้เคลื่อนที่ผ่านไปได้ สารแม่ครามในเลกุลหรือพวากคอลลอยด์ จะถูกตัดทิ้ง (rejected) ไม่สามารถผ่านรูพรุนของเมมเบรน ไม่เลกุลของสารที่สามารถแยกด้วยเทคนิคอัลตราฟิลترةชันต้องมีขนาดใหญ่หรือมีน้ำหนักไม่เลกุลตั้งแต่ 1000 ดาลตัน ขึ้นไป

เมมเบรนเป็นหัวใจของการแยกแบบอุตสาหกรรม เนื่องจากพอลิเมอร์ เช่น พอลิชัลฟอน พอลิเอสเทอร์ พอลิเอมีด เซลลูโลส และ เซลลูโลส อัลชิเตห เป็นต้น เมมเบรนที่ใช้ควรมีความคงทนต่อสารเคมีและแรงกดดันภายนอก มีโครงสร้างเป็นรูพรุนระดับไมโครอน เมมเบรนในปัจจุบันมีลักษณะไม่สมมาตร (asymmetric) ประกอบด้วย 2 ส่วน คือ ผิวเมมเบรนมีความบางมาก ระดับ 0.1 - 1 ไมโครอน จึงต้องการส่วนที่สองเพื่อค้ำจุนผิวเมมเบรน ในลักษณะที่ผิวเมมเบรนเป็นพิล์มนบางๆ เคลือบอยู่ข้างบน การแยกเกิดจากการกระจายขนาดของรูพรุน (pore size distribution) และการตัดน้ำหนักโมเลกุลที่เมมเบรนมีต่อสาร (molecular weight cutoff, mwco) อนุภาคที่มีขนาดใหญ่กว่าขนาดของรูพรุนที่ใหญ่ที่สุดของเมมเบรนจะถูกเหนี่ยวยังหงด ถ้าอนุภาคที่มีขนาดเล็กกว่าขนาดของรูพรุนที่เล็กที่สุด จะผ่านเมมเบรนได้หมด ถ้าเมมเบรนมีการกระจายของขนาดรูพรุนยังคงการตัดขนาดน้ำหนักโมเลกุลที่เมมเบรนมีต่อสารยังมีประสิทธิภาพมาก

กระบวนการกรองอัลตราฟิลเตรชันแตกต่างจากการแยกแบบ reverse osmosis (reverse osmosis, RO) และไมโครฟิลเตรชัน (microfiltration, MF) คือ ทุกกระบวนการใช้เมมเบรนเหมือนกัน แต่กระบวนการกรอง reverse osmosis สามารถดันสูงเพื่อเอาชนะความดันของสื่อ ขนาดของโมเลกุลสารที่มีขนาดใกล้เคียงตัวทำละลายหรือมีน้ำหนักโมเลกุลเล็กกว่า 500 ดาลตัน และอาศัยความแตกต่างการแพร่ผ่านเมมเบรนทำให้เกิดการแยก ขณะที่ไมโครฟิลเตรชันมักขึ้นกับขนาดของรูพรุน การแยกขึ้นอยู่กับขนาดของรูพรุนเป็นตัวควบคุม ความแตกต่างระหว่างการกรองสามประเภทนี้แสดงได้ดังรูปที่ 2.2

การเลือกเมมเบรนเพื่อการใช้งานแยกสารขึ้นอยู่กับหลายปัจจัย คือ ค่าการตัดน้ำหนักโมเลกุลของเมมเบรน (molecular weight cutoff, mwco) ความสามารถเหนี่ยวยัง อุณหภูมิ และความคงทนต่อสารเคมี เป็นต้น ค่าการตัดน้ำหนักโมเลกุลของเมมเบรน บอกขนาดของรูพรุนอย่างโดยประมาณ เนื่องจากน้ำหนักโมเลกุลมีอิทธิพลต่อการเหนี่ยวยังสารจึงใช้เป็นตัวกำหนดขอบเขตการแยกของเมมเบรน เช่น ถ้าเมมเบรนมีค่าการตัดน้ำหนักโมเลกุลเท่ากับ 10,000 หมายถึง อย่างน้อย 90% ของสารที่มีน้ำหนักโมเลกุล 10,000 ดาลตัน หรือ มากกว่าจะถูกตัดทิ้ง(หรือถูกเหนี่ยวยัง) ไม่ให้ผ่านเมมเบรน และสารที่มีน้ำหนักโมเลกุลต่ำกว่า 10,000 ดาลตัน สามารถเล็ดลอดผ่านเมมเบรนไปได้ แต่ทว่าขนาดของรูเมมเบรนเป็นค่าเฉลี่ย ดังนั้น จะมีขนาดรูใหญ่และเล็กกว่าค่า 10,000 ดาลตัน จึงมีน้ำหนักโมเลกุลของสารเกิน 10,000 ดาลตัน บางส่วนที่มีขนาดเล็กกว่าที่ใหญ่สุด สามารถผ่านเมมเบรนไปได้ เมมเบรนที่ดีควรให้ค่าซิลิกิติสูง เพื่อแยกสารน้ำหนักโมเลกุลที่ใกล้เคียงกัน ออกจากกันได้ดี ดังนั้น ควรมีการกระจายของขนาดรูแบบแคบๆ และจะทำ



รูปที่ 2.2 ความสัมพันธ์ขนาดโมเลกุลและกระบวนการแยกแบบต่างๆ (Cheryan, 1986)

ให้การตัดทิ้ง น้ำหนักโมเลกุลของสารที่เมมเบรนต้องการเหนี่ยวยังได้อย่างเด็ดขาด ค่าการตัดทิ้ง (rejection) ที่เมมเบรนเหนี่ยวยังสารที่ต้องการแยกไว้นั้น เป็นค่าที่ใช้อธิบายประสิทธิภาพของเมมเบรน โดย

$$R = 1 - (C_p / C_b) \quad (1)$$

เมื่อ

$R$  คือ ค่าการตัดทิ้ง หรือ รีเจ็คชัน ของสาร

$C_b$  คือ ค่าความเข้มข้นของสารในรีเกนเกต

$C_p$  คือ ค่าความเข้มข้นของสารในเพอมิโคท

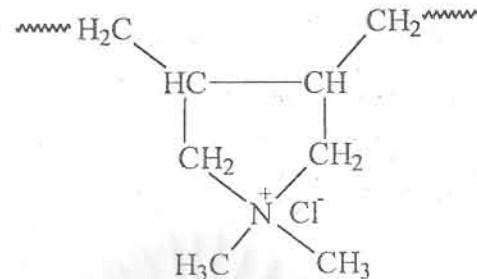
ค่ารีเจ็คชันยังสูง หมายความว่า เมมเบรนสามารถเหนี่ยวยังสารที่ต้องการแยกได้ยิ่งดีและเลือดลอดไปเป็นเพอมิโคทได้น้อยมาก

ข้อดีและข้อเสียของอัลตราฟิลเตอร์น ข้อดีคือค่าและประโยชน์ทางด้านเศรษฐกิจ ของสิ่งที่แยก ซึ่งผู้ใช้เป็นผู้ประเมินโดยอาจพิจารณาได้จาก

- 1 การเพิ่มคุณค่าของผลผลิตเริ่มต้น รวมถึงการเพิ่มจำนวนของผลผลิต
- 2 ผลผลอยได้จากการกรองแบบอัลตราฟิลเตอร์น ซึ่งอาจจะนำกลับมาใช้ได้ เช่น ได้น้ำที่สะอาด เป็นต้น
- 3 การลดต้นทุนของการจัดการน้ำเสียที่ผ่านกระบวนการเหลว
- 4 การประหยัดวัสดุอุปกรณ์ต่างๆ
- 5 การเปลี่ยนแปลงกระบวนการให้ประหยัดเช่น เช่น ลดการทำงานบางส่วนที่หัวห้อนออกและไม่จำเป็นต้องมีเจ้าหน้าที่ดูแลระหว่างกระบวนการผลิต

## 2.6 พอลิอิเล็กโทรไลต์ (Polyelectrolytes)

พอลิอิเล็กโทรไลต์ หมายถึง พอลิเมอร์ที่เป็นแมคโครโมเลกุลที่มีกลุ่มแอนิโอนหรือแคทไอโอนจับกับสายโซ่อิโตรคาร์บอนโดยใช้พันธะเคมีแบบโคลเวลน์ และประจุของแอนิโอนหรือแคทไอโอนของแมคโครโมเลกุลนี้อยู่ในสมดุล โดยจับอยู่กับไอโอนที่มีประจุตรงข้ามชนิดที่มีน้ำหนักโมเลกุลต่ำ (low-molecular weight counterions) ตัวอย่างพอลิอิเล็กโทรไลต์ เช่น Poly(diallyldimethyl ammonium) ออยู่ในสมดุลกับคลอไรต์แอนิโอน



Poly(diallyldimethyl ammonium chloride), หรือ Poly-DADMAC

พอลิอิเล็กโทรไรลิต์แตกตัวในน้ำได้ทุก pH (0 - 14) ให้เมคโครไอโอนและไอโอนประจุตรงข้าม แต่ก็มีพอลิอิเล็กโทรไรลิต์บางตัวที่ไม่สามารถแตกตัวได้ที่ทุก pH เช่น poly(acrylic acid) หรือ poly(ethylene imine) เป็นต้น พอลิอิเล็กโทรไรลิต์บางชนิดมีทั้ง "ไอโอนลบและไอโอนบวกที่พร้อมพันธะเคมีแบบโคลเวลน์กับเมคโครโนมเลกูล พอลิอิเล็กโทรไรลิต์ชนิดนี้เรียกว่า "พอลิแอมฟิโลิต" (polyampholytes) เช่น พวกลิปเรติน และการมีประจุเป็นบวกหรือลบจะขึ้นอยู่กับ pH ของสารละลาย มีการจัดกลุ่มของพอลิอิเล็กโทรไรลิต์ตามโครงสร้างหรือตาม "ไอโอนไซด์" ดังแสดงในตารางที่ 2.3 และตารางที่ 2.4 ไอโอนไซด์ของพอลิอิเล็กโทรไรลิต์ต่างชนิดกันแสดงคุณสมบัติการเป็นกรดหรือด่าง และแสดงความแรง คือ เป็นกรดหรือด่างอ่อนหรือแก่ แตกต่างกันไป

### ตารางที่ 2.3 การจัดกลุ่มของพอลิอิเล็กโทรไรลิต์ตามโครงสร้าง

- 
- Anionic และ cationic polysaccharides และ polysaccharide derivatives
  - Nucleic acids
  - Gelatin
  - Lignosulfonic acid
  - Polyacrylic and polymethacrylic acid and its copolymers
  - Maleic acid anhydride copolymers
  - Polystyrene sulfonic acid
  - Polyethylene imine
  - Polyamines and polyamidamines
  - Ionenes
  - Poly(diallyl dimethyl ammonium chloride)
  - Homo-and copolymer of cationic acrylic acid esters
-

#### ตารางที่ 2.4 การจัดกลุ่มของพอลิอิเล็กโทรไอล์ดตามไอโอดินไฮท์

-COO <sup>-</sup>	-NH <sub>3</sub> <sup>+</sup>
-CSS <sup>-</sup>	=NH <sup>+2</sup>
-SO <sub>3</sub> <sup>-</sup>	≡NH <sup>+</sup>
-OPO <sub>3</sub> <sup>=</sup>	-NR <sub>3</sub> <sup>+</sup>

ความหนาแน่นของประจุของพอลิอิเล็กโทรไอล์ด หมายถึง ระยะเฉลี่ยระหว่างไอโอดินไฮท์ บวกถึงค่าเฉลี่ยของจำนวนไอโอดินไฮท์ ต่อ หนึ่งหน่วยของโมโนเมอร์ การกระจายของไอโอดินไฮท์ ไปตามความยาวของสายโซ่มีอิทธิพลต่อคุณสมบัติของพอลิอิเล็กโทรไอล์ดอย่างมาก เช่น สมบัติการละลาย จำนวนไอโอดินไฮท์มากการละลายในน้ำย่อมเกิดได้ นอกจากนี้ ตำแหน่งของไอโอดินไฮท์ที่ต่อกับสายโซ่หลัก หรือต่อ กับสายโซ่ย่อย ก็มีผลอย่างมากต่อสมบัติของ พอลิอิเล็กโทรไอล์ด โดยเฉพาะต่อการฟอร์มคอมเพล็กซ์

การบ่งบอกคุณลักษณะของพอลิอิเล็กโทรไอล์ด เกี่ยวข้องกับความเป็นกรดหรือด่าง ความหนาแน่นของประจุ และตำแหน่งของประจุ นอกจากนี้ ประจุตรงข้ามน้ำหนักโมเลกุลต่ำกว่า มีอิทธิพล อย่างมากต่อสมบัติโดยรวมของพอลิอิเล็กโทรไอล์ดในสารละลาย โดยเฉพาะอย่างยิ่ง ต่อ การละลายและการฟอร์มโครงสร้าง ประจุตรงข้ามไม่เพียงทำให้พอลิอิเล็กโทรไอล์ดเป็นกลาง เช่น คลอไรด์ ของ poly-DADMAC คลอไรด์ยังทำให้พอลิอิเล็กโทรไอล์ดละลายน้ำได้ แต่ถ้าเป็น ไอโอดีด การละลายน้ำได้น้อย หรือ K<sup>+</sup> หรือ Na<sup>+</sup> ที่เป็นไอโอดิจุตงข้ามของพอลิอิเล็กโทรไอล์ด ชนิดบานนิดเดียวกัน มีผลต่อสมบัติความหนืดได้ไม่เท่ากัน

ความนำสนใจของพอลิอิเล็กโทรไอล์ด อยู่ที่การนำมาใช้ประโยชน์ เนื่องจากพอลิอิเล็กโทรไอล์ดฟอร์มคอมเพล็กซ์ได้กับแมคโครไอโอดินที่มีประจุตรงข้าม กับสารเชอร์เฟคแคนธ์ และกับสารคอมพลอยด์ พอลิอิเล็กโทรไอล์ดยังสามารถรวมตัวเป็นก้อน และเกิดการแตกตะกอนกับสารคอมพลอยด์ ที่เป็นไอโอดิน ตัวอย่าง เช่น ไอโอดินบางชนิดในน้ำเสียที่ไม่อาจปล่อยลงสู่ท่อระบายน้ำ เพราะจะก่อ มวลภาวะทางเคมี อาจทำจัดออกได้โดยใช้พอลิอิเล็กโทรไอล์ดชนิดบางจับแยกไอโอดินก่อน กระบวนการฟอร์มคอมเพล็กซ์ระหว่างพอลิอิเล็กโทรไอล์ดและไอโอดินของโลหะเพื่อกำจัดไอโอดิน ของโลหะจากน้ำทิ้ง เป็นเหตุผลที่คุณค่าทางเศรษฐกิจ เพื่อนิเวศน์ที่ดี ตัวอย่างการใช้พอลิอิเล็กโทรไอล์ดในการบำบัดน้ำดังแสดงในตารางที่ 2.5 ใช้ Poly-DADMAC เพื่อแก้ความชุนของน้ำ และ

ตารางที่ 2.5 การใช้ poly-DADMAC ในการบำบัดน้ำ  $\text{Ca}(\text{OH})_2$  150 มก. ต่อลิตร  
(Dautzenberg, 1994)

Poly-DADMAC (มก. ต่อลิตร)	Turbidity (%)
0.0	100
0.5	55
1.0	36
2.0	18

ตารางที่ 2.6 การใช้ poly-DADMAC ชนิดสายโซ่ต่อง และที่เป็นกิ่งก้าน ในการบำบัดน้ำ หลังจากเติมสารตัดตะกรอนและปล่อยให้ตกลงกันเป็นเวลานาน 30 นาที ( $W_{30}$ ) พบร่วşaพอลิอีเลิกโตรีไอล์ซนิดมีกิ่งก้านมีความสามารถดึงเอาของแข็งที่แขวนลอยลงสู่กันได้ดีกว่าชนิดที่เป็นสายต่อง แต่ทว่า ความเร็วเฉลี่ยของสิ่งแขวนลอยตกลงกัน ( $V_s$ ) ไม่แตกต่างกัน

ตารางที่ 2.6 การใช้ Poly-DADMAC เป็น flocculant เพื่อบำบัดน้ำในกระบวนการแยกแร่ (Dautzenberg, 1994)

Flocculant	$W_{30}$ (ppm)	$V_s$ (mm/min)
Linear poly-DADMAC	360	2.1
Branched poly-DADMAC	185	2.2

### 2.6.1 พอลิไดอัลลิลไดเมทธิลแอมโมเนียมคลอไรด์

พอลิไดอัลลิลไดเมทธิลแอมโมเนียมคลอไรด์ เป็นพอลิอีเลิกโตรีไอล์ซนิดแคทไอโอนิกโซโนฟอลิเมอร์ มีชื่อทางการค้าว่า Quat -100 เมื่อนำมาทำให้กับ acrylic acid หรือ acrylamide ให้แคทไอโอนิก โคพอลิเมอร์ของ diallyl dimethyl ammonium chloride กับ acrylic acid (Merquat 280 และ Merquat 295) หรือกับ acrylamide (Merquat S และ Merquat 550) ตามลำดับ หรืออาจนำมาทำ เทอร์พอลิเมอร์ให้เทอร์พอลิเมอร์ เช่น ใช้ acrylic acid, diallyl dimethyl ammonium chloride, และ acrylamide มีอัตราส่วนของน้ำหนักไม่เท่ากันเป็น 25-50-25 เปอร์เซ็นต์โดยน้ำหนัก มีชื่อทางการค้าว่า Merquat 3330 และถ้าอัตราส่วนน้ำหนัก

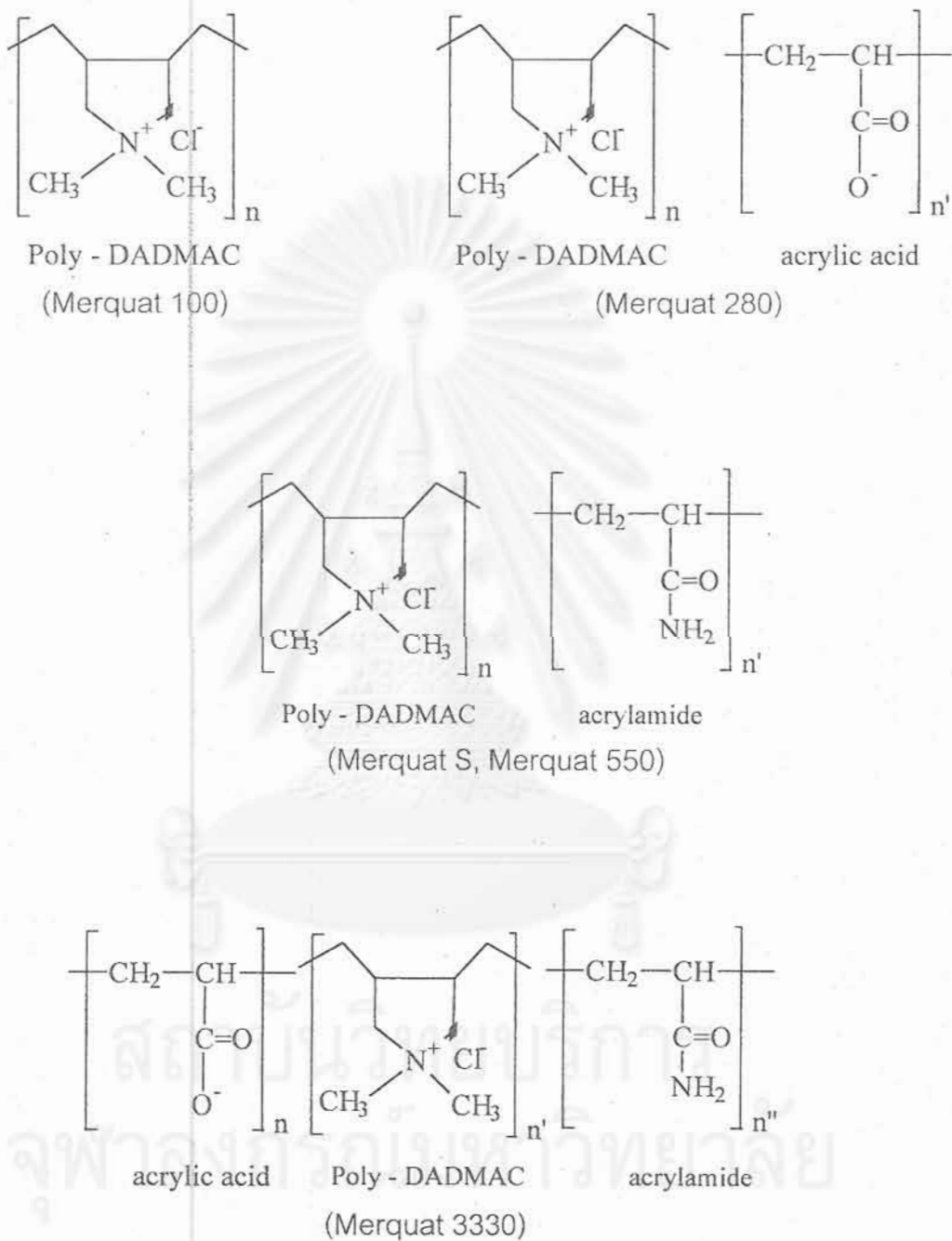
ไม่เกิดเป็น 17-45-38 เปอร์เซ็นต์โดยน้ำหนัก ให้เทอร์พอลิเมอร์ มีอุทกการค้าว่า Merquat 3331 พอลิอิเล็กโตรไรล์ซึ่นนิคเทอร์พอลิเมอร์มีคุณสมบัติเป็นแอมฟิเตอริก พอลิอิเล็กโตรไรล์ในตระกูลของไดอัลลิลไดเมทธิลแอมโมเนียมคลอไรด์ มีโครงสร้างทางเคมีดังแสดงในรูปที่ 2.3 และคุณสมบัติของสารในอนุกรมนี้แสดงในตารางที่ 2.7 คุณสมบัติการเป็นแทกไอกอนิกพอลิอิเล็กโตรไรล์ที่สามารถจับแอนไอกอนได้ปริมาณมาก จึงถูกนำมาทดลองจับโลหะในน้ำทิ้ง เช่น แอนไอกอนของโครเมต ตามอัตราส่วนของประจุโครเมต 1 ตัว จับกับไมโนเมอร์ของ “ไดอัลลิลไดเมทธิลแอมโมเนียมคลอไรด์ 2 ยูนิต

พอลิอิเล็กโตรไรล์เพิ่มการกรองแบบอัลตราฟิวเตอร์ชันเป็นการประยุกต์ใช้อัลตราฟิลเตอร์ชันในด้านการทำจัดไอกอนของโลหะหนักออกจากสารละลาย โดยไอกอนโลหะหนักจับพอลิอิเล็กโตรไรล์ พอร์มเป็นแม่ค้าไม่เกิด พอลิอิเล็กโตรไรล์ทำให้ไอกอนของโลหะไม่สามารถผ่านเมมเบรนไปได้อย่างอิสระ การใช้พอลิอิเล็กโตรไรล์เพิ่มการกรองแบบอัลตราฟิลเตอร์ชันนี้ เป็นวิธีการใหม่ การวิจัยนี้เพื่อศึกษาความเป็นไปได้ที่จะนำมาใช้ในการกำจัดโลหะหนักโดยคิดว่าอาจเป็นทางเลือกใหม่แทนวิธีที่ใช้ออยู่ในปัจจุบัน เพื่อลดการเติมสารเคมีและลดขั้นตอนการตัดตะกอนโลหะ

## 2.7 งานวิจัยที่เกี่ยวข้อง

Sriratana (1995) ศึกษาการเกิดเจลและเจลโพลาไพรีเซ็นโดยใช้พอลิอิเล็กโตรไรล์กรองแบบอัลตราฟิลเตอร์ชัน ใน การศึกษาได้ใช้พอลิอิเล็กโตรไรล์คือ พอลิไดอัลลิลไดเมทธิลแอมโมเนียม คลอไรด์ จับกับแอนไอกอนโครเมต พอลิอิเล็กโตรไรล์และโครเมตสร้างพันธะกัน และทำการกรองแบบอัลตราฟิลเตอร์ชัน พบว่าพอลิอิเล็กโตรไรล์สามารถจับโครเมตได้สูงถึง 99.6% และพบว่าเมื่อเติมโซเดียมคลอไรด์ลงไปจะไปลดความสามารถในการจับโครเมตลงอย่างมาก เนื่องจากโซเดียมคลอไรด์ที่เติมเข้าไปจะไปทำให้ความแรงของไอกอนในสารละลายสูงขึ้นมาก ทำให้โครเมียมเกิดพันธะกับพอลิอิเล็กโตรไรล์ได้น้อยลง ดังนั้นโครเมตไอกอนที่ไม่เกิดพันธะจึงผ่านเมมเบรนอัลตราฟิลเตอร์ชันออกมากได้

Tabatabai และคณะ (1995) ศึกษาการลดความกระด้างของน้ำด้วยการใช้พอลิอิเล็กโตรไรล์เพิ่มอัลตราฟิลเตอร์ชัน โดยใช้พอลิอิเล็กโตรไรล์จับกับแคลเซียมและแมกนีเซียมในน้ำ พอลิอิเล็กโตรไรล์ที่ใช้คือ โซเดียมพอลิสโตรีนซัลฟอนेट(Sodium polystyrene sulfonate) พบว่าพอลิอิเล็กโตรไรล์เพิ่มอัลตราฟิลเตอร์ชันสามารถจับแคลเซียมและแมกนีเซียมໄว้ได้สูงถึง 99.7% และยังพบว่าเมื่ออัตราส่วนของพอลิอิเล็กโตรไรล์เพิ่มขึ้นความสามารถในการดักจับแคลเซียม



รูปที่ 2.3 โครงสร้างทางเคมีของอนุกรรมพอลิไดอัลลิลไดเมทธิลแอมโมเนียมคลอไรด์

ตารางที่ 2.7 คุณสมบัติของพอลิอิเล็กโทรไอล์ต่อนุกรมพอลิไดออกซิลไดเมทธิลแอมโมเนียมคลอไรด์

ชื่อทางการค้า	Merquat 100	Merquat 280	Merquat S	Merquat 3330
Appearance	clear, viscous liq	Clear to slightly hazy viscous liquid	clear, viscous liq	clear, viscous liq
odor	Mild, aldehydic	Mild, aldehydic	mild aldehydic	mild aldehydic
Color, APHA	≤70 colorless to pale yellow	pale yellow	<20 (colorless)	colorless to very pale yellow
Total solid, %	39-41	38-40	8.1-9.1	9.0-10.0
pH	6.0-7.0	4.25-5.25	6.5-7.5	5.5-7.0
pH stability range	1-14	1-14	3-12	3-12
Viscosity, cps, 25°C	8000-12,000	3500-12000	9000-15000	4.4K-10.4K
Molecular weight	$4 \times 10^5$	$2 \times 10^6$	$7 \times 10^7$	$4 \times 10^6$

แล้วแมกนีเซียมก็มากขึ้นตามไปด้วย เมื่อทำการเติมความเข้มข้นของเกลือลงไปในสารละลายนี้ จะระดับความเข้มข้นของเกลือต่ำจะส่งผลต่อความสามารถในการจับแคลเซียมและแมกนีเซียมไม่มากนักคือ เมื่อเติมโซเดียมคลอไรด์ลงไปเพียง 20 มก. ต่อ ลิตร์ ความสามารถในการจับแคลเซียมและแมกนีเซียมมีค่าใกล้เคียงกัน 99% แต่เมื่อเติมความเข้มข้นของโซเดียมคลอไรด์สูงถึง 2000 มก. ต่อ ลิตร์ ความสามารถในการจับแคลเซียมและแมกนีเซียมลดลงอย่างมาก โดยเหลือเพียง 66% เท่านั้น เนื่องจาก การเติมเกลือลงไปในสารละลายนี้จะไปเพิ่มค่าความแรงของไอออนในสารละลายน้ำให้แคลเซียม และแมกนีเซียมจับกับโซเดียมพอลิสโตรีนชัลฟอนไดน้อยลง ดังนั้นแคลเซียมและแมกนีเซียมที่ไม่เกิดพันธะก็จะสามารถผ่าน膜เบรนอัลตราฟิลเตอร์ขึ้นออกมากได้

Sasaki และคณะ (1989) ศึกษาการกำจัดไอออนของทองแดง ด้วยพอลิอิเล็กโทรไอล์เพิ่มอัลตราฟิลเตอร์ขึ้น โดยใช้โมเดลในการคาดการณ์ผลของการทดลอง โดยให้พอลิอิเล็กโทรไอล์

จับกับไอคอนของทองแดงซึ่งพอลิอิเล็กโตรไรล์ที่ใช้คือ พอลิสไตรีนชัลฟ์เนต แยกศึกษาอัตราส่วนของพอลิอิเล็กโตรไรล์ต่อคราเมตเป็นอัตราส่วนต่างๆจาก 3:1 ถึง 10:1 และศึกษาผลกระทบเมื่อเติมโซเดียมคลอไรด์โดยให้ความเข้มข้นของโซเดียมคลอไรด์จาก 0-80 มิลลิโมลาร์ พบว่า เมื่ออัตราส่วนของพอลิอิเล็กโตรไรล์เพิ่มขึ้นความสามารถในการจับทองแดงไอออนก็มากขึ้นตามไปด้วย และพบว่าการเพิ่มโซเดียมคลอไรด์จะไปลดศักยภาพของพอลิอิเล็กโตรไรล์ โดยโซเดียมไอออนที่มีอยู่ในโซเดียมคลอไรด์และในโซเดียมพอลิสไตรีนชัลฟ์เนต จะเพิ่มความแรงของไอออนในสารละลายทำให้ทองแดงไอออนจับกับพอลิอิเล็กโตรไรล์ได้น้อยลง นอกจากนั้น โซเดียมไอออนยังแย่งทองแดงไอออนในการจับกับพอลิอิเล็กโตรไรล์อีกด้วย

Tucker และคณะ (1992) ศึกษาการแยกคราเมตในน้ำด้วยวิธีอัลตราฟิลเตรชันและการตกละกอนโดยพอลิอิเล็กโตรไรล์ใช้เป็นแบบแคทไอออน (พอลิได้อลลิลไดเมกิลแอมโนเนียมคลอไรด์) ประสิทธิภาพของการแยกมากกว่า 99% และพบว่าเมื่อการเติมโซเดียมคลอไรด์ลงไปในกระบวนการประสิทธิภาพของการแยกคราเมตจะลดลง แต่ประสิทธิภาพยังมากกว่า 95% เมื่อเติมความเข้มข้นของคลอไรด์เพียงเล็กน้อย เนื่องจากการมีไอออนอื่นๆในสารละลายจะทำให้เกิดการรบกวนต่อระบบได้ 2 ทาง คือ ทำให้ค่าความแรงของไอออนในสารละลายเพิ่มขึ้น เช่น ตัวอย่างของการเติมโซเดียมคลอไรด์ลงไปในระบบ ซึ่งจะไปลดความสามารถในการจับคราเมตของพอลิอิเล็กโตรไรล์ ทำให้คราเมตที่ไม่เกิดพันธะสามารถผ่านเมมเบรนออกมайд้วย และถ้าจะนำไปบำบัดน้ำเสียก็จะมีไอออนต่างๆในน้ำเสียที่มีค่าความเข้มข้นสูงๆ จะมีผลต่อความแรงของในสารละลายด้วย นอกจากนี้ ยังอาจเกิดพันธะระหว่างแคทไอออนในน้ำเสียกับคราเมตอีกด้วย เช่น การเกิด  $PbCrO_4$  และการรบกวนอีกทางหนึ่งก็คือ การที่แอนไฮดรอนในน้ำเสียมีการแย่งแย่งกับคราเมตที่จะเกิดพันธะกับพอลิอิเล็กโตรไรล์ ทำให้คราเมตจับกับพอลิอิเล็กโตรไรล์ได้น้อยลง เช่น การมีชัลเฟต์ไอออนในน้ำเสียทำให้ชัลเฟต์ไอออนเกิดพันธะกับพอลิอิเล็กโตรไรล์ เป็นต้น

Mundkur และ Watters (1993) ศึกษาการใช้พอลิอิเล็กโตรไรล์เพิ่มอัลตราฟิลเตรชันในการแยกทองแดงออกจากน้ำเสีย พบว่าได้รับความสำเร็จอย่างมากในการลดปริมาณของทองแดงในน้ำเสียจาก 100 มก. ต่อ ลิตร ให้เหลือน้อยกว่า 10 มก. ต่อ ลิตร โดยการให้ทองแดงเกิดพันธะกับพอลิอิเล็กโตรไรล์แล้วกรองด้วยกระบวนการอัลตราฟิลเตรชัน นอกจากนั้น ยังพบว่าอัตราส่วนต่างๆของพอลิอิเล็กโตรไรล์ต่อทองแดงมีผลต่อความสามารถในการจับทองแดงอีกด้วย

## บทที่ 3

### วิธีการดำเนินการวิจัย

รูปแบบและขั้นตอนการศึกษา แบ่งเป็น 5 ขั้นตอนดังนี้

**ขั้นที่หนึ่ง** การวิเคราะห์หาชนิดและปริมาณของไออุ่นที่มีอยู่ในน้ำทิ้ง จากโรงงานชุม  
เคลือบโลหะโดยใช้เครื่องอะตอมมิกแอบซอร์พชั้น สเปกตรومิเตอร์, เครื่องไฮเพอร์ฟอร์มานซ์  
สิควิต ไออุ่นโครมาโตกราฟ สำหรับวิเคราะห์ไออุ่น, เครื่องอัลตราไวโอลेटและวิสิเบิลสเปกต์  
ริฟটอมิเตอร์, เครื่องไออุ่นซีเล็กทีฟอิเล็กโทรด และการไฟเทราท

**ขั้นที่สอง** การศึกษาหาอัตราส่วนที่เหมาะสม ระหว่างพอลิอิเล็กตรอลีต์และโครเมต  
เพื่อใช้ในการศึกษาถึงผลกระทบของไออุ่น ที่มีต่อประสิทธิภาพการทำจัดโครเมตโดยพอลิอิเล็ก  
ตรอลีต์ โดยศึกษาอัตราส่วน 5/1 , 10/1 , 20/1 และ 30/1 และวิเคราะห์หาปริมาณโครเมตโดย  
ใช้เครื่องอัลตราไวโอลेटและวิสิเบิลสเปกต์ริฟটอมิเตอร์

**ขั้นที่สาม** การศึกษาผลกระทบของไออุ่นบวก ที่มีต่อประสิทธิภาพการทำจัดโครเมต  
ของพอลิอิเล็กตรอลีต์ โดยใช้อัตราส่วนของพอลิอิเล็กตรอลีต์และโครเมตเป็น 20/1 และไออุ่น  
บวกที่ใช้ในการศึกษาคือ ไออุ่นของทองแดง, ไออุ่นของเหล็ก, ไออุ่นของนิเกิล และไออุ่นของ  
ลังกัสตี วิเคราะห์หาปริมาณโครเมตโดยใช้เครื่องอัลตราไวโอลेटและวิสิเบิลสเปกต์ริฟಟอมิเตอร์  
และวิเคราะห์หาปริมาณไออุ่นบวกโดยใช้ เครื่องอะตอมมิกแอบซอร์พชั้น สเปกต์รอมิเตอร์

**ขั้นที่สี่** การศึกษาผลกระทบของแอนไออุ่นที่มีต่อประสิทธิภาพการทำจัดโครเมตของ  
พอลิอิเล็กตรอลีต์ โดยใช้อัตราส่วนของพอลิอิเล็กตรอลีต์และโครเมตเป็น 20/1 และแอนไออุ่น  
ที่ใช้ในการศึกษาคือ คลอรอไรด์ไออุ่น, ไนเตรทไออุ่น และซัลเฟตไออุ่น วิเคราะห์หาปริมาณโคร  
เมตโดยใช้เครื่องอัลตราไวโอลेट และวิสิเบิล สเปกต์ริฟটอมิเตอร์ วิเคราะห์หาปริมาณไออุ่น  
ของคลอรอไรด์โดยใช้การไฟเทราทกับซิลเวอร์ไนเตรท และวิเคราะห์หาปริมาณไออุ่นของไนเตรท  
และไออุ่นของซัลเฟตโดยใช้เครื่องไออุ่นโครมาโตกราฟ

**ขั้นที่ห้า การศึกษาสำหรับชีวิตรักษาพืชที่ได้จากการใช้งานชุมชนโดยใช้อัตราส่วนของพอลิอิเล็กโทรไอล์ดและโครเมตที่อยู่ในน้ำทึบตั้งแต่น้ำเท่ากับ 20/1 ส่งน้ำสำหรับชีวิตรักษาพืชที่มีชีวิตตัดมาเท่ากับปริมาณของสารละลายน้ำที่ขาดหายไปเป็นเพื่อมิเอกชีวิตรักษาพืชที่มีชีวิตตัดโดยใช้เครื่องอัลตราไวโอล็อกและวิสิเบิลสเปกตรอฟโนมิเตอร์ วิเคราะห์หาปริมาณโครเมตโดยใช้เครื่องจะต้องมีก้อนซอร์พชันสเปกตรอฟโนมิเตอร์ วิเคราะห์หาปริมาณไออกอนของคลอไรด์โดยการให้เทเรทกับซิลเวอร์ในเดรท และวิเคราะห์หาปริมาณไออกอนของไนเตรทและไออกอนของชัลเฟตโดยใช้เครื่องจะต้องมีก้อนไออกอนไครามาติกราฟ**

### 3.1 เครื่องมือ-อุปกรณ์ และสารเคมี

#### 3.1.1 เครื่องแก้ว

ปิเปต ขวดวัดปริมาตร บีกเกอร์ กระบวนการ แท่งแก้วคน หลอดหยด ขวดรูปชมพู่ ขวดเก็บสารตัวอย่าง บีวาร์ต์

#### 3.1.2 เครื่องมือ-อุปกรณ์

1. เครื่องไฮเพอร์ฟอร์มานซ์ ลิกวิด ไออกอนไครามาติกราฟ สำหรับวิเคราะห์ไออกอน หรือ เอช พี ไอ ซี หรือ ไอ ซี (High Performance Liquid Chromatography ,HPIC) ของบริษัท PERKIN ELMER ประกอบด้วย vacuum degasser Series200, IC pump Series200, Interface Series 900, LINK Series 600)

คอลัมน์ : Anion/R 10um, 150\*4.6 mm

เฟสเคลื่อนที่ : 5mM p-Hydroxybenzoic acid , ปรับ pH 8.5 โดยใช้สารละลายน้ำตาล เชิงกราน

เครื่องตรวจวัด : Alltech 350 Conductivity Detector

อัตราการไหล : 1.5 mL/min

เวลาที่ใช้ในการน่วงเหนี่ยว : 4.8 นาที (สำหรับแอนไออกอนในเดรท)

: 7.5 นาที (สำหรับแอนไออกอนชัลเฟต)

ปริมาณการฉีดตัวอย่าง : 60 ไมโครลิตร

2. เครื่องอัตโนมัติแอบซอฟท์พันสเปกตรอฟโนเมเตอร์ หรือ เอ เอส (Atomic absorption spectrophotometer , AAS) ของบริษัท Varian รุ่น 300

การทำให้สารแตกตัวเป็นอัตโนมัติของธาตุเกิดขึ้นในเปลวไฟของอากาศ และ อะเซทีลีน ( $\text{Air-C}_2\text{H}_2$ ) อัตโนมัติในเปลวไฟดูดกลืนแสงจากแหล่งกำเนิดแสง (Light Source) ที่เป็นหลอดห้องโลหะ (Hollow cathode lamps) การวิเคราะห์แคท ไอคอนทองแดง เหล็ก ตะกั่ว นิกเกิล และสังกะสี โดยวัดการดูดกลืนแสงที่ปราชจากการทำ background correction และปรับไม้ในโครงเมเตอร์สำหรับแต่ละธาตุ ดังนี้

ทองแดง	ใช้ความยาวคลื่น 324.8 นาโนเมตร ความกว้างของSlit 0.5 นาโนเมตร
เหล็ก	ใช้ความยาวคลื่น 248.3 นาโนเมตร ความกว้างของSlit 0.2 นาโนเมตร
ตะกั่ว	ใช้ความยาวคลื่น 217.0 นาโนเมตร ความกว้างของSlit 1.0 นาโนเมตร
นิกเกิล	ใช้ความยาวคลื่น 232.0 นาโนเมตร ความกว้างของSlit 0.2 นาโนเมตร
สังกะสี	ใช้ความยาวคลื่น 213.9 นาโนเมตร ความกว้างของSlit 1.0 นาโนเมตร

3. เครื่องอัลตราไวโอเลตและวิสิเบิลสเปกตรอฟโนเมเตอร์ หรือ ยูวี-วี ไอ เอส (Ultraviolet and visible spectrophotometer, UV-VIS) ของบริษัท Perkin Elmer รุ่น Lambda16 วิเคราะห์โครงเมต ใช้ความยาวคลื่น 542.0 นาโนเมตร

4. เครื่องไอคอนซีเลกท์ฟอลเลคท์ (Ions selective electrode) ของบริษัท Orion รุ่น 920A

5. ปั๊มดูดอากาศ (Vacuum pump) ของบริษัท Anleitung Lesen

6. เครื่องชั่งชนิดละเอียด ของ Ohaus รุ่น Analytical Plus

7. สเตอร์เชลล์ (Stirred cell) ขนาด 300 มล. ของบริษัทสเปคตรัม สหรัฐอเมริกา

8. เมมเบรนกรองแบบอัลตราฟิวเตอร์ที่มีขนาดน้ำหนักโมเลกุล (Molecular weight cut-off ,MWCO) เฉลี่ยเท่ากับ 10,000 ดาลตัน เส้นผ่าศูนย์กลาง 76 มม. ของบริษัทสเปคตรัม

9. สูปอร์ เมมเบรน (Supor membrane) ขนาด 0.45 ไมโครเมตร เส้นผ่านศูนย์กลาง 47 มิลลิเมตร สำหรับกรองตัวทำละลาย และขนาด 0.2 ไมโครเมตร เส้นผ่านศูนย์กลาง 13 มิลลิเมตร สำหรับกรองตัวอย่างก่อนฉีดเข้าเครื่องเอกซ์ 皮 ไอ ซี เป็นชนิดพอลิอีโคเรอร์ซัลฟอน (polyethersulfone) จากบริษัท Gelman Science

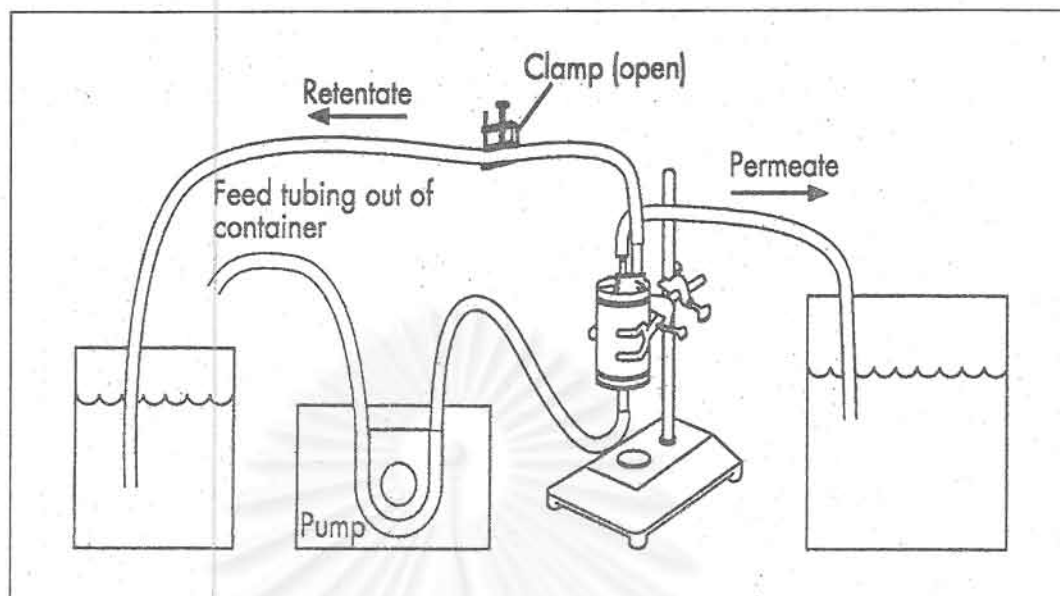
10. ชุดกรองเฟสเคลื่อนที่ (ของ Wheaton)

11. เครื่องไล่อากาศโดยใช้คลื่นอัลตราโซนิก (ของ Brason รุ่น 2200)

### 3.2 สารเคมี

#### 1. พอลิอิเล็กโทรไลต์ (Polyelectrolyte)

พอลิอิเล็กโทรไลต์ที่ใช้คือ Poly(diallyl dimethyl ammonium chloride), PDMDAAC หรือ QUAT หรือ MERQUAT 100 ในสารละลายน้ำ เช้มขึ้น 40% (โดยน้ำหนัก) มีน้ำหนักโมเลกุลโดยเฉลี่ย 240,000 ดาลตัน ของบริษัท Calgon Corporation การเตรียม พอลิอิเล็กโทรไลต์ทำโดยแยกพอลิอิเล็กโทรไลต์ที่มีขนาดเล็กๆออก (QUAT Purification) โดยทำใน colloidal ที่มีรูปแบบสpiral wound อัลตราฟิวเตอร์ชัน (Spiral wound Ultrafiltration column) ดังแสดงรูปที่ 3.1 ให้ความดัน 25 ปอนด์ ต่อ ตารางนิ้ว อัตราการไหล 300 มิลลิลิตร ต่อ นาที โดยเตรียมความเช้มขึ้นเริ่มต้นเป็น 0.0742 มิลลิาร์ด ขณะทำการแยกจะให้เพอเมิร์ม (permeate) และรีเทนแทต (retentate) ออกมากว่า 90% ของขนาดโมเลกุลเล็กกว่า 10,000 ดาลตัน ออกมากพร้อมกับตัวทำละลายจะปล่อยทิ้งไป การกรองจนกระทั่งปริมาตรของสารละลายนลดลง 75% ของปริมาตรเริ่มต้นทำให้รีเทนแทตมีความข้นมาก เติมน้ำกลั่นลงไปเจือจางพอลิอิเล็กโทรไลต์ให้มีชีมตรเท่าเดิม ความเช้มต้น จากนั้นทำการกรองผ่าน colloidal สpiral wound อัลตราฟิวเตอร์ชันช้า เช่นนี้จนครบ 6 ครั้ง รีเทนแทตที่ได้ครั้งสุดท้ายเป็นพอลิอิเล็กโทรไลต์ที่มีขนาดใหญ่กว่า 10,000 ดาลตัน นำไปใช้ในการทดลอง ความเช้มขึ้นของพอลิอิเล็กโทรไลต์ที่ได้ประมาณ 0.4 - 0.5 มิลลิาร์ด



รูปที่ 3.1 การทำพอลิอิเล็กโทรไอล์ตีให้บริสุทธิ์โดยใช้สไปรคล วูลด์ ยูนิต

2. โซเดียมไดโครเมต ( $\text{Na}_2\text{CrO}_4$ ) เกรดวิเคราะห์ ความบริสุทธิ์ 99% ของบริษัท Riedel-deHaen

การเตรียมสารละลายนิโครเมตเข้มข้น 1000.00 มิลลิกรัม ต่อ ลิตร โดยละลายโซเดียมไดโครเมต 1.3966 กรัม ใส่ในขวดปริมาตรขนาด 1000 มิลลิลิตร เติมน้ำกลั่นถึงขีดวัดปริมาตร ขยายให้เข้ากัน ใช้สารละลายนี้ได้นี้เป็นสารละลายเริ่มต้นสำหรับเตรียมน้ำเสียสังเคราะห์ และใช้ทำการฟอกมาตรฐานสำหรับการวิเคราะห์นิโครเมตโดยวิธียูวี-วี ไอ เอส

#### 2.1 การเตรียมน้ำเสียสังเคราะห์ สำหรับศึกษาอัตราส่วนที่เหมาะสมระหว่างพอลิอิเล็ก-โทรไอล์ตและนิโครเมต

กำหนดให้ความเข้มข้นของนิโครเมตในน้ำเสียสังเคราะห์หมื่นค่าคงที่ 350 มิลลิกรัม ต่อ ลิตร ตลอดการทดลอง (ประมาณจากค่าเฉลี่ยของนิโครเมตที่หาได้จากน้ำทึ้งของโรงงานชุมชนเปลี่ยนจริงๆ) เตรียมปริมาตรสารละลายน้ำหนึ่งหมื่นครั้งเท่ากับ 300 มิลลิลิตร ใส่ในสเตอร์เซลล์ โดยใช้สารละลายนิโครเมต 1000 มิลลิกรัม ต่อ ลิตร จำนวน 105 มิลลิลิตร เทิร์มพอลิอิเล็กโทรไอล์ตให้ได้ความเข้มข้นเป็น 5, 10, 20 และ 30 เท่าของความเข้มข้นของนิโครเมต และใช้น้ำที่ผ่านการกำจัดไออกอนแล้วปรับปริมาตรเป็น 300 มิลลิลิตร

## 2.2 การเติมน้ำเสียสังเคราะห์สำหรับศึกษาผลกรอบของไอโอดีนต่างๆ

ความเข้มข้นของโครเมตในน้ำเสียสังเคราะห์ให้มีค่าคงที่ 350 มิลลิกรัม ต่อ ลิตร ทดลองการทดลองเช่นเดียวกับข้อ 2.1 เติมน้ำเสียสังเคราะห์ทั้งหมด 300 มิลลิลิตร ใส่ในสเตอร์เซลล์ เดิมพอลิอิเล็กโทรไอล์ต์ให้ได้ความเข้มข้น 20 เท่าของความเข้มข้นของโครเมต และเติมไอโอดีนต่างๆที่จะศึกษาผลกรอบของแต่ละชนิดลงไป ใช้น้ำที่ผ่านการทำจัดไอโอดีนแล้วปรับปริมาณเป็น 300 มิลลิลิตร

## 2.3 การเติมสารละลายโครเมต สำหรับทำกราฟมาตรฐานที่วัดด้วยเครื่องยูวี-วี ไอ เอส

เติมความเข้มข้นของสารละลายโครเมต 100.00 มิลลิกรัม ต่อ ลิตร โดยดูดสารละลายโครเมต 1000.00 มิลลิกรัม ต่อ ลิตร จำนวน 10.00 มิลลิลิตร ใส่ในขวดวัดปริมาตรขนาด 100 มิลลิลิตร เดิมน้ำที่ผ่านการทำจัดไอโอดีนแล้วจนถึงขีดวัดปริมาตร เขย่าให้เข้ากัน ปีเปตสารละลายโครเมตนี้มา 10 มิลลิลิตร ใส่ในขวดวัดปริมาตรขนาด 100 มิลลิลิตร เดิมน้ำที่ผ่านการทำจัดไอโอดีนแล้วจนถึงขีดวัดปริมาตร เขย่าให้เข้ากัน จะได้สารละลายโครเมตที่มีความเข้มข้น 10.00 มิลลิกรัม ต่อ ลิตร ดูดสารละลายนี้ 0.50 , 1.00 , 2.00 , 4.00 , 6.00 , 8.00 และ 10.00 มิลลิลิตร ใส่ในขวดวัดปริมาตรขนาด 100 มิลลิลิตร เติมรีเอ-เจนตซิม-ไดฟินิวเคลียร์ไซด์ 5.0 มิลลิลิตร เดิมน้ำที่ผ่านการทำจัดไอโอดีนแล้วจนถึงขีดวัดปริมาตร เขย่าให้เข้ากัน จะได้สารละลายโครเมตที่มีความเข้มข้น 0.05 , 0.10 , 0.20 , 0.40 , 0.60 , 0.80 และ 1.00 มิลลิกรัม ต่อ ลิตร นำสารละลายดังกล่าวมาทำเป็นกราฟมาตรฐานที่แสดงความสัมพันธ์ระหว่างค่าการดูดกลืนแสง (Absorbance) กับความเข้มข้นของสารละลายโครเมต (มิลลิกรัม ต่อ ลิตร) โดยใช้สารละลายเบรีบเนยบเทียบ(bisink) เป็นรีเอเจนตซิม-ไดฟินิวเคลียร์ไซด์ 5.0 มิลลิลิตร ปรับปริมาณเป็น 100 มิลลิลิตร ด้วยน้ำที่ผ่านการทำจัดไอโอดีนแล้ว

## 3. สารละลายมาตรฐานทองแดง 1000.00 มิลลิกรัม ต่อ ลิตร (Standard copper solution) เกรดวิเคราะห์ ของบริษัท Spectrosol สำหรับการวิเคราะห์ด้วยเครื่องเอกซ์โซส

การเติมสารละลายมาตรฐานทองแดงเข้มข้น 2.00 - 5.00 มิลลิกรัม ต่อ ลิตร โดยปีเปตสารละลายมาตรฐานทองแดง 1000.00 มิลลิกรัม ต่อ ลิตร จำนวน 10.0 มิลลิลิตร ใส่ลงในขวดวัดปริมาตรขนาด 100 มิลลิลิตร เดิมน้ำที่ผ่านการทำจัดไอโอดีนแล้วจนถึงขีดวัดปริมาตร เขย่าให้เข้ากัน จะได้สารละลายทองแดงที่มีความเข้มข้น 100.00 มิลลิกรัม ต่อ ลิตร นำสารละลายนี้มาเติมสารละลายทองแดงที่ใช้ทำกราฟมาตรฐาน โดยการปีเปตสารละลายนี้ 2.00 ,

3.00 , 4.00 และ 5.00 มิลลิลิตร ใส่ในขวดวัดปริมาตรขนาด 100 มิลลิลิตร ตามลำดับ เติมกรดไนเตริก 3.00 มิลลิลิตร และเติมน้ำที่ผ่านการทำจัดไอโอนแล้วจนถึงขีดวัดปริมาตร เขย่าให้เข้ากัน จะได้สารละลายทองแดงที่มีความเข้มข้น 2.00 , 3.00 , 4.00 และ 5.00 มิลลิกรัม ต่อลิตร วัดค่าการดูดกลืนแสดงโดยใช้เครื่อง เอ เอส ทำกราฟมาตรฐาน จากความสัมพันธ์ระหว่างค่าการดูดกลืนแสง (absorbance) กับความเข้มข้นของสารละลายทองแดง

4. สารละลายมาตรฐานเหล็ก 1000.00 มิลลิกรัม ต่อลิตร (Standard iron solution) เกรดวิเคราะห์ ของบริษัท Spectrosol สำหรับการวิเคราะห์ด้วยเครื่อง เอ เอส

การเตรียมความเข้มข้นของเหล็กในช่วง 1.00 - 5.00 มิลลิกรัม ต่อลิตร มีวิธีการการเตรียม เช่นเดียวกับการเตรียมสารละลายมาตรฐานทองแดงในข้อ 3

5. สารละลายมาตรฐานตะกั่ว 1000.00 มิลลิกรัม ต่อลิตร (Standard lead solution) สำหรับการวัดด้วยเครื่อง เอ เอส

การเตรียมความเข้มข้นของตะกั่ว 2.00 , 3.00 , 5.00 , 8.00 และ 10.00 มิลลิกรัม ต่อลิตร วิธีการเตรียมเช่นเดียวกับการเตรียมสารละลายมาตรฐานทองแดงในข้อ 3

6. สารละลายมาตรฐานนิเกิล 1000.00 มิลลิกรัม ต่อลิตร (Standard nickel solution) เกรดวิเคราะห์ ของบริษัท Spectrosol สำหรับการวิเคราะห์ด้วยเครื่อง เอ เอส

เตรียมความเข้มข้นของนิเกิล 1.00 , 2.00 , 5.00 และ 10.00 มิลลิกรัม ต่อลิตร วิธีการเตรียมเช่นเดียวกับการเตรียมสารละลายมาตรฐานทองแดงในข้อ 3

7. สารละลายมาตรฐานสังกะสี 1000.00 มิลลิกรัม ต่อลิตร (Standard zinc solution) เกรดวิเคราะห์ ของบริษัท Spectrosol สำหรับการวิเคราะห์ด้วยเครื่อง เอ เอส

เตรียมความเข้มข้นของสังกะสี 0.10 , 0.20 , 0.50 , 0.80 และ 1.00 มิลลิกรัม ต่อลิตร โดยดูดสารละลายปริมาตร 10.0 มิลลิลิตร จากสารละลายมาตรฐานสังกะสีความเข้มข้น 1000.00 มิลลิกรัมต่อลิตร ใส่ลงในขวดวัดปริมาตรขนาด 100 มิลลิลิตร เติมน้ำที่ผ่านการทำจัดไอโอนแล้วจนถึงขีดวัดปริมาตร เขย่าให้เข้ากัน จะได้สารละlays สังกะสีที่มีความเข้มข้น 100.00 มิลลิกรัมต่อลิตร ดูดสารละลายนี้ปริมาตร 10.00 มิลลิลิตร ใส่ลงในขวดวัดปริมาตรขนาด 100 มิลลิลิตร เขย่าให้เข้ากัน จะได้สารละลายสังกะสีที่มีความเข้มข้น 10.00 มิลลิกรัม

ต่อ ลิตร ปีเปตสารละลายสังกะสีเข้มข้น 10.00 มิลลิกรัม ต่อ ลิตรนี้ 1.00 , 2.00 , 5.00 , 8.00 และ 10.00 มิลลิลิตร ใส่ลงในขวดวัดปริมาตร 100 มิลลิลิตร ตามลำดับ เติมกรดไนต์ริก 3.0 มิลลิลิตร และเติมน้ำที่ผ่านการทำจัดไอโอดินแล้วจนถึงขีดวัดปริมาตร เขย่าให้เข้ากัน จะได้สารละลายสังกะสีที่มีความเข้มข้น 0.10 , 0.20 , 0.50 , 0.80 และ 1.00 มิลลิกรัม ต่อ ลิตร นำสารละลายดังกล่าวมาวัดค่าการดูดกลืนแสงโดยเครื่อง เอ เอส หาความสัมพันธ์ระหว่างค่าการดูดกลืนแสงกับค่าความเข้มข้นของสารละลายสังกะสี (มิลลิกรัม ต่อ ลิตร)

8. สารละลายมาตรฐานในเดราท 1000.00 มิลลิกรัม ต่อ ลิตร(Standard nitrate solution) ชนิด เกรดวิเคราะห์ 99.5% ของบริษัท Carlo Erba สำหรับการวิเคราะห์ด้วยเครื่อง “ไอโอดินโคลามาโตกราฟ

เตรียมความเข้มข้นของในเดราท 10.00 , 20.00 , 50.00 , 80.00 และ 100.00 มิลลิกรัม ต่อ ลิตร โดยปีเปตสารละลายมาตรฐานในเดราทเข้มข้น 1000.00 มิลลิกรัม ต่อ ลิตร จำนวน 1.00 , 2.00 , 5.00 , 8.00 และ 10.00 มิลลิลิตร ใส่ลงในขวดวัดปริมาตรขนาด 100 มิลลิลิตร ตามลำดับ เติมเฟสเคลื่อนที่จนถึงขีดวัดปริมาตร เขย่าให้เข้ากันจะได้สารละลายในเดราทที่มีความเข้มข้น 10.00 , 20.00 , 50.00 , 80.00 และ 100.00 มิลลิกรัม ต่อ ลิตร กรองสารละลายผ่านเมมเบรนขนาด 0.2 ไมโครเมตร นำไปฉีดเข้าเครื่องไอ ซี วัดค่าพื้นที่ได้พีค หาความสัมพันธ์ระหว่างพื้นที่ได้ (Peak Area) กับความเข้มข้นของสารละลายในเดราท (มิลลิกรัม ต่อ ลิตร)

9. สารละลายมาตรฐานชัลเฟต 1000.00 มิลลิกรัม ต่อ ลิตร (Standard sulfate solution) ชนิดเกรดวิเคราะห์ 99.5% ของบริษัท Carlo Erba สำหรับการวิเคราะห์ด้วยเครื่อง “ไอโอดินโคลามาโตกราฟ

เตรียมความเข้มข้นของชัลเฟต 10.00 , 20.00 , 50.00 , 80.00 และ 100.00 มิลลิกรัม ต่อ ลิตร เช่นเดียวกับการเตรียมสารละลายมาตรฐานในเดราทในข้อ 8

10. โซเดียมคลอไรด์ 1000.00 มิลลิกรัม ต่อ ลิตร (Sodium chloride, NaCl) ชนิด เกรดวิเคราะห์ 99.5% ของบริษัท Carlo Erba สำหรับศึกษาผลกระบวนการของไอโอดินคลอไรด์

11. โซเดียมไนเดรท 1000.00 มิลลิกรัม ต่อ ลิตร (Sodium nitrate , NaNO<sub>3</sub>) ชนิด เกรดวิเคราะห์ 99.5% ของบริษัท Carlo Erba สำหรับศึกษาผลกระบวนการของไอโอดินในเดราท

12. โซเดียมซัลเฟต 1000.00 มิลลิกรัม ต่อ ลิตร (Sodium sulfate,  $\text{Na}_2\text{SO}_4$ ) ชนิดเกรด วิเคราะห์ 99.5% ของบริษัท Carlo Erba สำหรับศึกษาผลกระบวนการของไอโอดินชัลเฟต
13. โคปเปอร์(ทู)คลอไนด์ (Copper (II) chloride ,dihydrate ,  $\text{CuCl}_2 \cdot 2\text{H}_2\text{O}$ ) ชนิด เกรดวิเคราะห์ 99.4% ของบริษัท J.T. Baker สำหรับศึกษาผลกระบวนการของไอโอดินทองแดง
14. ไอرون(ทรี)คลอไนด์ (Iron (III) chloride, hexahydrate,  $\text{FeCl}_3 \cdot 6\text{H}_2\text{O}$ ) ชนิดเกรด วิเคราะห์ 99.6% ของบริษัท Carlo Erba สำหรับศึกษาผลกระบวนการของไอโอดินเหล็ก
15. นิกเกิลคลอไนด์ (Nickel chloride, hexahydrate ,  $\text{NiCl}_2 \cdot 6\text{H}_2\text{O}$  ) ชนิดเกรด วิเคราะห์ 99% ของบริษัท Carlo Erba สำหรับศึกษาผลกระบวนการของไอโอดินของนิกเกิล
16. ซิงค์คลอไนด์ (Zinc chloride ,  $\text{ZnCl}_2$ ) ชนิด เกรดวิเคราะห์ 98% ของบริษัท Carlo Erba สำหรับศึกษาผลกระบวนการของไอโอดินของสังกะสี
17. โซเดียมไซยาไนด์ (Sodium cyanide) ชนิด เกรดวิเคราะห์ 97% ของบริษัท Merck สำหรับหาปริมาณไซยาไนด์ในน้ำเสีย
18. สารละลายน้ำโพแทสเซียม โครเมต อินดิเคเตอร์ (Potassium chromate indicator solution) สำหรับการให้เท rheathabปริมาณคลอไนด์  
เตรียมโดยละลายน้ำโพแทสเซียมได้โครเมตของแมง (K<sub>2</sub>CrO<sub>4</sub>) 50 กรัม ในน้ำ 100 มิลลิลิตร เติมซิลเวอร์ไนเตรท (AgNO<sub>3</sub>) ความเข้มข้น 0.0250 นาโนมอล จนกระทั่งเริ่มมีการ ตกตะกอนสีแดงเล็กน้อย ตั้งทิ้งไว้อย่างน้อย 24 ชั่วโมง (ห้ามถูกแสง) และจึงนำไปกรองเอา ตะกอนออก ปรับปริมาตรของสารละลายน้ำหมัดเป็น 1000 มิลลิลิตร ด้วยน้ำที่ผ่านการทำจัด ไอโอดินแล้ว
19. สารละลายน้ำฟีนอฟราลีนอินดิเคเตอร์ ความเข้มข้น 10 กรัม ต่อ ลิตร Phenolphthalein indicator solution) สำหรับการให้เท rheathabปริมาณคลอไนด์

20. สารละลายนิquelเจอร์ในเตรทความเข้มข้น 0.0250 นอร์มอล (Siver nitrate solution) สำหรับการไฟเตรทหนาปิริมาณคลอไรด์

เตรียมโดยละลายนิquelเจอร์ในแทรท ( $\text{AgNO}_3$ ) 4.2473 กรัม ในขวดวัดปริมาตรขนาด 1 ลิตร เติมน้ำที่ผ่านการกำจัดไอกอนแล้วจนถึงขีดวัดปริมาตร เขย่าให้เข้ากัน

21. สารละลายนโซเดียมไฮดรอกไซด์ความเข้มข้น 10 กรัม ต่อ ลิตร (Sodium hydroxide solution ,  $\text{NaOH}$ ) ชนิด เกรดวิเคราะห์ 98% ของบริษัท Baker Analyzed สำหรับการไฟเตรทหนาปิริมาณคลอไรด์

22. พารา-ไฮดรอกซีบีโนไซคิออกไซด์ 5 มิลลิโมลาร์ (5mM p-hydroxybenzoic acid,  $\text{C}_7\text{H}_6\text{O}_3$ ) ชนิด เกรดวิเคราะห์ 99% ของบริษัท Fluka สำหรับเป็นเฟสเคลื่อนที่

เตรียมโดยละลายพารา-ไฮดรอกซีบีโนไซคิออกไซด์ 0.6906 กรัม ในขวดวัดปริมาตรขนาด 1 ลิตร ปรับพีเอชด้วยสารละลายน็อกซ์เพรสเซียมไฮดรอกไซด์ เป็น 8.5 เติมน้ำที่ผ่านการกำจัดไอกอนแล้วจนถึงขีดวัดปริมาตร เขย่าให้เข้ากัน นำไปกรองผ่านเมมเบรนกรองขนาด 0.45 ไมโครเมตร แล้วจึงนำไปใส่ภาชนะดูดโดยเครื่องไอลากาส

23. โพแทสเซียมไฮดรอกไซด์ (Potassium Hydroxide, KOH) ชนิดเกรดวิเคราะห์ 85% ของบริษัท Merck สำหรับใช้ปรับพีเอชของเฟสเคลื่อนที่

24. รีเจนดิซิม-ไดฟินิลคาร์บานาไชด์ (Sym-diphenylcarbazide ,  $\text{C}_{13}\text{H}_{14}\text{N}_4\text{O}$ ) ชนิด เกรดวิเคราะห์ 97% ของบริษัท Fluka

เตรียมโดยละลาย ซิม-ไดฟินิลคาร์บานาไชด์ (Sym-diphenylcarbazide) 100 มิลลิกรัม ใน 95% เอทิลอลลกօหօล์ ปริมาตร 50 มิลลิลิตร นำสารละลายนี้ได้ใส่ในขวดวัดปริมาตรขนาด 250 มิลลิลิตร เติม 10 % ของกรดซัลฟูริก ( $\text{H}_2\text{SO}_4$ ) จนถึงขีดวัดปริมาตร เขย่าให้เข้ากัน

25. 10% ของกรดซัลฟูริก (10% Sulfuric acid) สำหรับเตรียมรีเจนดิซิม-ไดฟินิลคาร์บานาไชด์

### 3.3 วิธีการทดลอง

#### 3.3.1 วิธีการวิเคราะห์หาชนิดและปริมาณของไอโอดินที่มีอยู่ในน้ำทึ้งจากการทดลองด้วยชุดโคโรเมียม

นำน้ำตัวอย่างปริมาตร 1 ลิตร มากรองด้วยกระดาษกรอง Whatman เบอร์ 42 เพื่อชัดสิ่งปนเปื้อน เช่น ลวดลายจากสารละลายก่อนการทดลองต่อไป

3.3.1.1 การวิเคราะห์หาปริมาณไอกอนของ ทองแดง เหล็ก nickel ตะกั่ว และสังกะสี ให้เครื่อง เโคเอกอส ทำการวัดการดูดกลืนแสงที่ความยาวคลื่นของธาตุที่ต้องการวิเคราะห์ แต่ละธาตุ และวัด hab ปริมาณเทียบกับกราฟมาตรฐานของธาตุนั้นๆ ถ้าความเข้มข้นของธาตุสูงเกินช่วงกราฟมาตรฐาน นำน้ำตัวอย่างมาเจือจากให้ออยู่ในช่วงของกราฟมาตรฐาน แล้วจึงนำไปวัดค่าการดูดกลืนแสง คำนวนกลับเป็นค่าความเข้มข้นของธาตุในตัวอย่างเริ่มต้น

#### 3.3.1.2 การวิเคราะห์ใชยาไนด์

การวิเคราะห์โดยใช้ไอกอนซีเลคทีฟอิเล็กโทรดของใชยาไนด์ นำน้ำตัวอย่างมาทำให้เจือจากให้ ความเข้มข้นอยู่ในช่วงของกราฟมาตรฐาน หาปริมาณโดยทำเทียบกับกราฟมาตรฐาน และคำนวนกลับเป็นค่าความเข้มข้นในสารละลายเริ่มต้น

#### 3.3.1.3 การวิเคราะห์โครเมต

การเติมรีเอเจนติม-ไดฟินิลคาร์บไชด์ เพื่อเกิดเป็นสารคอมเพล็กกับโครเมตที่ให้สี และวัดค่าการดูดกลืนแสงของสารละลายให้เครื่องยูวี-วี ไอ เอส ที่ความยาวคลื่น 542 นาโนเมตร ถ้าความเข้มข้นของโครเมตในสารละลายตัวอย่างสูงเกินกราฟมาตรฐาน ให้น้ำตัวอย่างมาเจือจากให้ออยู่ในช่วงของกราฟมาตรฐาน โดยทำการเจือจาก ก่อนการเติมรีเอเจนติม-ไดฟินิลคาร์บไชด์

#### 3.3.1.4 การวิเคราะห์ไนเตรท และ ชัลไฟต์

ทำการวิเคราะห์โดยใช้เครื่องไอกอนโครมาโตกราฟ นำน้ำตัวอย่างมาเจือจากให้ออยู่ในช่วงของกราฟมาตรฐาน ซึ่งการเจือจากจะใช้เฟสเคลื่อนที่ในการปรับปริมาตร จากนั้น นำน้ำตัวอย่าง

มากของผ่านเมมเบรนกรองขนาด 0.2 ไมโครเมตร จีดสารละลายน้ำตัวอย่างปริมาณตัวอย่างปริมาณตัวอย่าง 60 ไมโครเมตร เข้าเครื่องไอโอดินโคลามาติกภาพ และวัดค่าเป็นพื้นที่ของพื้น

### 3.3.1.5 การวิเคราะห์คลอไรด์

ทำการวิเคราะห์โดยการไฟเตอร์กับสารละลายน้ำซิลเวอร์ในเดรท โดยดูดสารละลายน้ำตัวอย่าง 5.00 มิลลิลิตร ใส่ในขวดรูปทรงพู่ เดินน้ำที่ผ่านการทำจัดไอโอดินแล้ว 10 มิลลิลิตร เขย่าให้เข้ากัน เดิมพื้นอฟฟาร์ลิน 2-3 หยด เดิมใช้เดิมไฮดรอกไซด์จนน้ำตัวอย่างเป็นสีเขียว เดิมโครเมตอินดิเคเตอร์ลงไป 2-3 หยด นำไปไฟเตอร์กับซิลเวอร์ในเดรทความเข้มข้น 0.0250 นอร์มอล ที่จุดยุติจะสังเกตุเห็นตะกอนเป็นซิลเวอร์โครเมตที่มีสีแดงอิฐ คำนวนหาค่าความเข้มข้นของคลอไรด์จากความเข้มข้นและปริมาณของซิลเวอร์ในเดรท

### 3.3.2 วิธีการศึกษาหาอัตราส่วนพอลิอิเล็กโทรไลต์ต่อโครเมตไอโอดิน

การศึกษาในส่วนนี้จะใช้ความเข้มข้นของโครเมตเป็น 350 มิลลิกรัมต่อลิตร ตลอดการทดลอง ซึ่งเป็นค่าเฉลี่ยของโครเมตที่พบในน้ำทิ้งจากการซับโครเมียม ที่ได้จากการทดลองในข้อ 3.3.1

#### 3.3.2.1 การศึกษาอัตราส่วนระหว่างพอลิอิเล็กโทรไลต์และโครเมตที่ 5/1

นำพอลิอิเล็กโทรไลต์ที่ทำให้บริสุทธิ์แล้ว ความเข้มข้น 0.5288 มิลลาร์ จำนวน 8.60 มิลลิลิตร ผสมกับสารละลายน้ำตัวอย่างปริมาณตัวอย่าง 1000.00 มิลลิกรัม ต่อ ลิตร ปริมาณตัวอย่าง 105.00 มิลลิลิตร เดินน้ำที่ผ่านการทำจัดไอโอดินแล้วจนได้ปริมาตรรวมทั้งหมดเป็น 300 มิลลิลิตร นำไป กวนทิ้งไว้ 1 ชั่วโมง เพื่อให้สารละลายน้ำตัวอย่างผสมเป็นเนื้อเดียวกัน จากนั้นนำสารละลายน้ำที่ได้ ใส่ในสเตอร์เชลล์ที่มีเมมเบรนกรองขนาด 10,000 ดาลตัน ควบคุมอุณหภูมิของสเตอร์เชลล์โดย แท่นอุ่นควบคุมอุณหภูมิที่ 30 องศาเซลเซียส ผ่านก๊าซไนโตรเจนที่ 60 ปอนด์ ต่อ ตารางนิ้ว เก็บเพื่อมีอุ่น ครั้งละ 25 มิลลิลิตร จำนวน 8 ครั้ง จึงหยุดผ่านก๊าซไนโตรเจน ปริมาณของรีเทนเนตที่เหลือในสเตอร์เชลล์เท่ากับ 100 มิลลิลิตร นำเพื่อมีอุ่น และรีเทนเนตที่ได้ทั้งหมดไปหา ความเข้มข้นของโครเมตโดยเครื่องยูวี-ไอ เอส ตามวิธีในข้อ 3.3.1.3 ความเข้มข้นของโครเมตที่ได้นำมาคำนวนหาค่าประสิทธิภาพการทำจัดโครเมตโดยพอลิอิเล็กโทรไลต์ และเปอร์เซ็นต์ เจ็คชัน โดยใช้สมการ (1)

3.3.2.2 การศึกษาอัตราส่วนระหว่างพอลิอิเล็กโตร์และคราเมตที่ 10/1

ทำเช่นเดียวกับการศึกษาอัตราส่วน 5/1 แต่ใช้ปริมาตรของพอลิอิเล็กโตร์เข้มข้น 0.5288 มิลาร์ ปริมาตร 17.1 มิลลิลิตร

3.3.2.3 การศึกษาอัตราส่วนระหว่างพอลิอิเล็กโตร์และคราเมตที่ 20/1

ทำเช่นเดียวกับการศึกษาในอัตราส่วน 5/1 แต่ใช้ปริมาตรของพอลิอิเล็กโตร์เข้มข้น 0.5288 มิลาร์ ปริมาตร 35.0 มิลลิลิตร

3.3.2.4 การศึกษาอัตราส่วนระหว่างพอลิอิเล็กโตร์และคราเมตที่ 30/1

ทำเช่นเดียวกับการศึกษาในอัตราส่วน 5/1 แต่ใช้ปริมาตรของพอลิอิเล็กโตร์ เข้มข้น 0.5288 มิลาร์ จำนวน 51.0 มิลลิลิตร

3.3.3 การศึกษาผลกราฟของแคทไอกอนที่มีต่อค่ารีเจ็คชันของคราเมตไอกอน การศึกษาในส่วนนี้ใช้ความเข้มข้นของคราเมตเป็น 350.00 มิลลิกรัม ต่อ ลิตร และใช้อัตราส่วนระหว่างพอลิอิเล็กโตร์และคราเมตที่ 20/1 ตลอดการทดลอง

3.3.3.1 การศึกษาผลกราฟของแคทไอกอนทองแดง

ทำการศึกษาผลกราฟโดยใช้ 3 ความเข้มข้น คือ 20.00, 4.00 และ 100.00 มิลลิกรัม ต่อ ลิตร โดยการนำสารละลายทองแดงความเข้มข้น 1000 มิลลิกรัม ต่อ ลิตร ปริมาตร 6.00, 12.00 และ 30.00 มิลลิลิตร ตามลำดับ ในแต่ละระดับความเข้มข้นที่จะศึกษา มาผสานกับพอลิอิเล็กโตร์ที่ผ่านการทำให้บริสุทธิ์แล้วความเข้มข้น 0.5288 มิลาร์ จำนวน 35.00 มิลลิลิตร และสารละลายคราเมตความเข้มข้น 1000.00 มิลลิกรัม ต่อ ลิตร ปริมาตร 105.00 มิลลิลิตร เดิมน้ำที่ผ่านการทำจัดไอกอนแล้วจนได้ปริมาตรรวมทั้งหมดเป็น 300 มิลลิลิตร จากนั้น ศึกษาประสิทธิภาพการทำจัดคราเมตโดยพอลิอิเล็กโตร์ เช่นเดียวกับวิธีในข้อ 3.3.2.1 ทุกขั้นตอน การหาปริมาณทองแดงในเพอมิเอกและรีเทนเนต ทำเช่นเดียวกับการหาปริมาณทองแดงใน ข้อ 3.3.1.1

### 3.3.3.2 การศึกษาผลกระทบของแคทไอกอนเนลลิก

ทำเข้มเดียวกับการศึกษาถึงผลกระทบของทองแดง และการหาปริมาณเหล็กในเพื่อ米เชล  
และวีเทนเนต ทำเข้มเดียวกับการหาปริมาณเหล็กในข้อ 3.3.1.1

### 3.3.3.3 การศึกษาผลกระทบทางทบของแอทไอกอนนิเกิล

ทำเงินเดียวกับการศึกษาถึงผลกระทบของทองแดง และการหาปริมาณนิเกลในเพลเมิร์ค และวีเทนเนต ทำเงินเดียวกับการหาปริมาณนิเกลในข้อ 3.3.1.1

### 3.3.3.4 การศึกษาผลกระทบของแก๊สไฮดรอเจนสัมภาระ

ทำเช่นเดียวกับการศึกษาถึงผลกระทบของทองแดง และการหาปริมาณสังกะสีในเพื่อminetoและรีเทนเกต ทำเช่นเดียวกับการหาปริมาณสังกะสีในข้อ 3.3.1.1

3.3.4 การศึกษาผลกราฟของแอนไซโอนที่มีต่อค่ารีเจ็คชันของโครเมต์ไออกอน การศึกษาในส่วนนี้ได้ใช้ความเข้มข้นของโครเมตเป็น 350.00 มิลลิกรัม ต่อ ลิตร และส่วนระหว่างพอลิอิเล็กโทรไลต์และโครเมตที่ 20/1 ทดลองการทดลอง

#### 3.3.4.1 การศึกษาผลกระทบของแนวโน้มเศรษฐกิจโลกในประเทศไทย

ทำการศึกษาผลกระทบโดยใช้ 3 ความเข้มข้น คือ 1000.00 , 3000.00 และ 6000.00 มิลลิกรัม ต่อ ลิตร ทำโดยละลายโซเดียมคลอไรด์หนัก 0.4946 กรัม , 1.4836 กรัม และ 2.9672 กรัม ตามลำดับ ในน้ำที่ผ่านการทำจัดไอกอนแล้วเพื่อใช้ปรับปริมาตร นำมาผสมกับพอลิอีเล็กโตรไรต์ที่ผ่านการทำให้บริสุทธิ์แล้วความเข้มข้น 0.5288 มิลลาร์ จำนวน 35.00 มิลลิลิตร และสารละลายน้ำมีความเข้มข้น 1000.00 มิลลิกรัม ต่อ ลิตร ปริมาตร 105.00 มิลลิลิตร เติมน้ำที่ผ่านการทำจัดไอกอนแล้วจนได้ปริมาตรรวมทั้งหมดเป็น 300 มิลลิลิตร จากนั้น ศึกษาถึงประสิทธิภาพการกำจัดโครเมตโดยพอลิอีเล็กโตรไรต์ เช่นเดียวกับวิธีในข้อ 3.3.2.1 การหาปริมาณคลอไรด์ในเพอมิเอกและรีเทนเกต ทำเช่นเดียวกับการหาปริมาณคลอไรด์ในข้อ 3.3.1.5

#### 3.3.4.2 การศึกษาผลกระทบของแนวโน้มในเศรษฐกิจ

ทำเงินเดียวกับการศึกษาผลกระทบของคลอร์ด โดยใช้ความเข้มข้น 1000.00 ,3000.00 และ 6000.00 มิลลิกรัม ต่อ ลิตร โดยละลายโดยเดี่ยมในเตรา หนัก 0.4113 กรัม 1.2340 กรัม

และ 2.4680 กรัม ตามลำดับ การหาปริมาณในเตราที่เพอเมิร์กและรีเทนเกต ทำเช่นเดียวกับการหาปริมาณในเตราท ในข้อ 3.3.1.4

#### 3.3.4.3 การศึกษาผลกระบวนการแอนไออกอนชัลเฟต

ทำเช่นเดียวกับการศึกษาผลกระบวนการคลอไวร์ด ส่วนในระดับความเข้มข้น 1000.00 , 3000.00 และ 6000.00 มิลลิกรัม ต่อ ลิตร ใช้ไซเดียมชัลเฟต หนัก 0.4436 กรัม 1.3308 กรัม และ 2.6615 กรัม ตามลำดับ การหาปริมาณชัลเฟตในเพอเมิร์กและรีเทนเกต ทำเช่นเดียวกับการหาปริมาณชัลเฟตในข้อ 3.3.1.4

#### 3.3.5 การศึกษาน้ำเสียจากโรงงานซุบโครมียม

นำน้ำทึ้งจากโรงงานซุบโครมียมมาวิเคราะห์ทางคปะกอบต่างๆ คือ โครมेट ทองแดง เหล็ก นิกเกิล สังกะสี คลอไวร์ด ในเตรา และชัลเฟต ตามวิธีในข้อ 3.3.1 ใช้ค่าความเข้มข้นของโครมेटที่ได้นี้ มาผสานกับพอลิอิเล็กโตรไอล์ต โดยให้มีพอลิอิเล็กโตรไอล์ตต่อโครมे�ตในน้ำทึ้งในอัตราส่วน 20/1 (โดยมวล) นำไปกวานให้เข้ากันประมาณ 1 ชั่วโมง แล้วนำมาใส่ในสเตอร์เซลล์ ที่มีเมมเบรนกรองขนาด 10,000 ดาลตัน ปริมาตร 300 มิลลิลิตร นำสเตอร์เซลล์ไปแช่ในอ่างควบคุมอุณหภูมิ ที่ 30 องศาเซลเซียส ผ่านก๊าซในตอรเจนที่ 60 ปอนด์ ต่อตารางนิ้ว เก็บเพอเมิร์กและ 100 มิลลิลิตร ใส่ในขวดวัดปริมาตร 100 มล. ต่อเนื่องกันจนครบ 2 ขวด จึงหยุดผ่านก๊าซในตอรเจน จะมีรีเทนเกตเหลืออยู่ในสเตอร์เซลล์ 100 มิลลิลิตร จากนั้นเติมน้ำทึ้งจากโรงงานซุบโครมียมเข้าไปในสเตอร์เซลล์อีก 200 มิลลิลิตร ทำอัตราพิวเตอร์ชั้นที่ 4 ไซเดล นำเพอเมิร์ก และรีเทนเกต ทั้งหมดไปหาค่าประสิทธิภาพการกำจัดโครมे�ตของพอลิอิเล็กโตรไอล์ต ตามวิธีในข้อ 3.3.2.1 และหาปริมาณของ ทองแดง เหล็ก นิกเกิล สังกะสี คลอไวร์ด ในเตรา และชัลเฟต ใช้วิธีการตามข้อ 3.3.1

จุฬาลงกรณ์มหาวิทยาลัย

## บทที่ 4

### ผลการทดลองและวิจารณ์

#### 4.1 การวิเคราะห์หาชนิดและปริมาณไอคอนที่มีอยู่ในน้ำทึ้งจากโรงงานชูบ โครเมียม

ชนิดของไอคอนที่ทำการวิเคราะห์ได้เลือกจากการรายงานที่มีการตีพิมพ์เกี่ยวกับข้อคงงานการชูบโลหะ ในงานวิจัยนี้ได้กำหนดชนิดของอนที่ศึกษาเป็นไอคอนที่พบในตัวอย่างนำทึ้งของโรงงานคือ โครเมต ทองแดง เหล็ก นิกели ตะกั่ว สังกะสี คลอไรด์ ไซยาไนด์ ในเดรา และ ชัลเฟต ตัวอย่างจากโรงงานชูบโครเมียม 4 โรงงาน ถูกนำมาวิเคราะห์หาปริมาณ โดยใช้เทคนิคต่างๆ แต่ก่อนการวิเคราะห์จะต้องกรองตัวอย่างเพื่อแยกสิ่งเจือปนอื่นที่แขวนลอยอยู่ในน้ำตัวอย่างออกก่อน ผลการวิเคราะห์ดังแสดงในตารางที่ 4.1

ตารางที่ 4.1 แสดงค่าความเข้มข้นของไอคอนต่างๆ ในน้ำทึ้งจากการโรงงานชูบโครเมียม

ไอคอน	ความเข้มข้น (มก.ต่อ ลิตร)				
	โรงงานที่1	โรงงานที่2	โรงงานที่3	โรงงานที่4	ค่าเฉลี่ย
โครเมต	599.88	284.19	407.88	187.38	362.58
ทองแดง	14.64	1.51	7.99	0.18	6.08
เหล็ก	39.92	0.75	5.27	0.00	11.49
นิกели	123.70	0.60	4.80	1.50	32.65
ตะกั่ว	nd	nd	nd	nd	nd
สังกะสี	47.65	5.84	11.30	0.57	16.34
คลอไรด์	447.45	4139.46	1346.39	51.87	1496.29
ไซยาไนด์	0.97	0.89	1.01	0.62	0.88
ในเดรา	8.70	76.83	138.14	26.57	62.56
ชัลเฟต	245.05	149.93	267.71	132.05	198.68
pH	2.49	5.97	3.56	6.19	4.56

nd : ค่าที่วัดได้ต่ำกว่าขีดจำกัดของการตรวจวัด

ผลการวิเคราะห์แสดงค่า pH ของน้ำทึบของทั้ง 4 โรงงาน มีความเป็นกรดอยู่ในช่วง 2.49 - 6.19 คิดเป็นค่าเฉลี่ยเท่ากับ 4.56 ปริมาณโครเมต์ไอออนที่พบในแต่ละโรงงานมีความแตกต่างกันมากอยู่ในช่วง 187.38 - 599.88 มก. ต่อ ลิตร คิดเป็นค่าเฉลี่ย 362.58 มก. ต่อ ลิตร โดยโรงงานที่ 1 มีปริมาณโครเมตสูงสุด และโรงงานที่ 4 มีโครเมตต่ำสุด

ผลการวิเคราะห์แคทไอออนแสดงว่า แคทไอออนชนิดเดียวกันมีปริมาณที่พบแตกต่างกันมากระหว่างโรงงาน คือ ทองแดงอยู่ในช่วง 0.18 - 14.65 มก.ต่อ ลิตร โดยคิดเป็นค่าเฉลี่ยได้ 6.08 มก.ต่อ ลิตร ปริมาณเหล็กที่วิเคราะห์ได้อยู่ในช่วง 0 - 40 มก. ต่อ ลิตร โดยโรงงานที่ 1 มีปริมาณเหล็กสูงสุด ปริมาณนิเกลที่พบมีความแตกต่างกันมาก เช่น กันอยู่ในช่วง 0.60 - 123.70 มก.ต่อ ลิตร คิดเป็นค่าเฉลี่ยเท่ากับ 32.65 มก.ต่อ ลิตร โรงงานที่ 1 มีปริมาณนิเกลสูงสุด ผลการวิเคราะห์ตะกั่วมีค่าต่ำกว่าขีดจำกัดของการตรวจวัดด้วยเครื่อง เอ เอส แสดงว่าโรงงานซุบโครเมียมไม่มีการใช้สารตะกั่วในโรงงาน และการวิเคราะห์แคทไอออนสังกะสีได้ค่าความเข้มข้นอยู่ในช่วง 0.57 - 47.65 มก.ต่อ ลิตร คิดเป็นค่าเฉลี่ยได้เท่ากับ 16.34 มก.ต่อ ลิตร และโรงงานที่ 1 มีปริมาณสังกะสีสูงสุด

ชนิดของแอนไอกอนที่กำหนดเพื่อหาปริมาณ คือ คลอไรด์ ไซยาไนด์ ในเตรา และ ชัลเฟต ผลการวิเคราะห์แอนไอกอนในน้ำทึบพบ คลอไรด์ ไซยาไนด์ ในเตรา และ ชัลเฟต ค่าความเข้มข้นของคลอไรด์ไอกอนอยู่ระหว่าง 51.87 - 4139.46 มก.ต่อ ลิตร และมีค่าเฉลี่ยคือ 1496.29 มก.ต่อ ลิตร โดยโรงงานที่ 2 มีคลอไรด์ไอกอนสูงสุด แอนไอกอนไซยาไนด์อยู่ในช่วง 0.62 - 1.01 มก.ต่อ ลิตร คิดเป็นค่าเฉลี่ย 0.88 มก.ต่อ ลิตร เป็นความเข้มข้นน้อยมากเมื่อเทียบกับแอนไอกอนตัวอื่นๆ แสดงว่าไซยาไนด์ไม่ได้เป็นส่วนหนึ่งของกระบวนการซุบ ค่าความเข้มข้นของไอกอนที่พบอยู่ระหว่าง 8.70 - 138.14 มก.ต่อ ลิตร และมีค่าเฉลี่ยคือ 62.56 มก.ต่อ ลิตร โดยโรงงานที่ 3 มีค่าสูงสุด ความเข้มข้นของชัลเฟตไอกอนมีค่าอยู่ระหว่าง 132.05 - 267.71 มก.ต่อ ลิตร คิดเป็นค่าเฉลี่ย 198.68 มก.ต่อ ลิตร โรงงานที่ 3 และโรงงานที่ 1 มีค่าสูงเกิน 200 มก. ต่อ ลิตร

ผลวิเคราะห์แสดงว่า โรงงานแต่ละโรงมีการปล่อยแคทไอกอนและแอนไอกอนแตกต่างกันมาก ผลที่ได้ยังแสดงว่าโรงงานซุบทุกโรงไม่มีสารตะกั่ว และไม่ได้ใช้สารไซยาไนด์ ดังนั้น การทดลองเพื่อศึกษาผลกระทบของไอกอนจึงไม่รวมไอกอนของตะกั่วและไซยาไนด์เข้าไว้ในการทดลอง และใช้ค่าเฉลี่ยของแต่ละไอกอนเป็นพื้นฐานเพื่อกำหนดความเข้มข้นเริ่มต้นเพื่อการทดลองหาผลกระทบ

#### 4.2 การศึกษาอัตราส่วนพอลิอิเล็กตรอล์ต่อครามetoไอโอน

การทดลองได้ใช้น้ำเสียสังเคราะห์มีครามetoเข้มข้น 350 มก. ต่อลิตร ใช้อัตราส่วนของพอลิอิเล็กตรอล์ต่อครามetoที่ 5/1, 10/1, 20/1 และ 30/1 เพื่อหาอัตราส่วนของพอลิอิเล็กตรอล์ที่จับกับครามetoได้มากสุดและเด็ดขาดของมาสูเพอมิเอกท์สุด ผลการทดลองรายงานเป็นความเข้มข้นของครามetoไอโอนในเพอมิเอก ในรีเทนเกต และคำนวนหาเปอร์เซ็นต์รีเจ็คชันมีค่าสูง แสดงว่าเมมเบรนจับครามetoได้อย่างมีประสิทธิภาพ) ดังแสดงในรูป 4.1 ผลที่ได้แสดงว่า เปอร์เซ็นต์รีเจ็คชันเพิ่มขึ้นตามอัตราส่วนของพอลิอิเล็กตรอล์ที่เพิ่มขึ้น และความเข้มข้นของครามetoในเพอมิเอกลดลงเมื่ออัตราส่วนเพิ่มขึ้น เมื่ออัตราส่วนเท่ากับหรือมากกว่า 10/1 ผลที่ได้แสดงว่ามากกว่า 99% ของครามetoถูกจับไว้ไม่อาจเด็ดขาดผ่านเมมเบรน

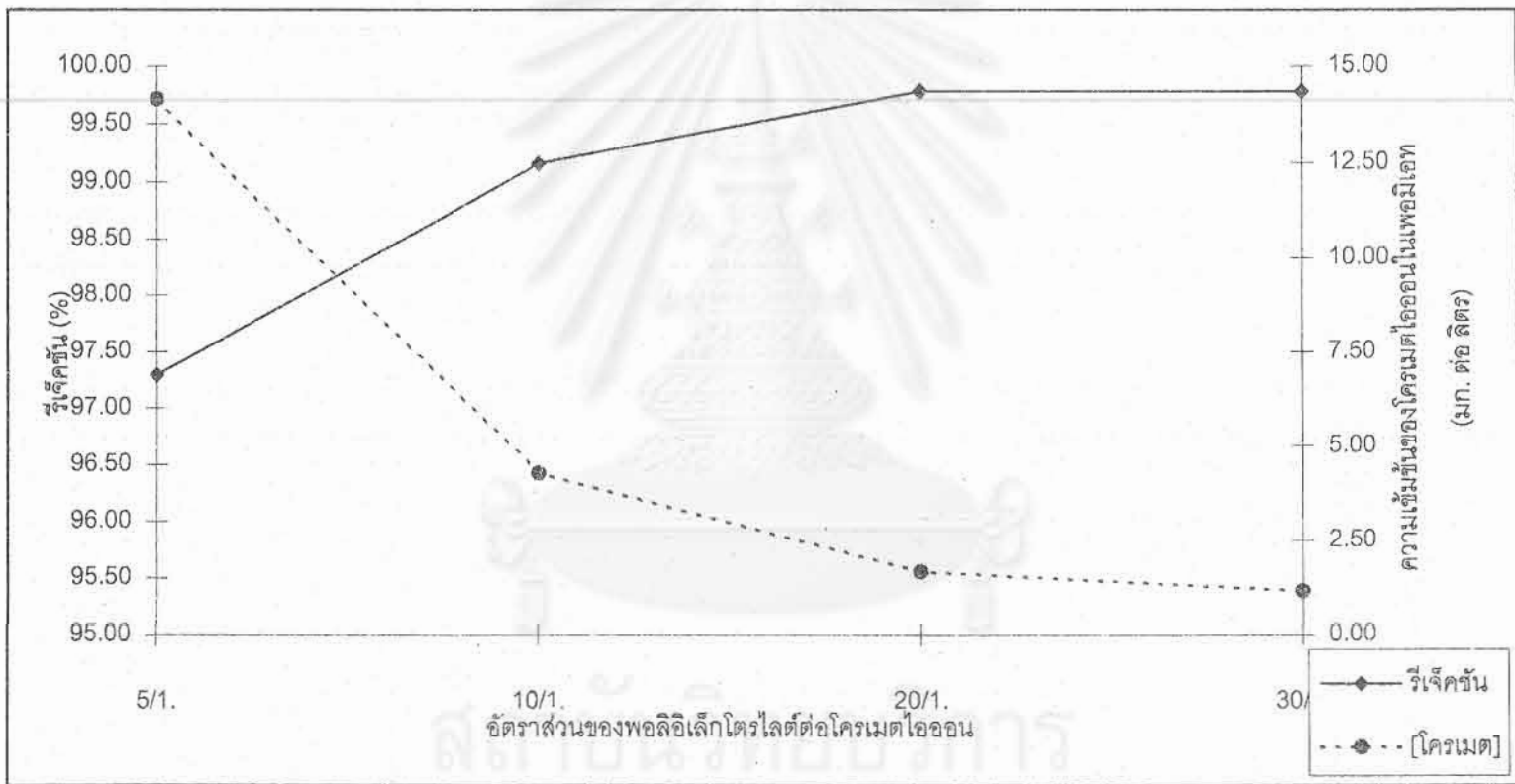
อัตราส่วนพอลิอิเล็กตรอล์ต่อครามetoไอโอนที่ 20/1 จึงถูกเลือกใช้เป็นอัตราส่วนที่เหมาะสมในการศึกษาขั้นต่อไป ที่อัตราส่วนนี้ให้ค่ารีเจ็คชัน 99.78% มีครามetoไอโอนในเพอมิเอก 1.65 มก. ต่อลิตร นอกจากนี้ ยังมีพอลิอิเล็กตรอล์เกินพอยท์ซีกษาผลกราฟของไอโอนที่มีต่อประสิทธิภาพการกำจัดครามetoไอโอน

#### 4.3 การศึกษาผลกราฟของแคทไอโอนต่อค่ารีเจ็คชันของครามeto

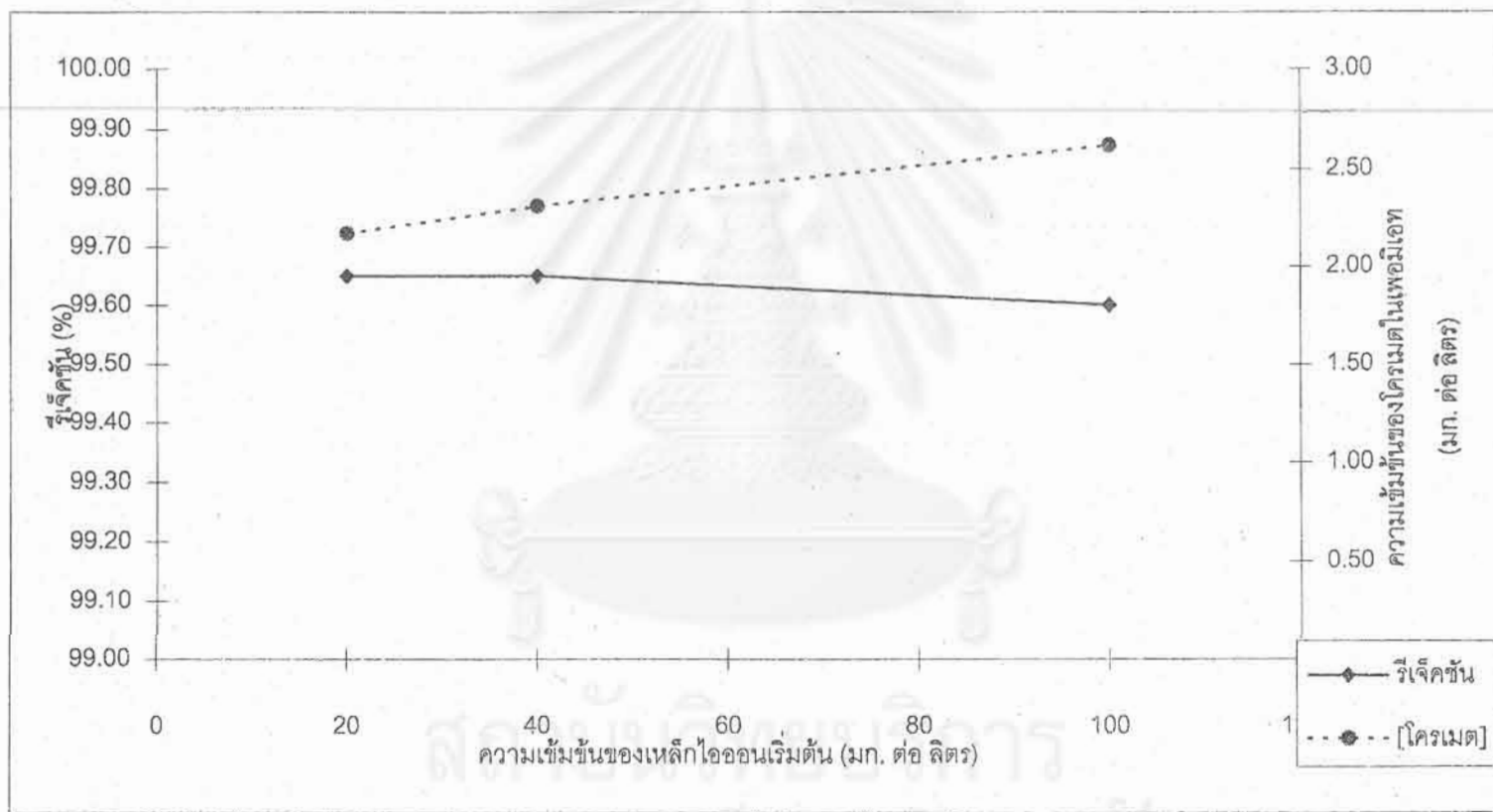
##### 4.3.1 การศึกษาผลกราฟของแคทไอโอนของแตง

การทดลองได้ใช้น้ำเสียสังเคราะห์ที่มีความเข้มข้นของครามetoไอโอน 350 มก. ต่อลิตร ใช้อัตราส่วนของพอลิอิเล็กตรอล์ต่อครามetoไอโอน 20/1 และเปลี่ยนค่าความเข้มข้นของทางแตงในน้ำเสียสังเคราะห์เป็น 19.31, 39.48, และ 99.81 มก. ต่อลิตร ผลการทดลองรายงานเป็นความเข้มข้นของครามetoในเพอมิเอก ในรีเทนเกต และหาเปอร์เซ็นต์รีเจ็คชันลัมพันธ์กับความเข้มข้นของทางแตง ได้แสดงเป็นกราฟในรูปที่ 4.2 ผลที่ได้แสดงว่า การเพิ่มปริมาณไอโอนทางแตงทุกความเข้มข้นไม่ทำให้เปอร์เซ็นต์รีเจ็คชัน ของครามeto เปลี่ยนแปลงหรือลดลง

เมื่อนำค่ารีเจ็คชันของครามetoไอโอนที่ได้นี้ ไปริเคราะห์ข้อมูลทางสถิติโดยใช้คอมพิวเตอร์ และใช้โปรแกรมสำเร็จรูป เอส พีเอส เอส (Statistic package for social science) ด้วยวิธีการวิเคราะห์ความแปรปรวนจำแนกทางเดียว (One-way analysis of variance) พบว่า ค่ารีเจ็คชันของครามetoไอโอนที่มีไอโอนทางแตงอยู่ด้วยทั้ง 3 สารละลาย ไม่แตกต่างกันที่ระดับ



รูปที่ 4.1 อัตราส่วนของพอดิจิลิกไทร์ไลต์ต่อครามเมตท์ที่มีผลต่อการกำจัดครามเมตท์ในช่วงเวลา 5/1. ถึง 30/1.



รูปที่ 4.2 ผลกระทบของไอกอนทองแดงในน้ำเสียสังเคราะห์ที่มีค่ารีเจ็คชันของโครามิตไอกอน

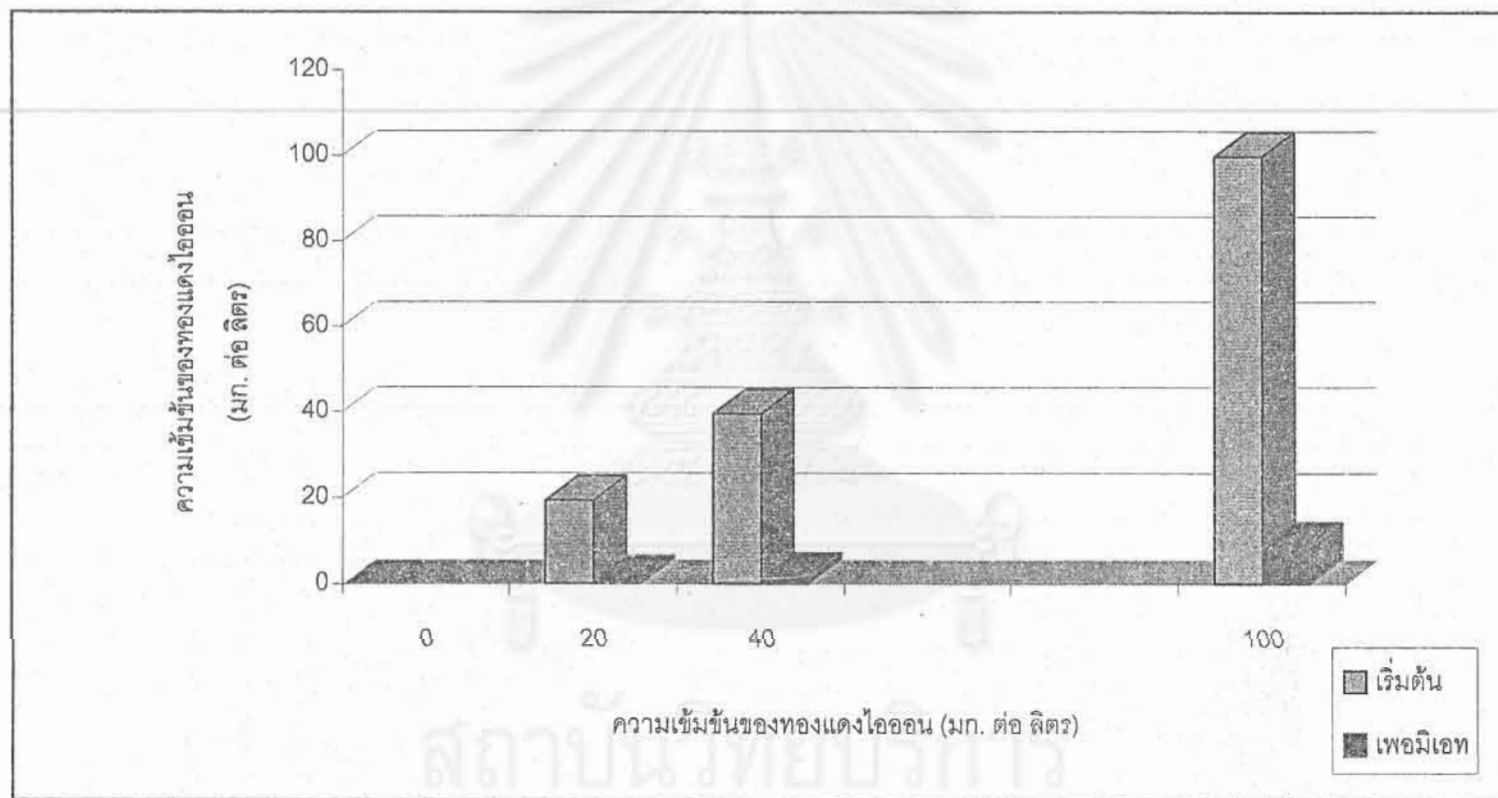
ความเรื่อ漫ทางสูง 99.5 และเมื่อเปรียบเทียบเบอร์เซ็นต์รีเจ็คชันที่ได้นับค่ารีเจ็คชันของโครเมต ไอโอนจากสารละลายที่ไม่มีไอโอนทองแดง(เปรียบกับผลการทดลองหัวข้อ 4.2 ที่อัตราส่วน 20/1 ให้ค่ารีเจ็คชัน 99.78%) ผลที่ได้มีแตกต่างกันที่ระดับความเข้มข้นเดียว กันนี้ แสดงให้เห็นว่า ไอโอนทองแดงที่ระดับความเข้มข้นดังกล่าวนี้ ไม่มีผลกระทบต่อค่ารีเจ็คชันของโครเมต ไอโอน

ผลการทดลองหาโครเมตไอโอนในเพอมิเอก แสดงว่า การเพิ่มความเข้มข้นของทองแดง ไม่ทำให้โครเมตในเพอมิเอกเพิ่มขึ้น เมื่อคิดค่าเฉลี่ยความเข้มข้นของโครเมตไอโอนที่ได้จากทุกความเข้มข้นของไอโอนทองแดง มีค่าเฉลี่ย 2.36 มก. ต่อลิตร ค่านี้สูงกว่าผลการทดลองที่ไม่มีไอโอนทองแดงเล็กน้อย (เปรียบกับผลการทดลองหัวข้อ 4.2 ที่อัตราส่วน 20/1 ให้โครเมตในเพอมิเอก 1.65 มก. ต่อลิตร)

ผลการหาปริมาณไอโอนทองแดงในเพอมิเอก ดังแสดงในรูปที่ 4.3 เปรียบเทียบผลทองแดงในเพอมิเอกกับไอโอนทองแดงที่ใส่เข้าไปในสเตอร์เซลล์ก่อนการทำอัลตราไฟลเตอร์ชั้น พบร้า มีไอโอนทองแดงในเพอมิเอกเพิ่มขึ้นน้อย โดยเฉลี่ยประมาณ 1.65-2.19 % และ 5.72% เมื่อเติมไอโอนทองแดงลงไป 20-40 และ 100 มก. ต่อลิตร ตามลำดับ เป็นที่สังเกตว่าเมื่อความเข้มข้นของทองแดงสูงเกิน 40 มก. ต่อลิตร จะเกิดตะกอนของคอปเปอร์โครเมต ( $\text{CuCrO}_4$ )



ตะกอนเพิ่มมากขึ้นเมื่อตัวทำละลายด้านรีเทนเนตลดลง ตะกอนที่เกิดขึ้นอาจมีผลกระทบต่อประสิทธิภาพของเมมเบรน อาจทำให้เมมเบรนเกิดการอุดตัน และทำให้อัตราการกรองลดลง และใช้เวลาในการกรองเพิ่มมากขึ้น แต่ผลการทดลองที่ได้ แสดงว่าตะกอนที่เกิดจากไอโอนทองแดง 20 - 100 มก. ต่อลิตร ไม่ทำให้ค่ารีเจ็คชันต่างกันอย่างมีนัยสำคัญ และเวลาที่ใช้กรองโดยเฉลี่ย 114 นาที (ค่าเบี่ยงเบน 1.5%) เมื่อไม่มีไอโอนทองแดงเข้มข้นเป็น 20 - 100 มก. ต่อลิตร ไม่แตกต่างกันอย่างมีนัยสำคัญเท่นกัน นั่นคือตะกอนที่เกิดขึ้นไม่มีผลกระทบต่อประสิทธิภาพของอัลตราไฟลเตอร์ชั้น



รูปที่ 4.3 ปริมาณไอก้อนหงองแดงก่อนและหลังผ่านเมมเบรนอัลตราฟิลเตอร์ชั้น

### 4.3.2 การศึกษาผลกระบวนการของแคฟไอโอกอนเหล็ก

การทดลองได้ให้น้ำเสียสังเคราะห์ที่มีความเข้มข้นของโครเมตไฮโอดอน 350 มก.ต่อลิตร ใช้อัตราส่วนของพอลิอีเล็กโทรไลต์ต่อโครเมตไฮโอดอนเป็น 20/1 และเปลี่ยนค่าความเข้มข้นของเหล็กในน้ำเสียสังเคราะห์เป็น 18.98, 37.38 และ 101.81 มก. ต่อลิตร ผลการทดลองหาเป็นค่าเฉลี่ยความเข้มข้นของโครเมตไฮโอดอน ในเพอมิเอก และเบอร์เรนต์รีเจ็คชัน ดังแสดงในรูปที่ 4.4

ผลที่ได้แสดงว่า ปริมาณไฮโอกอนเหล็กที่เพิ่มขึ้น 18.98, 37.38 และ 101.81 มก. ต่อลิตร ไม่มีผลกระทบต่อเบอร์เรนต์รีเจ็คชันของโครเมต และค่าเฉลี่ยดีกว่า 99.5%รีเจ็คชัน เมื่อนำค่ารีเจ็คชันที่ได้นี้ไปวิเคราะห์ข้อมูลทางสถิติ เอสพีเอสเอส ด้วยวิธีการวิเคราะห์ความแปรปรวนจำแนกทางเดียว พบว่าค่ารีเจ็คชันของโครเมตไฮโอดอนที่มีไฮโอกอนเหล็กอยู่ด้วยทั้ง 3 สารละลายไม่แตกต่างกันที่ระดับความเชื่อมั่นทางสถิติ 99.5 แต่เมื่อเปรียบเทียบค่ารีเจ็คชันที่ได้นี้กับค่ารีเจ็คชันของโครเมตไฮโอดอนจากสารละลายที่ไม่มีไฮโอกอนเหล็ก (หัวขอ 4.2) ผลที่ได้คือ ที่ความเข้มข้นของไฮโอกอนเหล็กเป็น 18.98 และ 37.38 มก.ต่อลิตร ค่ารีเจ็คชันไม่แตกต่างกันที่ระดับความเชื่อมั่นนี้ แสดงว่า ไฮโอกอนเหล็กที่ความเข้มข้นดังกล่าวไม่มีผลกระทบต่อค่ารีเจ็คชันของโครเมต แต่ที่ความเข้มข้นของไฮโอกอนเหล็กเป็น 101.81 มก.ต่อลิตร แสดงความแตกต่างแต่อย่างใดไม่มีนัยสำคัญ นั่นคือ ปริมาณของเหล็กที่เติมลงไปไม่มีผลกระทบต่อค่ารีเจ็คชันของเมมเบรน

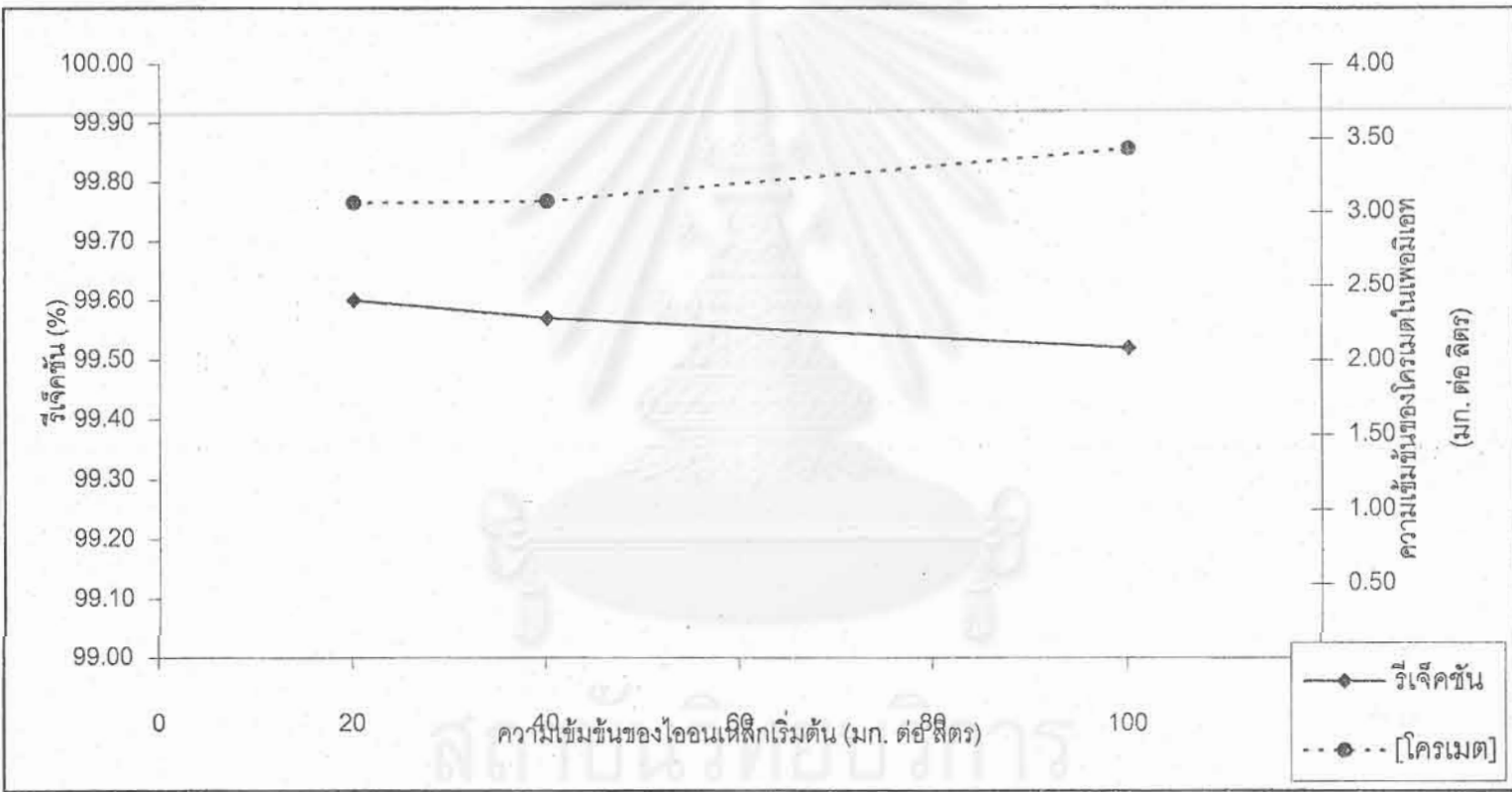
ผลการทดลองหาไฮโอกอนของโครเมตในเพอมิเอก พบว่ามีค่าเฉลี่ย 3.06 และ 3.43 มก. ต่อลิตร เมื่อสารละลายมีไฮโอกอนเหล็ก 18.98 - 37.38 และ 101.81 มก. ต่อลิตร ตามลำดับ แสดงว่า ไฮโอกอนเหล็กที่เพิ่มขึ้นมีผลกระทบต่อการเพิ่มของโครเมตไฮโอดอนน้อยมาก

การหาปริมาณไฮโอกอนเหล็กในเพอมิเอก เทียบกับความเข้มข้นของเหล็กเริ่มต้น ดังแสดงในรูปที่ 4.5 พบว่ามีไฮโอกอนเหล็กน้อยมากในเพอมิเอก โดยเฉลี่ยมีค่าต่ำกว่า 0.12 มก. ต่อลิตร เมื่อเติมไฮโอกอนเหล็กลงไป 18.98 - 37.38 มก. ต่อลิตร และ 2.96 มก. ต่อลิตร เมื่อเติมไฮโอกอนเหล็กลงไป 101.81 มก. ต่อลิตร เป็นที่สังเกตว่า เมื่อความเข้มข้นของเหล็กสูงขึ้น

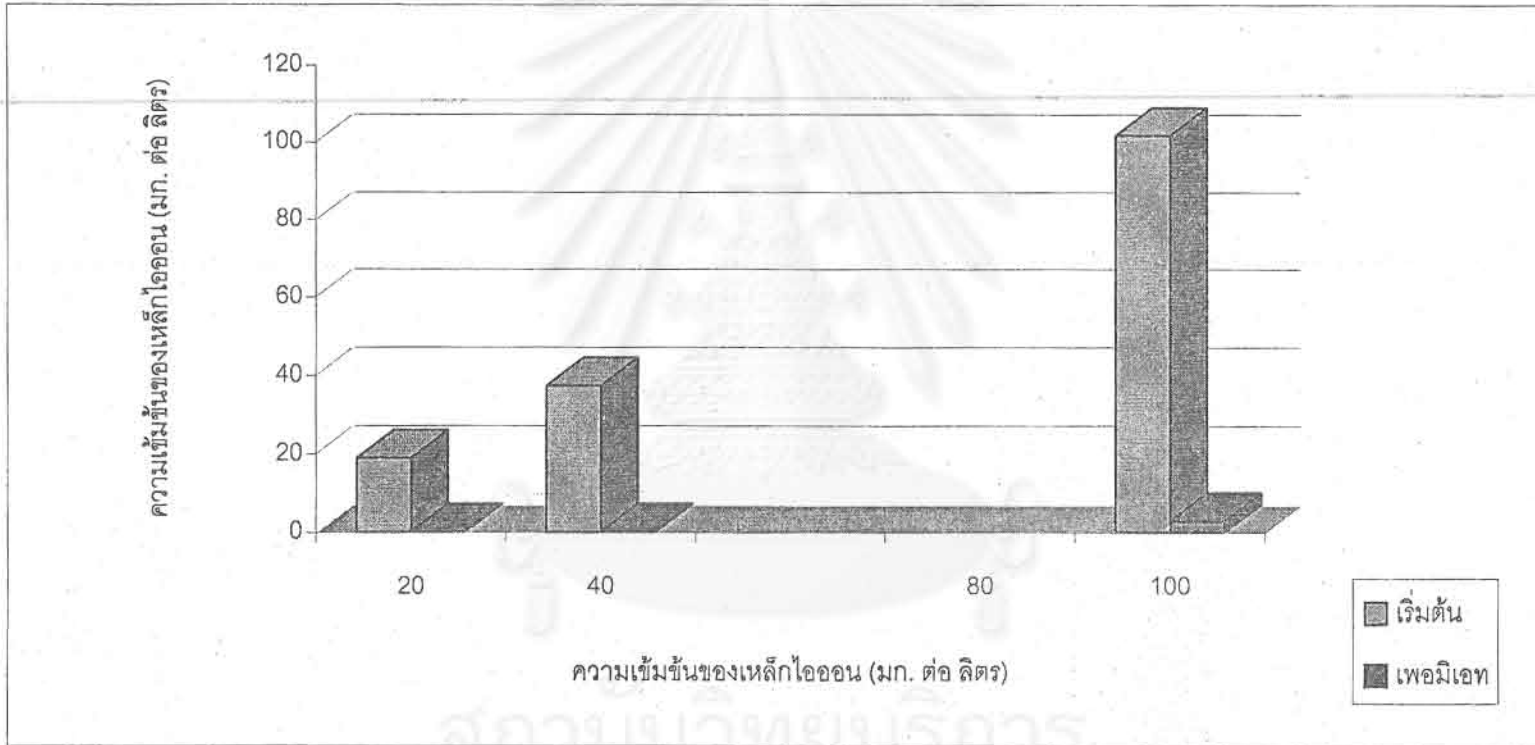
หรือปริมาตรของสารละลายรีเทนเทงดวดขึ้น จะสังเกตเห็นตะกอนสีแดงอิฐเกิดขึ้น ซึ่งตะกอนที่เกิดขึ้นนี้เกิดจากไฮโอกอนของโครเมตกับเหล็ก



ตะกอนเพิ่มมากขึ้นเมื่อปริมาตรของสารละลายรีเทนเทงดวดลง ตะกอนที่เกิดขึ้นถ้ามีมากๆจะมีผลกระทบต่อประสิทธิภาพของเมมเบรน อาจทำให้เกิดการอุดตันและทำให้ฟลักซ์ของอัลตรา



รูปที่ 4.4 ผลการทดสอบของไอโอดินเหล็กในน้ำเสียสังเคราะห์ที่มีผลต่อค่ารjeckchanของครอเมต์ไอโอดิน



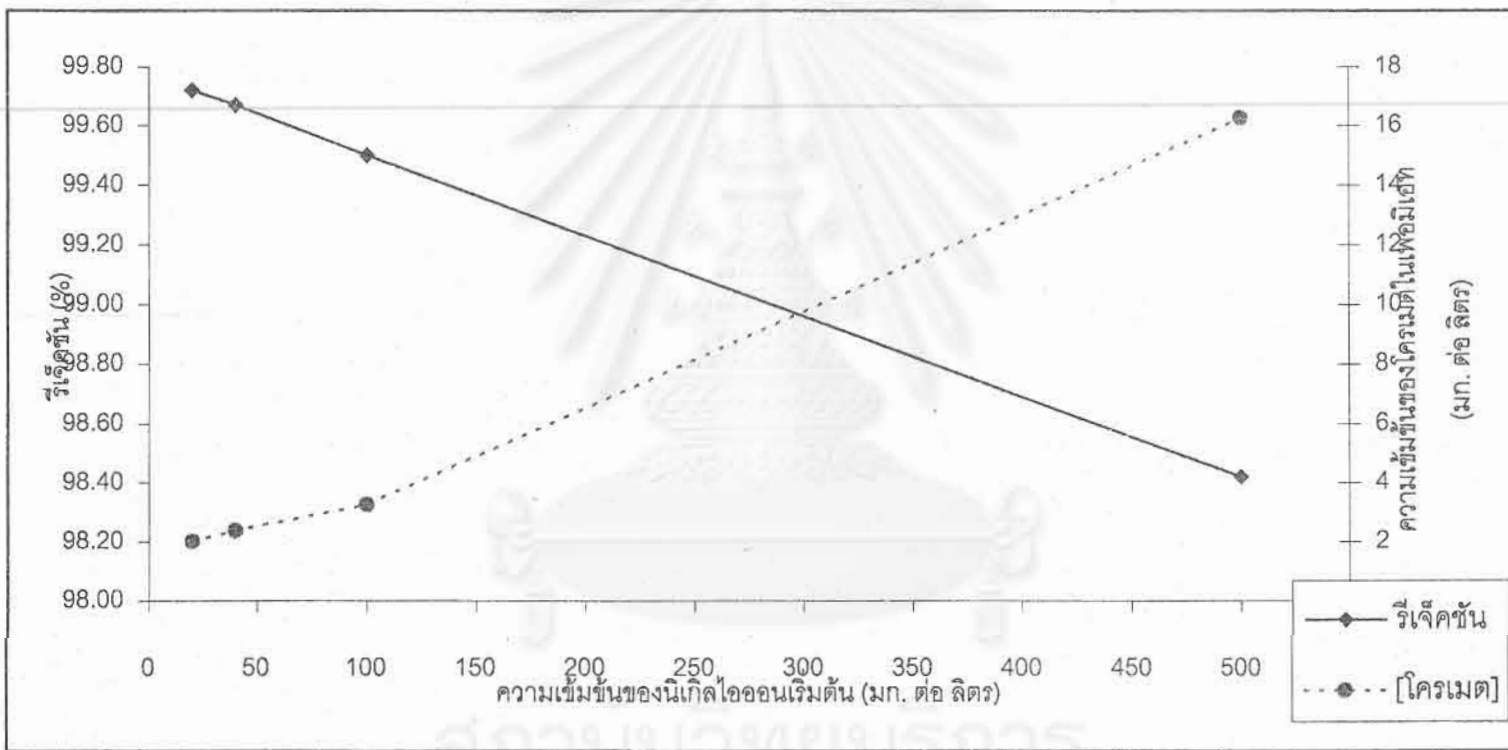
รูปที่ 4.5 ปริมาณไฮดรอกซิออกอนเพล็กก์ก่อนและหลังผ่านเมมเบรนอัลตราฟิลเตอร์ชั้น

พิลเครชั่นลดลง แต่อย่างไรก็ตามที่สภาวะที่ทดลอง แสดงว่าตะกอนทำให้ค่ารีเจ็คชันของครามे�ตไอกอนลดลงน้อยมาก และเวลาที่ให้เพอมิເಥปرمิต 200 มล. มีค่าเฉลี่ย  $115.15 (\pm 1.63)$ ,  $120.78 (\pm 5.38)$ , และ  $144.54 (\pm 5.74)$  นาที เมื่อความเข้มข้นของเหล็กเพิ่มขึ้นเป็น  $18.98$ ,  $37.38$ , และ  $101.81$  มก. ต่อ ลิตร ตามลำดับ นั่นคือ การเพิ่มปริมาณเหล็กทำให้ฟลักซ์ลดลงแต่ผลกระทบเกิดขึ้นไม่มากเมื่อเปรียบเทียบเวลาที่เพิ่มขึ้นกับปริมาณเหล็กที่เพิ่ม

#### 4.3.3 การศึกษาผลกระทบของแคทไอกอนนิเกิล

การทดลองได้ใช้น้ำเสียสังเคราะห์ที่มีความเข้มข้นของครามे�ตไอกอน  $350$  มก.ต่อ ลิตร ให้อัตราส่วนของพอลิอิเล็กโตรไอล์ดต่อครามे�ตไอกอนเป็น  $20/1$  และเปลี่ยนค่าความเข้มข้นของนิเกิลไอกอนในน้ำเสียสังเคราะห์เป็น  $20.42$ ,  $41.77$ ,  $100.83$  และ  $557.48$  มก.ต่อ ลิตร ผลการทดลองหาผลกระทบของนิเกิลไอกอน ดังแสดงในรูปที่ 4.6 กราฟแสดงเบอร์เต็นต์รีเจ็คชันของครามे�ตไอกอนและความเข้มข้นของครามे�ตไอกอนในเพอมิເಥ เป็นฟังค์ชันของความเข้มข้นไอกอนนิเกิล ผลที่ได้พบว่า ค่าเฉลี่ยเบอร์เต็นต์รีเจ็คชันต่ำกว่า  $99.50\%$  เมื่อความเข้มข้นของไอกอนนิเกิลเท่ากับหรือน้อยกว่า  $100$  มก. ต่อ ลิตร เมื่อเพิ่มความเข้มข้นของนิเกิลไอกอนเป็น  $500$  มก.ต่อ ลิตร ปรากฏว่าเบอร์เต็นต์รีเจ็คชันลดลงเหลือเพียง  $98.42\%$  และเมื่อนำค่ารีเจ็คชันของครามे�ตไอกอนที่ได้นี้ ไปวิเคราะห์ข้อมูลทางสถิติ เอสพีเอสเอส โดยวิเคราะห์ความแปรปรวนจำแนกทางเดียว พบร่วง ที่ระดับความเชื่อมั่นทางสถิติ  $99.5$  ค่ารีเจ็คชันของครามे�ตไอกอน ( $99.50\%$ ) ที่มีไอกอนนิเกิลเข้มข้น  $100$  มก.ต่อ ลิตร และสูงกว่านี้ แตกต่างไปจากค่ารีเจ็คชันของครามे�ตไอกอน ( $99.72\%$ ) ที่มีไอกอนนิเกิลเข้มข้น  $20$  มก.ต่อ ลิตร นั่นคือ น้ำเสียสังเคราะห์ที่มีนิเกิลไอกอนตั้งแต่  $100$  มก.ต่อ ลิตร มีผลต่อผลกระทบต่อค่ารีเจ็คชันของครามे�ตไอกอน เมื่อเปรียบเทียบค่ารีเจ็คชันที่ได้นี้กับค่ารีเจ็คชันของครามे�ตไอกอนจากสารละลายที่ไม่มีนิเกิลไอกอน (หัวขอ 4.2) ผลที่ได้ที่ระดับความเชื่อมั่นเดียวกัน แสดงว่า ไม่แตกต่างกันเมื่อไอกอนนิเกิลเข้มข้น  $20$  และ  $40$  มก.ต่อ ลิตร คือไม่มีผลกระทบต่อค่ารีเจ็คชันของครามेतไอกอน และความเข้มข้นของนิเกิลไอกอนตั้งแต่  $100$  มก.ต่อ ลิตร ขึ้นไป มีผลกระทบต่อค่ารีเจ็คชันของครามेतไอกอน

ผลการทดลองหาความเข้มข้นของครามे�ตไอกอนในเพอมิເಥ พบร่วง ปริมาณครามे�ตเพิ่มขึ้นตามความเข้มข้นของไอกอนนิเกิล และการเพิ่มขึ้นอย่างมากเมื่อความเข้มข้นของนิเกิลเกิน  $100$  มก. ต่อ ลิตร



รูปที่ 4.6 ผลกระทบของไออกอนนิกอลในน้ำเสียสังเคราะห์ที่มีผลต่อค่า-viscosity ของคราเมตไออกอน

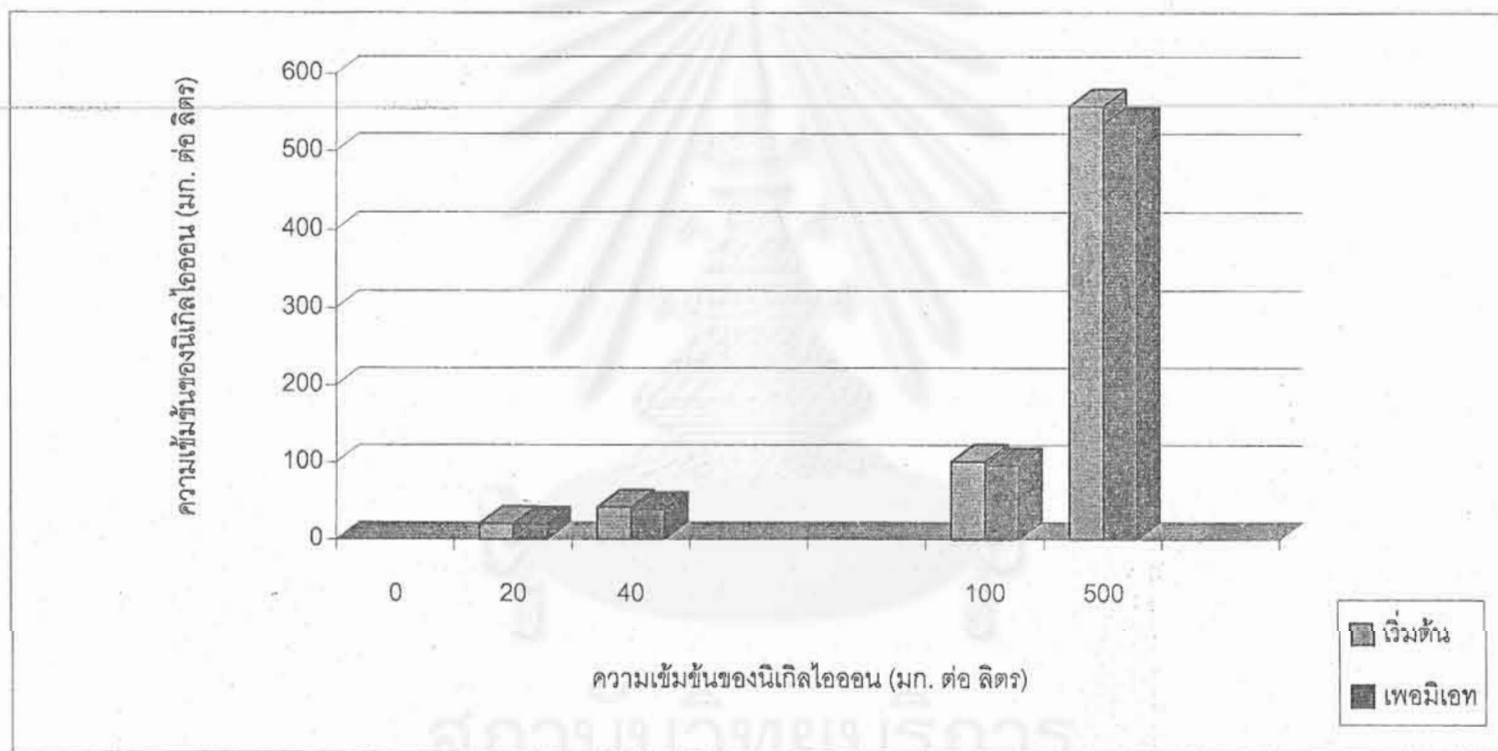
การหาปริมาณนิเกลในเพอมิເຄທເຫັນກັບປຣມານເຮັມຕັນ ດັ່ງແສດງໃນຮູບທີ 4.7 ຜລທີໄດ້ແສດງວ່າ ຄໍາເຂົ້າລື່ຍຄວາມເຂັ້ມຂັ້ນຂອງນິກຶລໃນພ່ອມີເຄທມີຄໍາທ່າກັບຄວາມເຂັ້ມຂັ້ນເມື່ອເຮັມຕັນ ຜລທີເກີດກັບນິກຶລນີ້ ແທກຕ່າງໄປຈາກກຽນີ່ຜລກຮະບບຂອງໄອອຸນທອງແດງແລະໄອອຸນເໜັກ ຜລເກີດຂຶ້ນແນວໜຳກັນທີ່ທຸກຄວາມເຂັ້ມຂັ້ນ ນອກຈາກນີ້ ກາຮສັງເກດຜລຂະນະທໍາກາຮາທດລອງ ໄນປ່າກງວດະກອນເກີດຂຶ້ນ

ເວລາທີໃໝ່ພ່ອມີເຄທປຣມາຕົຮ 200 ມລ. ມີຄໍາເຂົ້າລື່ຍ  $114.95 (\pm 1.49)$ ,  $117.33 (\pm 1.39)$ ,  $118.08 (\pm 2.21)$ , ແລະ  $125.63 (\pm 4.22)$  ນາທີ ເມື່ອຄວາມເຂັ້ມຂັ້ນຂອງເໜັກເພີ່ມຂຶ້ນເປັນ  $20.42$ ,  $41.77$ ,  $100.83$ , ແລະ  $557.48$  ມກ. ຕ່ອ ລິຕຣ ຕາມລຳດັບ ນັ້ນເກີດ ກາຮເພີ່ມປຣມານິກຶລໄຟທ່ານີ້ ພັດທະນາກີດຂຶ້ນ ແລກໜີ້ຂອງເວລາລດລອງ ແຕ່ຜລກຮະບບເກີດຂຶ້ນໄໝມາກເມື່ອຄວາມເຂັ້ມຂັ້ນຂອງນິກຶລສູງໆ

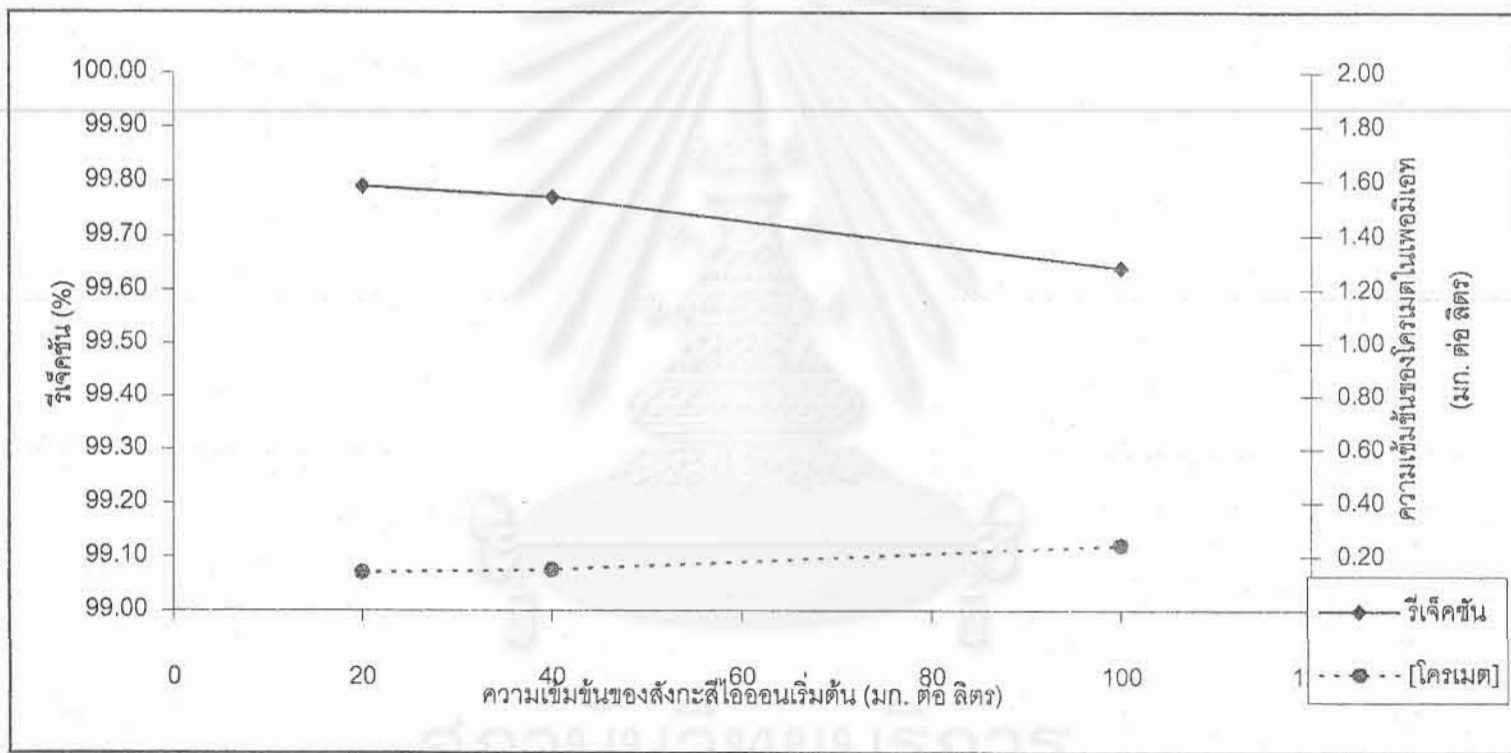
#### 4.3.4 ກາຮສັງເກດຜລກຮະບບຂອງແກທໄອອຸນສັງກະສີ

ກາຮາທດລອງໃໝ່ນໍາເສີຍສັງເຄຣະທີ່ມີຄວາມເຂັ້ມຂັ້ນຂອງໂຄຣເມຕໄອອຸນ 350 ມກ.ຕ່ອ ລິຕຣ ໃ້ວ່າ ຂັດວຽກສ່ວນຂອງພອລິອິເລັກໂຕຣໄລດີຕ່ອໂຄຣເມຕໄອອຸນເປັນ  $20/1$  ແລະເປີ່ຍັນຄໍາຄວາມເຂັ້ມຂັ້ນຂອງໄອອຸນສັງກະສີໃນນໍາເສີຍສັງເຄຣະທີ່ເປັນ  $20.85$ ,  $37.12$ , ແລະ  $102.70$  ມກ.ຕ່ອ ລິຕຣ ຜລກາຮາທດລອງທໍາຄວາມເຂັ້ມຂັ້ນຂອງໂຄຣເມຕໄອອຸນແລະໄອອຸນສັງກະສີໃນພ່ອມີເຄທແລະຫາເປົ້ອງເຫັນຕີເຈັບສັນຂອງໂຄຣເມຕເປັນພົງຄົ້ນຂອງຄວາມເຂັ້ມຂັ້ນໄອອຸນສັງກະສີ ດັ່ງແສດງໃນຮູບທີ 4.8

ຜລກາຮາທດລອງພບວ່າ ທີ່ທຸກຄໍາຄວາມເຂັ້ມຂັ້ນຂອງສັງກະສີທີ່ເພີ່ມ ໃ້ວ່າເປົ້ອງເຫັນຕີເຈັບສັນຂອງໂຄຣເມຕ ມີຄໍານາກກວ່າ  $99.5\%$  ເມື່ອນຳຄໍາເຈັບສັນຂອງໂຄຣເມຕໄອອຸນທີ່ໄດ້ນີ້ ໄປໃຈເວລາທີ່ຂໍ້ມູນລາຍການ ສົດຖິ ເອສີເພື່ອສເອສ ດ້ວຍວິຊາກວິເຄຣະທີ່ຄວາມແປປກວນຈຳແນກທາງເດືອວ ພບວ່າ ທີ່ຈະດັບຄວາມເຂົ້າມັນທາງສົດຖິ  $99.5$  ຄໍາເຈັບສັນຂອງໂຄຣເມຕໄອອຸນ ( $99.64\%$ ) ທີ່ມີໄອອຸນສັງກະສີ  $102.70$  ມກ.ຕ່ອ ລິຕຣ ແທກຕ່າງໄປຈາກຄໍາເຈັບສັນຂອງໂຄຣເມຕໄອອຸນ ( $99.78\%$ ) ທີ່ມີສັງກະສີ  $20.85$ , ແລະ  $37.12$  ມກ.ຕ່ອ ລິຕຣ ເມື່ອເປົ້ອງເຫັນຕີເຈັບສັນທີ່ມີສັງກະສີອຸ່ງ  $20.85$ ,  $37.12$ , ແລະ  $102.70$  ມກ.ຕ່ອ ລິຕຣ ກັບຄໍາເຈັບສັນຂອງໂຄຣເມຕໄອອຸນຈາກສາຮະລາຍທີ່ໄໝມີໄອອຸນສັງກະສີ (ຫວ້າຂ້ອງ 4.2) ຜລທີ່ໄດ້ ທີ່ຈະດັບຄວາມເຂົ້າມັນເດືອວກັນ ແສດງວ່າ ເປົ້ອງເຫັນຕີເຈັບສັນທີ່ໄດ້ຈາກສາຮະລາຍສັງກະສີ  $20.85 - 37.12$  ມກ. ຕ່ອ ລິຕຣ ໄນມີແທກຕ່າງກັນ ແຕ່ແສດງຄໍາເຈັບສັນທີ່ແທກຕ່າງກັນເມື່ອນໍາເສີຍສັງເຄຣະທີ່ໄອອຸນສັງກະສີເຂັ້ມຂັ້ນ  $102.70$  ມກ.ຕ່ອ ລິຕຣ ນັ້ນເກີດ ໄອອຸນສັງກະສີ  $20.85 - 37.12$  ມກ. ຕ່ອ ລິຕຣ ໄນມີຜລກຮະບບ ແຕ່ໄອອຸນສັງກະສີ  $102.70$  ມກ. ຕ່ອ ລິຕຣ ໃ້ວ່າ ພັດທະນາກີດຂຶ້ນ ແລກໜີ້ຂອງຜລກຮະບບທີ່ຕ່ອງກັນ ແຕ່ໄອອຸນສັງກະສີເຂັ້ມຂັ້ນ



รูปที่ 4.7 ปริมาณไออ้อนนิเกิลก่อนและหลังผ่านแม่เบรนอัลตราไฟลเตอร์



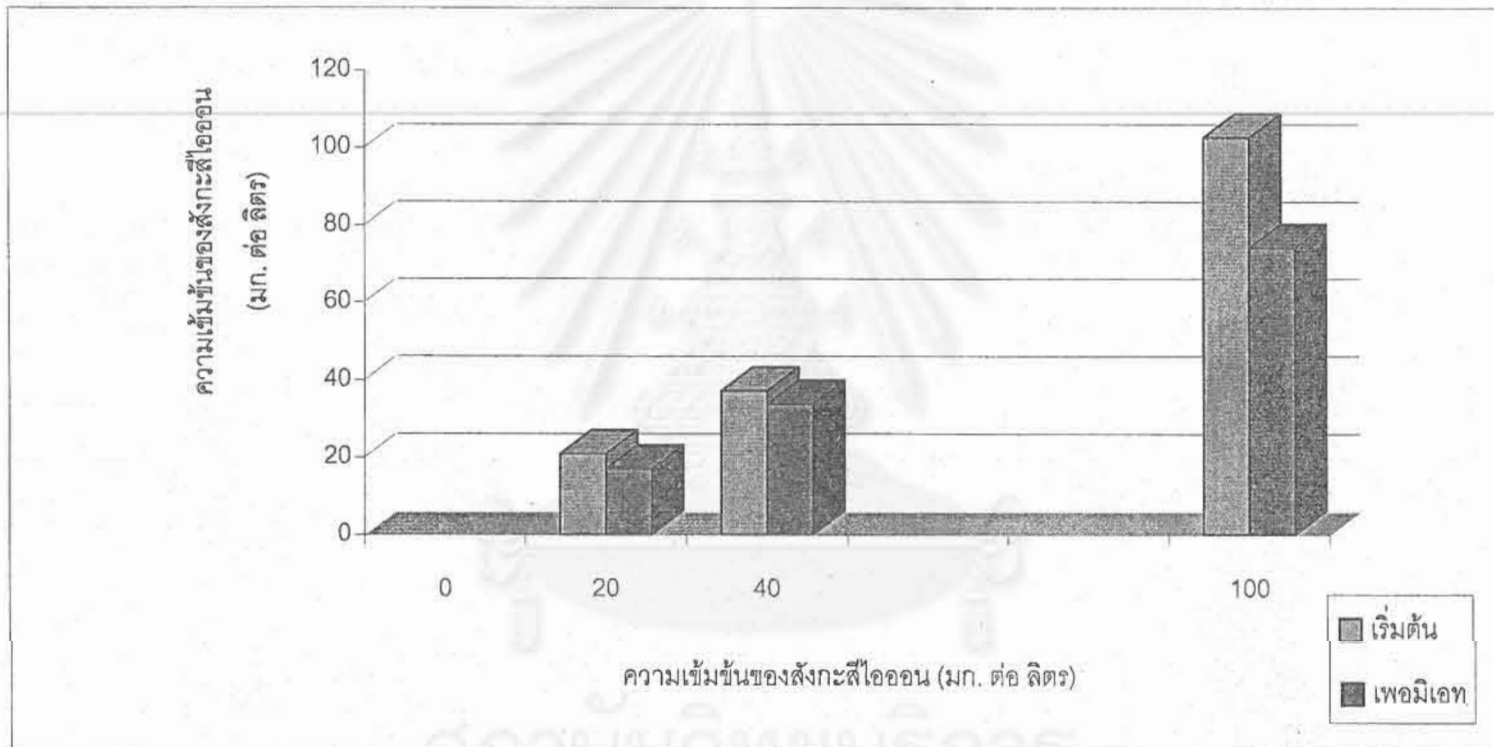
รูปที่ 4.8 ผลกราฟบนของไอก้อนสังกะสีในน้ำเสียสังเคราะห์ที่มีผลต่อค่า V-TiO<sub>2</sub> ของโครเมตไอก้อน

ผลของโครเมต์ไอโอนในเพอมิเอก (รูปที่ 4.8) ที่ได้จากแต่ละสารละลายน้ำมีสังกะสี 20.85, 37.12, และ 102.70 มก.ต่อ ลิตร มีค่า  $1.98 \pm 0.16$ ,  $2.18 \pm 0.32$ , และ  $3.57 \pm 0.53$  มก. ต่อ ลิตร ตามลำดับ ไม่แสดงการเพิ่มขึ้นอย่างมีนัยสำคัญ ยกเว้นที่สังกะสีเข้มข้น 102.70 มก ต่อ ลิตร การหาปริมาณสังกะสีในเพอมิเอก เปรียบเทียบกับสังกะสีที่เริ่มต้น ดังแสดงในรูปที่ 4.9 ปริมาณสังกะสีในเพอมิเอกมีค่าใกล้เคียงกับปริมาณสังกะสีเริ่มต้น เมื่อความเข้มข้นของสังกะสีอยู่ในช่วง 20.85 - 37.12 มก. ต่อ ลิตร แต่ปริมาณสังกะสีในเพอมิเอกลดลงกว่าค่าเริ่มต้นมากเมื่อใช้สังกะสีเริ่มต้นเป็น 102.70 มก. ต่อ ลิตร จากการสังเกตขณะทำการทดลอง พบร้า สารละลายน้ำมีสังกะสี 102.70 มก.ต่อ ลิตร มีตะกอนเกิดขึ้น ซึ่งตะกอนนี้เกิดขึ้นจากการรวมตัวกันระหว่างโครเมต์ไอโอนกับไอโอนสังกะสี

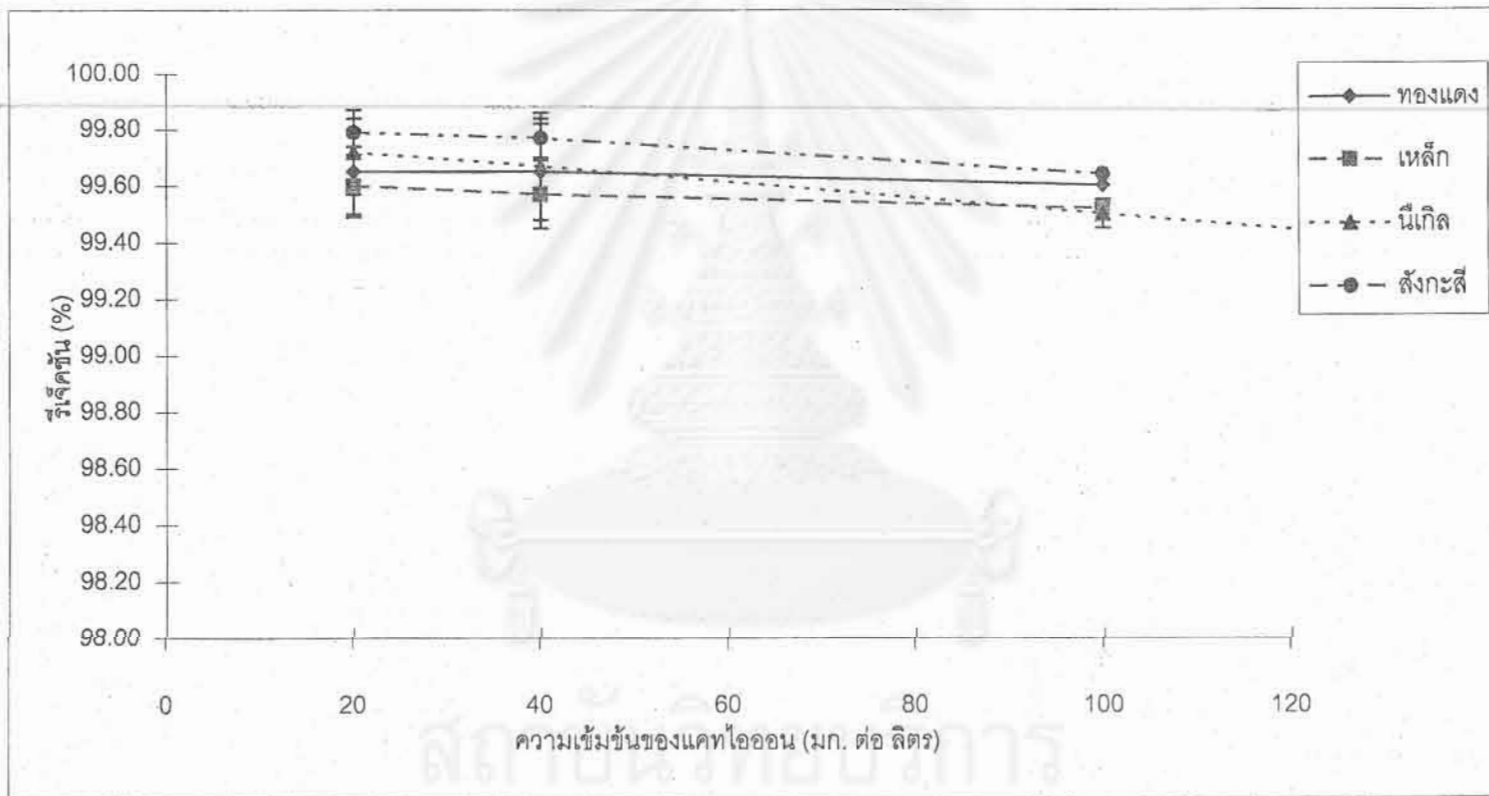


และตะกอนเพิ่มขึ้นเมื่อปริมาณสารละลายน้ำเท่านั้นลดลง ตะกอนที่เกิดขึ้นถ้ามีมากอาจมีผลกระแทบต่อประสิทธิภาพของเคมีเบรน โดยอาจเกิดการอุดตันของเคมีเบรน และทำให้ฟลักซ์ของกากกรองลดลง และใช้เวลาในการกรองนานขึ้น แต่ผลการทดลองที่ได้นี้ พบร้า ตะกอนที่เกิดขึ้นมีผลกระแทบท่อค่าวีเจ็คชันของโครเมต์ไอโอนน้อยมาก และเวลาของการทำอัลตราไฟลเตอร์ชั้นที่ให้ปริมาณเพอมิเอก 200 มล. มีค่าเฉลี่ย  $112.48 (\pm 9.19)$ ,  $117.86 (\pm 1.14)$ , และ  $118.81 (\pm 0.33)$  นาที เมื่อความเข้มข้นของสังกะสีเป็น 20.85, 37.12, และ 102.70 มก.ต่อ ลิตร ตามลำดับ เห็นว่าการเกิดตะกอนของสังกะสีไม่มีผลกระทบต่อเวลาการทำอัลตราไฟลเตอร์ชั้น

รูปที่ 4.10 เป็นการเปรียบเทียบผลกระทบของแคท์ไอโอนทุกด้า ที่มีต่อค่าเบอร์เช็นต์-เจ็คชัน ของโครเมต์ไอโอน พบร้า แคท์ไอโอนทุกด้าที่ความเข้มข้น 100 มก. ต่อ ลิตร ให้ค่าวีเจ็คชันเฉลี่ยไม่ต่างกว่า 99.50% เมื่อเพิ่มความเข้มข้นของแคท์ไอโอน กลุ่มที่เกิดการตกตะกอนกับโครเมต์ไอโอน คือ หงองแดง เหล็ก และ สังกะสี ให้ผลกระทบต่อค่าวีเจ็คชันน้อยกว่า แคท์ไอโอน (นิเกล) ที่ไม่เกิดตะกอน จากราฟ จะเห็นว่า กราฟของนิเกลลดลงมากเมื่อความเข้มข้นเพิ่มขึ้น เมื่อนำค่าวีเจ็คชันที่ได้จากแคท์ไอโอนทุกด้ามาเปรียบเทียบโดยการวิเคราะห์ข้อมูลทางสถิติ เอสพี เอสเอส ด้วยวิธีการวิเคราะห์ความแปรปรวนจำแนกทางเดียว พบร้า ที่ระดับความเชื่อมั่นทางสถิติ 99.5 ค่าวีเจ็คชันที่ได้จากแต่ละแคท์ไอโอนที่เปรียบเทียบที่ความเข้มข้นเดียวกันนั้น ไม่แตกต่างกัน ดังนั้นจึงสรุปได้ว่า ที่ความเข้มข้นเท่ากัน แคท์ไอโอนต่างชนิดให้ผลกระทบเหมือนกัน และอาจสรุปโดยข้างผลการเปรียบเทียบนี้ว่า การเพิ่มความเข้มข้นของแคท์ไอโอนเป็น 500



รูปที่ 4.9 ปริมาณไอก้อนสังกะสีก่อนและหลังผ่านเมมเบรนอัลตราฟิลเตอร์ชั้น



รูปที่ 4.10 ผลการทดลองของแคทไอกอ่อนต่อค่ารีเจ็คชันของเมมเบรนที่มีต่อโคลเมตไอกอ่อน

มก. ต่อ ลิตรา จะลดค่ารีเจ็คชันของครอเมต์ไอโอนลงมาประมาณ 1% ในทำนองเดียวกับผลที่ได้จากการศึกษาผลกระทบของไอโอนนิเกลที่ความเข้มข้น 500 มก. ต่อ ลิตรา

การเปรียบเทียบปริมาณแคฟไอโอนทุกตัว ที่ผ่านเมมเบรนมาก่อนในเพอมิเอก ที่ความเข้มข้นเริ่มต้นที่เท่ากัน ผลที่ได้ดังแสดงในรูปที่ 4.11 พบว่า ไอโอนของทองแดงและเหล็กตกลงกับครอเมต์ได้ง่ายเมื่อเวลาการกรองผ่านไปไม่นาน การตกลงกอนเกิดได้ง่ายมากแม้จะมีอยู่ปริมาณต่ำๆ ก็ตาม ทำให้เหลือไอโอนอิสระของทองแดงและเหล็กผ่านเมมเบรนอย่างมาก ไอโอนของนิเกลและสังกะสีมีแนวโน้มที่คล้ายกัน คือ นิเกลไม่เกิดการตกลงกอนตลอดการกรอง และสังกะสีจะเกิดตกลงกอนเมื่อปริมาตรของรีเทนเนตลดลงมากหรือเมื่อความเข้มข้นของสังกะสีมีค่าสูงๆ

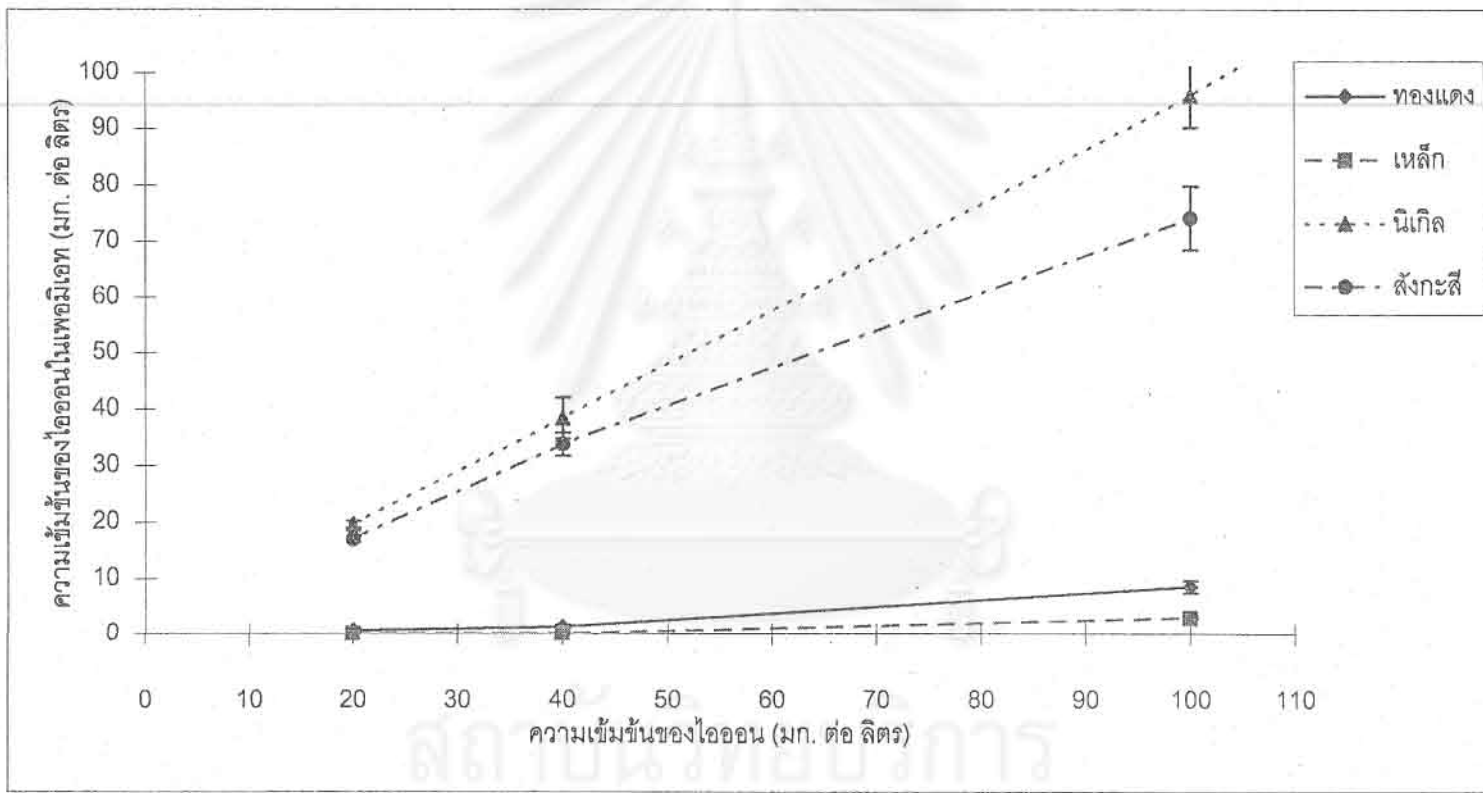
การเปรียบเทียบเวลาที่แคฟไอโอนต่างชนิดกันให้ปริมาตรของเพอมิเอกอยู่ที่ 200 มล. ดังแสดงในรูป 4.12 เมื่อเวลาการกรองเหล็กและทองแดงมีการตกลงกอนและให้ปริมาณไอโอนในเพอมิเอกที่คล้ายกัน จากกราฟนี้แสดงให้เห็นว่า ตกลงกอนของเหล็กมีผลกระทบต่อเวลาของการกรอง เมื่อความเข้มข้นของเหล็กเริ่มตั้งแต่ 20 มก. ต่อ ลิตรา ในขณะที่ตกลงกอนของทองแดงไม่มีผลกระทบต่อเวลาการกรองเมื่อเทียบกับไอโอนของนิเกลหรือของสังกะสี

#### 4.4 การศึกษาผลกระทบของแอนไอโอนที่มีต่อค่ารีเจ็คชันของครอเมต์ไอโอน

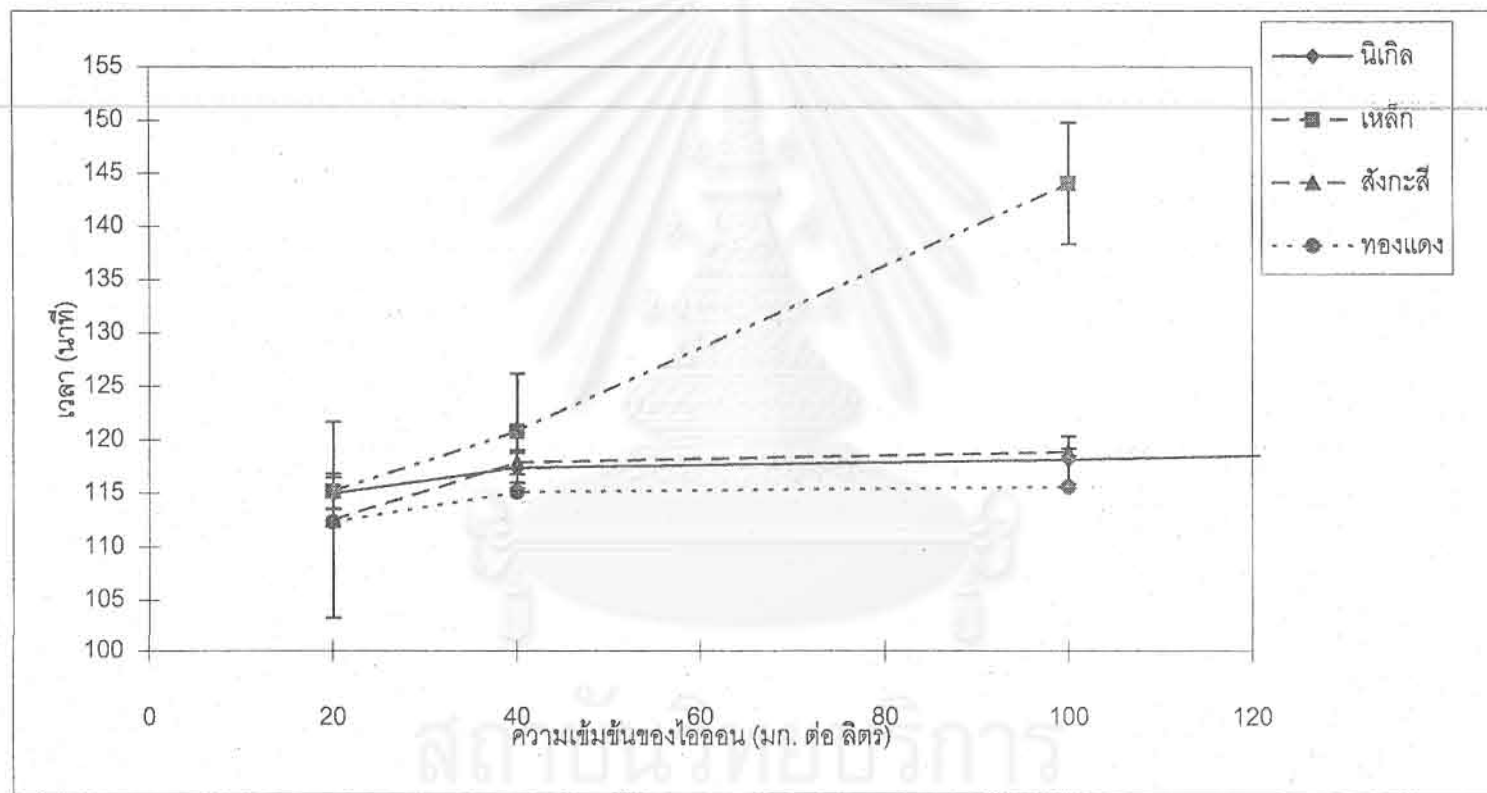
##### 4.4.1 การศึกษาผลกระทบของแอนไอโอนคลอไรด์

การทดลองใช้น้ำเสียสังเคราะห์ที่มีความเข้มข้นของครอเมต์ไอโอน 350 มก. ต่อ ลิตรา ให้อัตราส่วนของพอลิอิเล็กตริคต่อครอเมต์ไอโอนเป็น 20/1 และเปลี่ยนค่าความเข้มข้นของคลอไรด์ไอโอนในน้ำเสียสังเคราะห์เป็น 1194.00, 3192.82 และ 6115.77 มก. ต่อ ลิตรา ตามลำดับ ผลการทดลองรายงานความเข้มข้นของคลอไรด์ไอโอนในเพอมิเอก ในรีเทนเนต และคำนวนหาเปอร์เซ็นต์รีเจ็คชันของครอเมต์ไอโอน ดังแสดงในรูปที่ 4.13

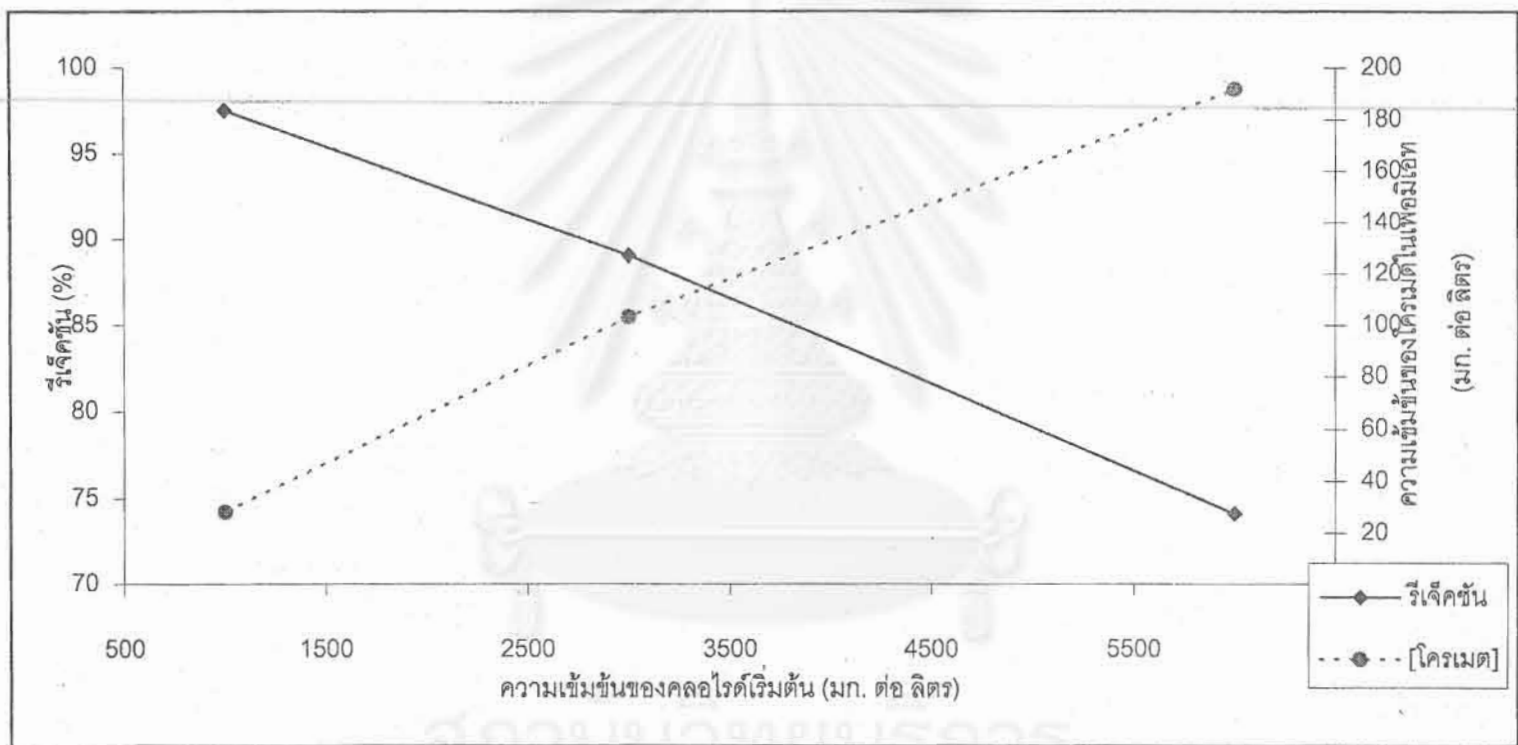
กราฟแสดงความสัมพันธ์กับความเข้มข้นของคลอไรด์ พบร่วมกับเปอร์เซ็นต์รีเจ็คชันของครอเมต์ไอโอนลดต่ำลงเมื่อความเข้มข้นของคลอไรด์ไอโอนเพิ่มขึ้น โดยค่ารีเจ็คชันลดลงเป็น 97.50%, 89.04%, และ 74.11% เมื่อความเข้มข้นคลอไรด์เป็น 1194.00, 3192.82 และ 6115.77 มก. ต่อ ลิตรา ตามลำดับ การวิเคราะห์ข้อมูลทางสถิติ เอสพีเอสเอส ที่ระดับความเชื่อมั่น 99.5 แสดงความแตกต่างกันสั้นเชิง และเมื่อเปรียบเทียบกับค่ารีเจ็คชันที่ได้นี้กับค่ารีเจ็คชันของครอเมต์



รูปที่ 4.11 เปรียบเทียบความเข้มข้นของแคทท์ไฮดรอกซิลในเพลมเมล็ด



รูปที่ 4.12 เปรียบเทียบเวลาที่สารละลายของแคทไอกอ่อนด่างชนิดให้เพอมิเอก 200 มล.



รูปที่ 4.13 ผลกระทบของไอกอนคลอไครด์ในน้ำเสียสังเคราะห์ที่มีผลต่อค่ารีเจ็คชันของโครงเมตไอกอน

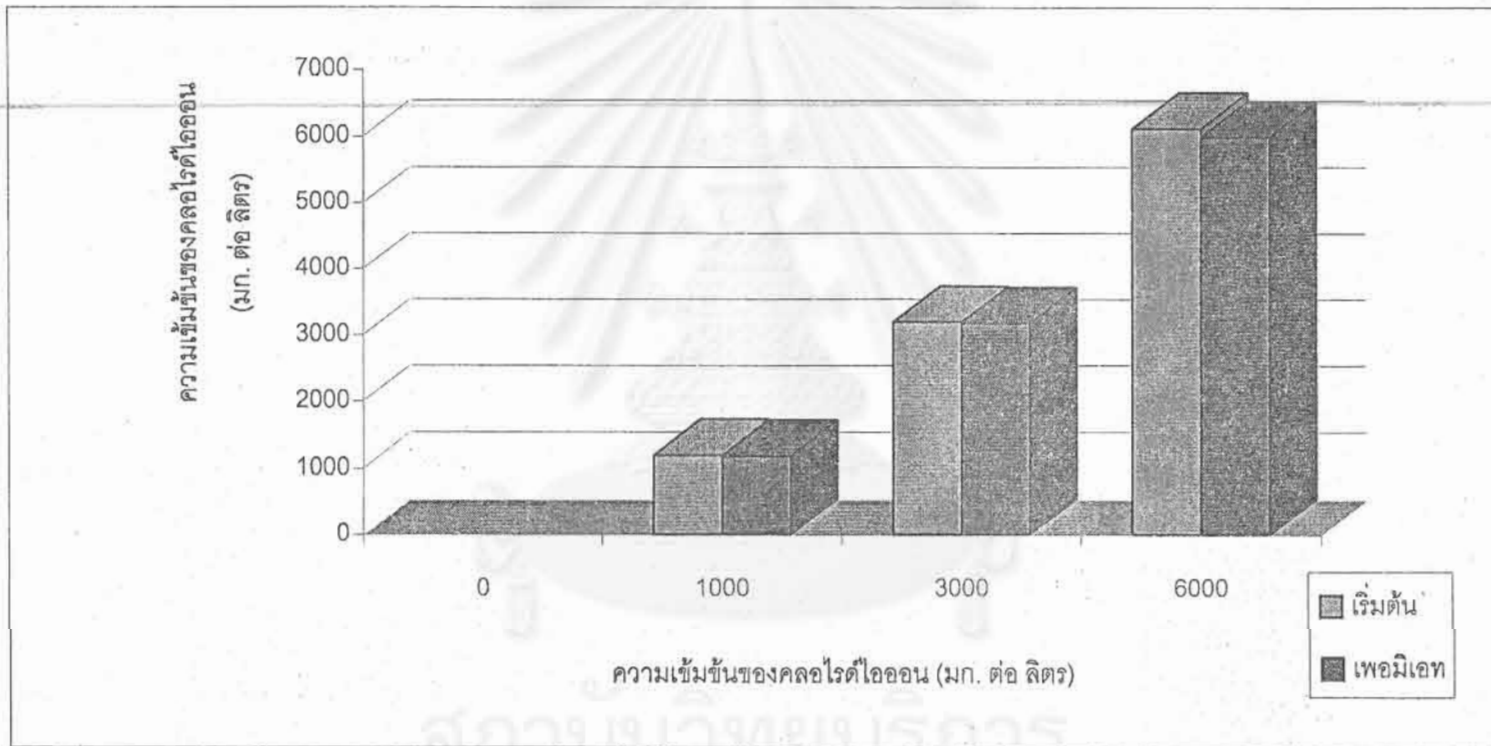
ไอโอนจากสารละลายที่ไม่มีคลอไรด์ไอโอน (หัวข้อ 4.2) ได้ค่าที่แตกต่างกันสิ้นเชิง เช่นกัน กลุ่มผู้วิจัยในทีมของ Sasaki, Tucker, และ Sriratana ได้อธิบายผลกระบวนการของคลอไรด์เกิดขึ้นเนื่องจากการเพิ่มค่าความแรงของไอโอน (ionic strength) ของสารละลาย โดยคลอไรด์ไอโอนเปลดค่า แอคติวิตี้ (activity) ของพอลิอิเล็กตรโอลาร์ด โดยฟอร์มเป็นชั้นห้อมล้อม (double layer) พอลิอิเล็กตรโอลาร์ด ซึ่งจะกันโครงเมตไอโอนให้เข้าไปปะบังกับพอลิอิเล็กตรโอลาร์ดได้น้อยลง

ผลการวิเคราะห์ความเข้มข้นของโครงเมตไอโอนในเพอมิเอก พบว่า เพิ่มขึ้นเป็น 28.04, 103.09 และ 191.67 มก. ต่อ ลิตร (หรือคิดเป็น 1.67%, 7.31% และ 16.23% เทียบกับโครงเมตเริ่มต้น ตามลำดับ) เมื่อมีคลอไรด์เริ่มต้น 1194.00, 3192.82 และ 6115.77 มก. ต่อ ลิตร ตามลำดับ

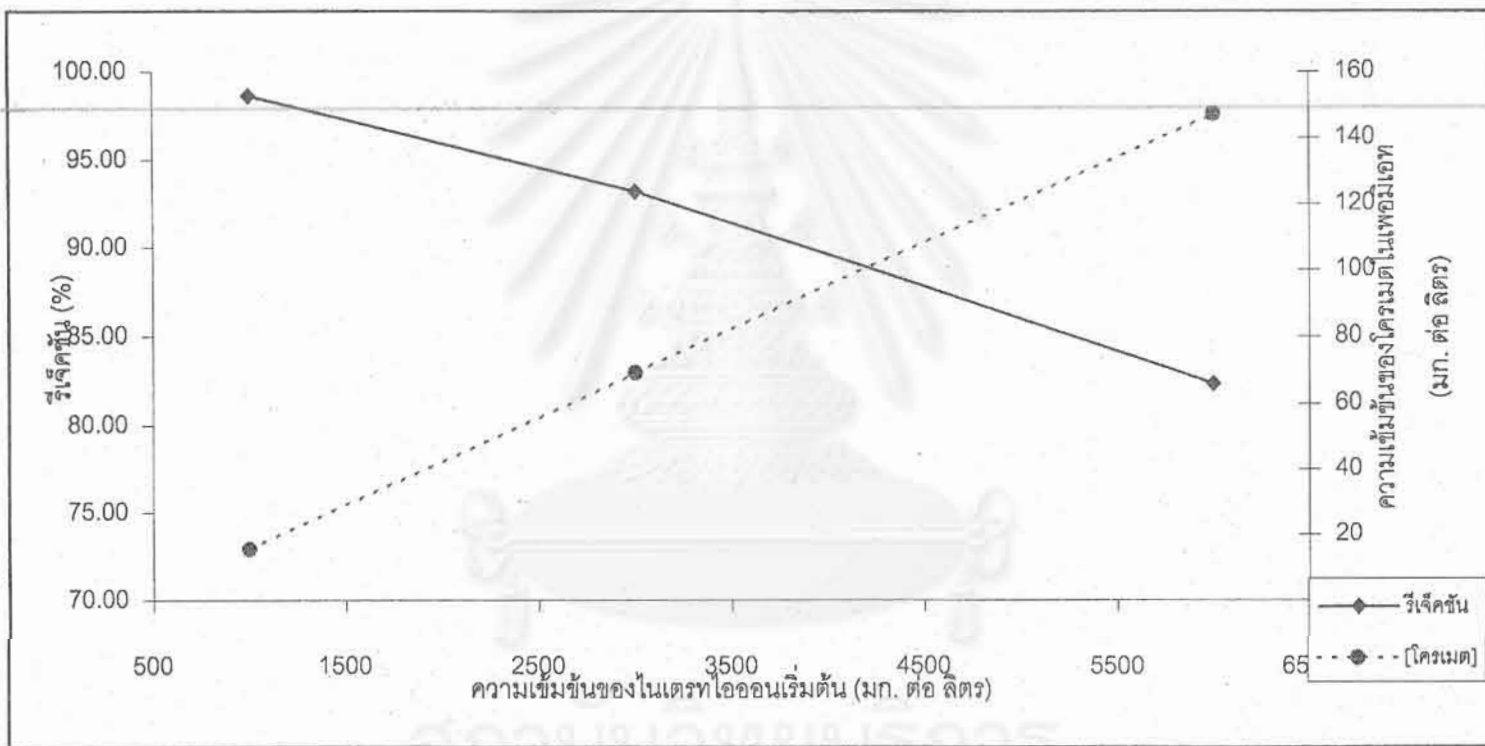
การทดลองหาคลอไรด์ในเพอมิเอก ได้ผลดังแสดงในรูปที่ 4.14 พบว่า ความเข้มข้นของคลอไรด์ไอโอนที่ก่อนและหลังผ่านเมมเบรน มีค่าความเข้มข้นใกล้เคียงกันมาก ทั้งนี้เนื่องจากประจุตรงข้ามของพอลิอิเล็กตรโอลาร์ดเป็นคลอไรด์เช่นเดียวกัน ไม่อาจแสดงผลกระบวนการเนื่องจากไอโอนที่เติมเข้าไปได้ชัดเจน เมื่อเปรียบเทียบเวลาของการกรองให้ได้เพอมิเอก 200 มล. พบว่า เวลาเพิ่มขึ้นเพียงเล็กน้อย คิดเป็นค่าเฉลี่ยของเวลาได้  $111.46 (\pm 1.65)$ ,  $113.81 (\pm 19.01)$ , และ  $134.82 (\pm 2.60)$  นาที เมื่อความเข้มข้นของคลอไรด์เป็น 1194.00, 3192.82 และ 6115.77 มก. ต่อ ลิตร ตามลำดับ

#### 4.4.2 การศึกษาผลกระทบของแอนไฮดรอนใน terrestrial

การทดลองใช้น้ำเสียสังเคราะห์ที่มีความเข้มข้นของโครงเมตไอโอน 350 มก. ต่อ ลิตร ใช้อัตราส่วนของพอลิอิเล็กตรโอลาร์ดต่อโครงเมตไอโอนเป็น 20/1 และเปลี่ยนค่าความเข้มข้นของไนเตรฟไอโอนในน้ำเสียสังเคราะห์เป็น 953.08, 3189.60, และ 6189.97 มก. ต่อ ลิตร ตามลำดับ รายงานผลการทดลองเป็นความเข้มข้นของโครงเมตไอโอนในเพอมิเอก ในรีเทนเนท และเปอร์เซ็นต์รีเจ็คชันของโครงเมตไอโอนดังแสดงในรูปที่ 4.15 ผลการทดลอง พบว่า เปอร์เซ็นต์รีเจ็คชันของโครงเมตลดลงเมื่อเพิ่มความเข้มข้นของไนเตรฟไอโอน โดยมีการลดลงเป็น 98.61%, 93.20%, และ 82.36% เมื่อความเข้มข้นของไนเตรฟไอโอนเป็น 953.08, 3189.60, และ 6189.97 มก. ต่อ ลิตร ตามลำดับ การวิเคราะห์ข้อมูลทางสถิติโดยใช้โปรแกรมเอสพีเอสเอส พบว่า ที่ระดับความเชื่อมั่นทางสถิติ 99.5 ค่ารีเจ็คชันของโครงเมตไอโอนของทั้งสามระดับความเข้มข้นมีความแตกต่างกันสิ้นเชิง และเมื่อเปรียบเทียบกับค่ารีเจ็คชันที่ได้รับกับค่ารีเจ็คชันของโครงเมตไอโอนจากสารละลายที่ไม่มีไนเตรฟไอโอน (หัวข้อ 4.2) ก็ได้ค่าที่แตกต่างกันสิ้นเชิง เช่นกัน



รูปที่ 4.14 ปริมาณไฮเดอเรตไฮเดอเจนหลังผ่านเมมเบรนอัลตราฟิลเตอร์ชั้น



รูปที่ 4.15 ผลกระทบของไอก้อนในดินในน้ำเสียสังเคราะห์ที่มีผลต่อค่าร้อยเปอร์เซ็นต์ของโครงเรเมตไอก้อน

แสดงให้ถึงเห็นว่า ปริมาณในเดรทไอกอนแต่ละค่าที่เพิ่มขึ้น มีผลกระทบต่อค่ารีเจ็คชันของ โคลเมตไอกอนทั้งสิ้น ผลกระทบของแอนในเดรทไอกอนอาจอธิบายได้ในทำนองเดียวกับที่เกิดขึ้นกับ คลอไรด์ไอกอน ทั้ง ในเดรทและคลอไรด์มีขนาดของไอกอนเท่ากันและมีประจุลบหนึ่งเท่ากัน การเติมในเดรททำให้ความแรงของสารละลายเพิ่มขึ้นและลดแอกติวิตี้ของพอลิอิเล็กโทรไรต์ที่มีต่อโคลเมตไอกอนลง ค่ารีเจ็คชันที่ได้จากการเติมในเดรทมีค่าสูงกว่าค่ารีเจ็คชันที่ได้จากการเติม คลอไรด์โดยเฉพาะที่ความเข้มข้นของในเดรทสูงเกิน 3000 มก. ต่อ ลิตร

ผลกระทบที่ในเดรทไอกอนมีต่อโคลเมตในเพอมิเอก พบว่า ความเข้มข้นของโคลเมตเพิ่มขึ้นตามปริมาณของในเดรทเป็น 15.43, 69.06, และ 147.17 มก. ต่อ ลิตร (หรือคิดเป็น 0.93%, 4.62%, และ 11.85% เมื่อเทียบกับโคลเมตเริ่มต้น ตามลำดับ) เมื่อเพิ่มความเข้มข้นของในเดรท เป็น 953.08, 3189.60, และ 6189.97 มก. ต่อ ลิตร ตามลำดับ

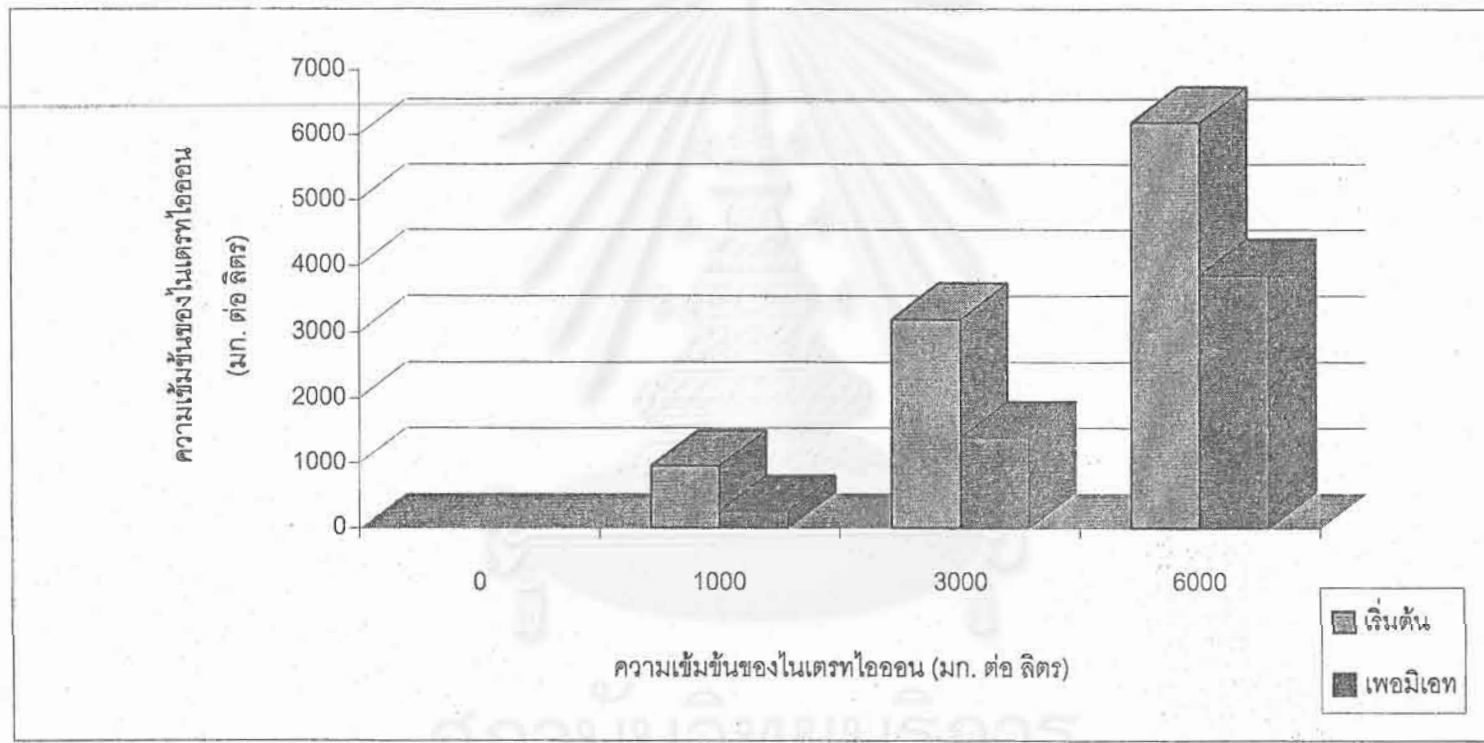
การหาปริมาณในเดรทไอกอนในเพอมิเอกเทียบกับในเดรทที่เริ่มต้น ดังแสดงในรูปที่ 4.16 กราฟที่ได้ แสดงว่า ปริมาณของในเดรทในเพอมิเอกเพิ่มขึ้นตามปริมาณในเดรทที่ใส่เข้าไป ความเข้มข้นของในเดรทไอกอนในเพอมิเอกมีค่า 17.71%, 29.45%, และ 41.63% เมื่อความเข้มข้นของในเดรท เป็น 953.08, 3189.60, และ 6189.97 มก. ต่อ ลิตร ตามลำดับ

ปริมาณในเดรทไอกอนและโคลเมตไอกอนที่เพิ่มขึ้นในเพอมิเอก อาจเกิดขึ้นเนื่องจากแรงผลักที่เกิดขึ้นระหว่างประจุชนิดเดียวกัน ความเข้มข้นในเพอมิเอกยิ่งสูงขึ้น เมื่อเติมในเดรทมากขึ้น

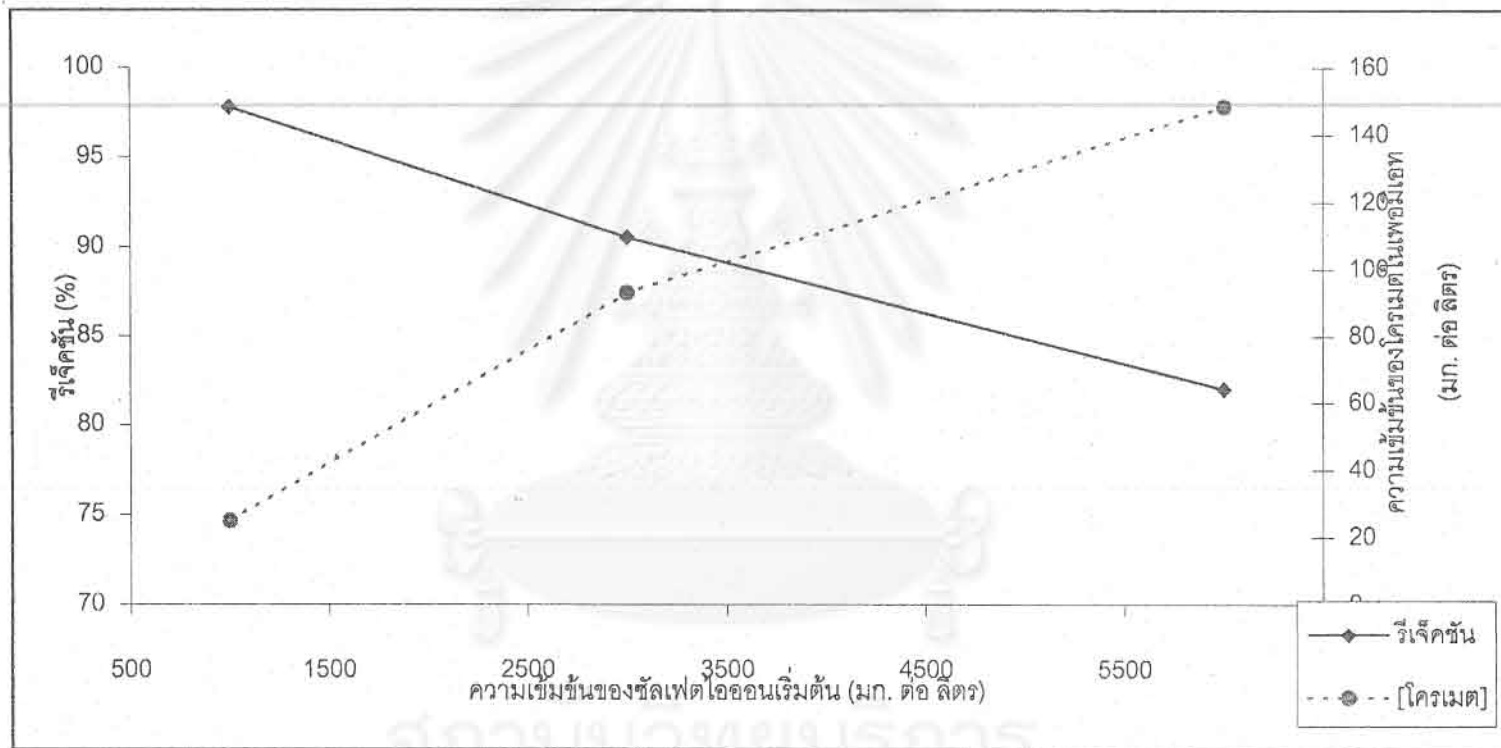
เวลาของการกรองอัลตราฟิลเตอร์ชันได้เพอมิเอกปริมาตร 200 มล. คิดเป็นค่าเฉลี่ยได้ 119.29 ( $\pm 23.04$ ), 124.61 ( $\pm 20.88$ ), และ 133.74 ( $\pm 12.73$ ) นาที เมื่อความเข้มข้นของในเดรท เป็น 953.08, 3189.60, และ 6189.97 มก. ต่อ ลิตร ตามลำดับ

#### 4.4.3 การศึกษาผลกระทบของแอนไอกอนชัลเฟต

การทดลองใช้น้ำเสียสังเคราะห์ที่มีความเข้มข้นของโคลเมตไอกอน 350 มก.ต่อ ลิตร ใช้อัตราส่วนของพอลิอิเล็กโทรไรต์ต่อโคลเมตไอกอนเป็น 20/1 และเปลี่ยนค่าความเข้มข้น ของชัลเฟตไอกอนในน้ำเสียสังเคราะห์เป็น 992.91, 2994.56, และ 5768.85 มก. ต่อ ลิตร ผลการทดลองรายงานเป็นความเข้มข้นของชัลเฟตไอกอนในเพอมิเอกและในรีเกนแทด และหาค่าเบอร์เท็นต์รีเจ็คชันของโคลเมตไอกอน ผลที่ได้ดังแสดงในรูปที่ 4.17 พบว่า เบอร์เท็นต์รีเจ็คชันลดลงเมื่อเพิ่มความเข้มข้นของชัลเฟต โดยมีค่ารีเจ็คชัน 97.77%, 90.53%, และ 82.01% เมื่อเพิ่ม ปริมาณชัลเฟตเริ่มต้นเป็น 992.91, 2994.56, และ 5768.85 มก. ต่อ ลิตร ตามลำดับ



รูปที่ 4.16 ปริมาณไอกอนในเตราท์ก่อนและหลังผ่านแมมเบรนอัลตราฟิลเตอร์ชั้น



รูปที่ 4.17 ผลกระทบของไอกอนชัลเพตในน้ำเสียสังเคราะห์ที่มีผลต่อค่ารีเจ็คชันของครามเมตไอกอน

การวิเคราะห์ข้อมูลทางสถิติด้วยโปรแกรมเอสพีเอสดอส พบว่า ที่ระดับความเชื่อมั่นทางสถิติ 99.5 ค่ารีเจ็คชันของครอเมต์ไอโอนของทั้งสามความเข้มข้นแตกต่างกันล้วนเชิง และเมื่อเปรียบเทียบกับค่ารีเจ็คชันที่ได้นี้กับค่ารีเจ็คชันของครอเมต์ไอโอนจากสารละลายที่ไม่มีชัลเฟต์ไอโอน (หัวข้อ 4.2) ได้ค่าที่แตกต่างกันล้วนเชิงเช่นกัน แสดงให้เห็นว่า ชัลเฟต์ไอโอนให้ผลกระทบต่อการรีเจ็คชันของครอเมต์ ค่ารีเจ็คชันที่ได้นี้มีค่าใกล้เคียงกับค่ารีเจ็คชันที่ได้จากการเติมในเดรท เป็นที่น่าสังเกตว่า ชัลเฟต์ไอโอนมีประจุส่องลบและมีขนาดของไอโอน(เท่ากับครอเมต์ไอโอน) ในญูปั่วใหญ่กว่าในเดรทไอโอนเพียงเล็กน้อย แต่ให้ผลกระทบใกล้เคียงกับผลกระทบของ ในเดรท

ผลกระทบลดลงหากความเข้มข้นของครอเมต์ไอโอนในเพอมิเอก พบว่า ครอเมต์เพิ่มขึ้นเป็น 24.79, 92.86, และ 148.40 มก. ต่อ ลิตร (หรือคิดเป็น 1.47, 6.31, และ 12.16% เทียบกับครอเมต์เริ่มต้น ตามลำดับ) เมื่อความเข้มข้นเริ่มต้นเป็น 992.91, 2994.56, และ 5768.85 มก. ต่อ ลิตร ตามลำดับ

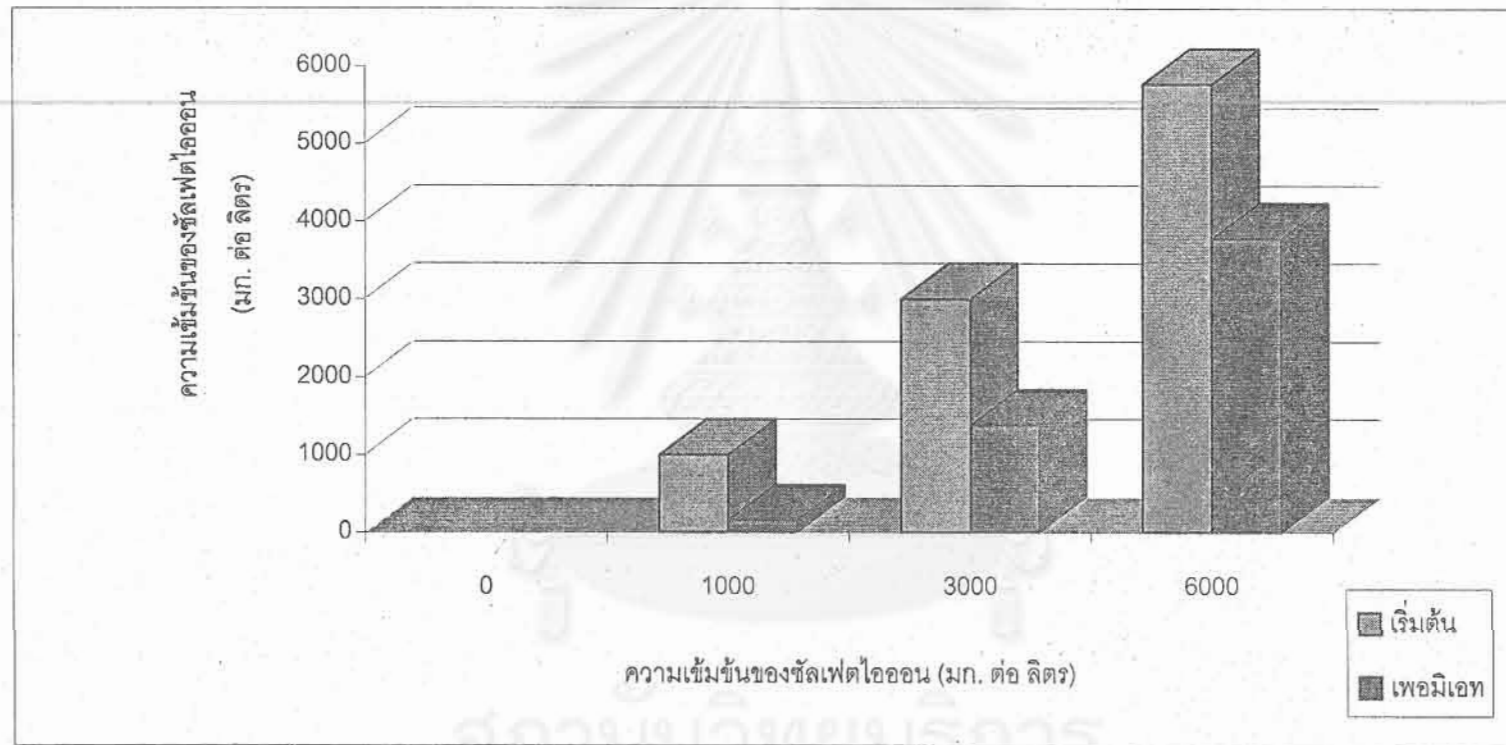
การหาปริมาณชัลเฟต์ในเพอมิเอก และเปรียบเทียบกับปริมาณชัลเฟต์ไอโอนเริ่มต้น ดังแสดงผลในรูปที่ 4.18 พบว่าปริมาณชัลเฟต์ไอโอนลดลงเมื่อความเข้มข้นของชัลเฟต์เริ่มต้นเพิ่มขึ้น โดยปริมาณการเพิ่มเป็น 10.01%, 30.59%, และ 43.60% เมื่อความเข้มข้นเริ่มต้นเป็น 992.91, 2994.56, และ 5768.85 มก. ต่อ ลิตร ตามลำดับ

ปริมาณชัลเฟต์ไอโอนและครอเมต์ไอโอนที่เพิ่มขึ้นในเพอมิเอก เกิดขึ้นเนื่องจากแรงผลักที่เกิดขึ้นระหว่างประจุชนิดเดียวกัน ความเข้มข้นในเพอมิเอกสูงขึ้นตามการเพิ่มปริมาณชัลเฟต์

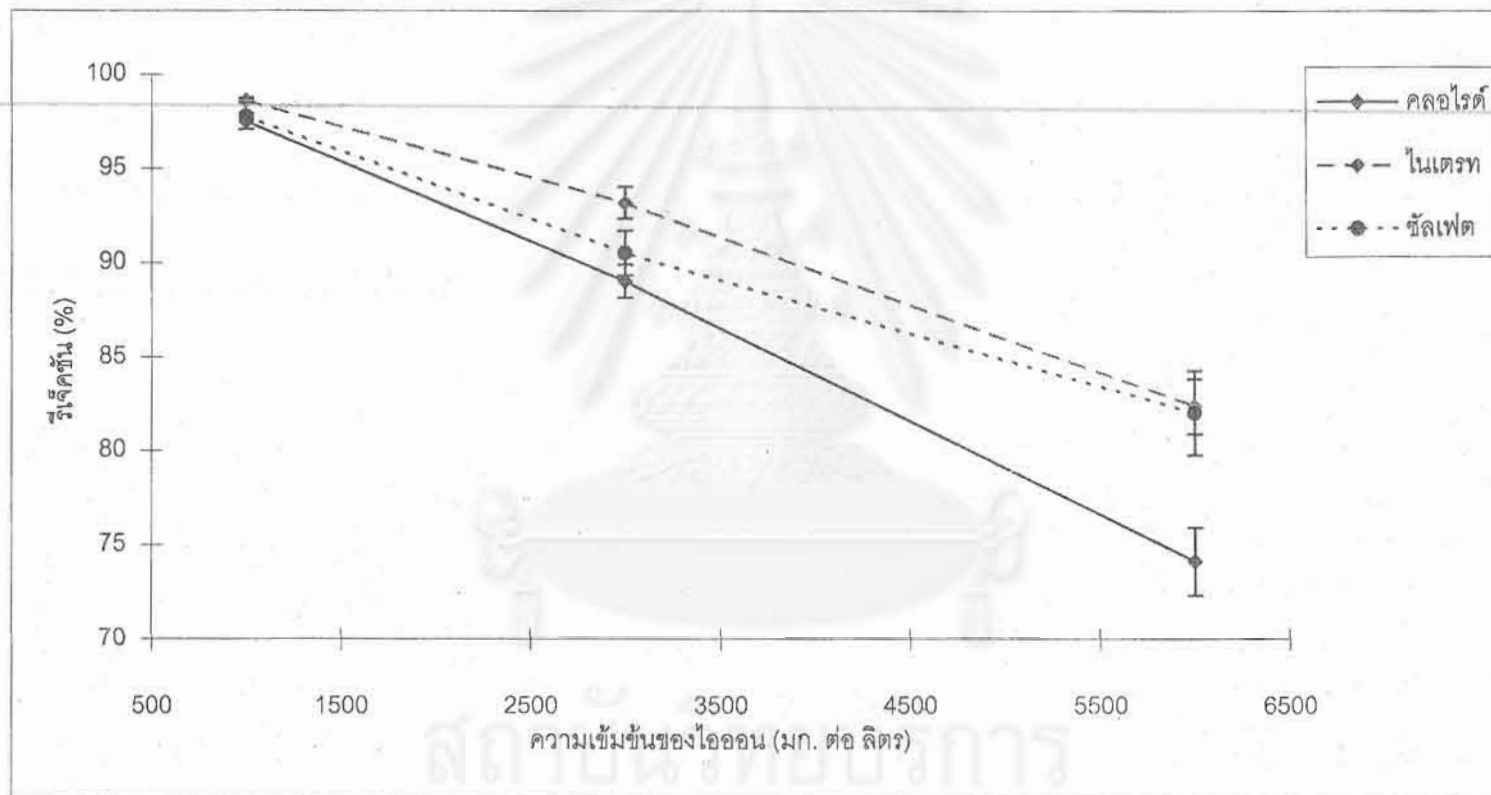
เวลาการกรองที่ให้ปริมาตรของเพอนมิเอก 200 มล. มีค่าเฉลี่ย 119.42, 157.88 ( $\pm 17.19$ ), และ 170.61 ( $\pm 8.79$ ) นาที เมื่อความเข้มข้นของชัลเฟต์เป็น 992.91, 2994.56, และ 5768.85 มก. ต่อ ลิตร ตามลำดับ

รูปที่ 4.19 แสดงกราฟสรุปเปรียบเทียบค่ารีเจ็คชันของครอเมต์ไอโอนที่ได้จากผลกระทบของแอนไอโอนทุกด้วย ค่ารีเจ็คชันที่ได้จากแต่ละไอโอนแตกต่างกันเพียงเล็กน้อย โดยค่ารีเจ็คชันที่เกิดจากในเดรทและชัลเฟต์มีค่าใกล้เคียงกันมากกว่าจากคลอร์ไวน์ และรีเจ็คชันที่ได้จากการเติมคลอร์ไวน์แสดงแนวโน้มค่าต่ำกว่าของไอโอนตัวอื่น ซึ่งเกิดขึ้นชัดเจนที่ 6000 มก. ต่อ ลิตร

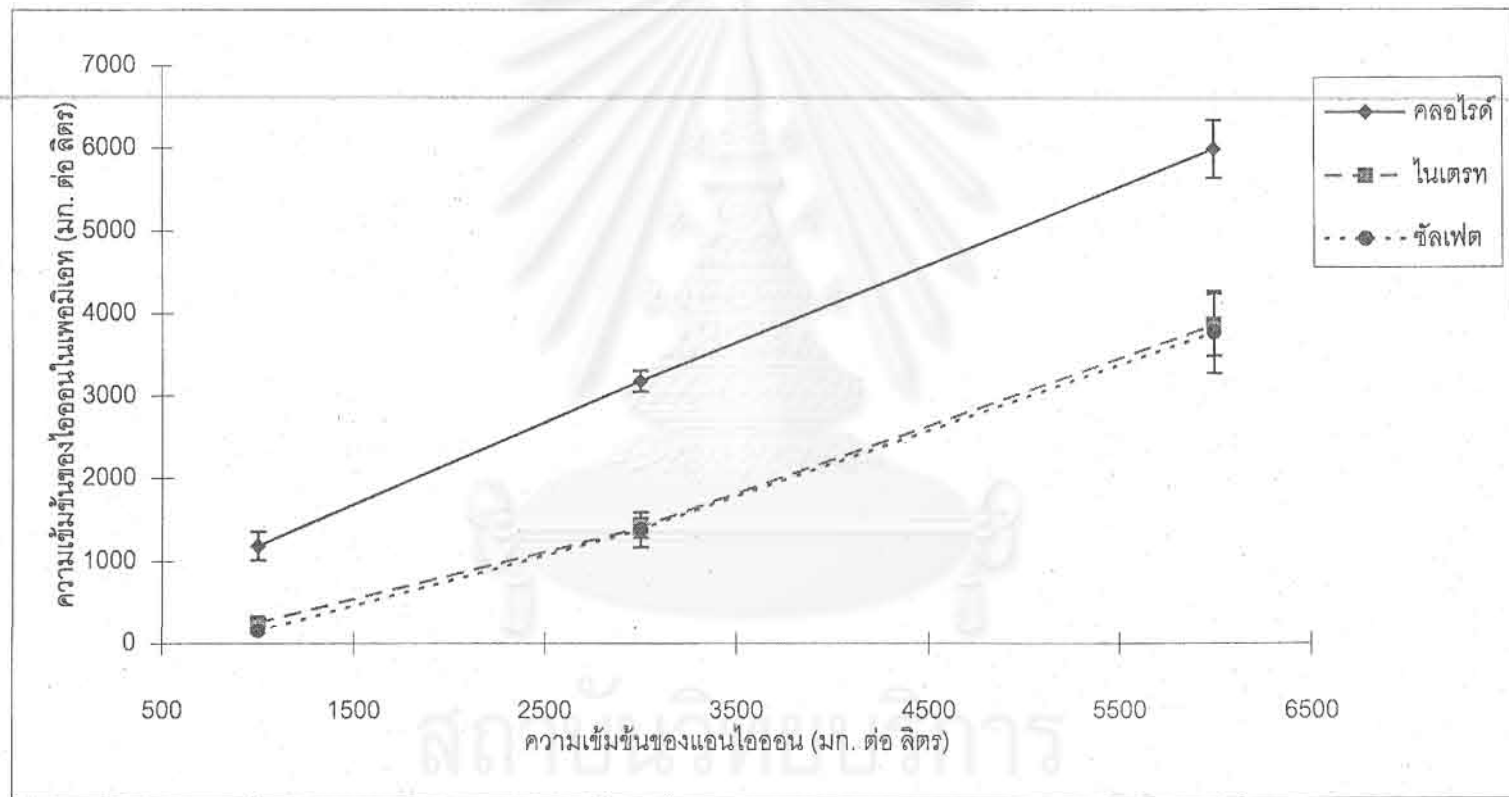
ปริมาณแอนไอโอนที่อยู่ในเพอมิเอกขึ้นอยู่กับความชอบหรือแรงดึงดูดที่พอลิอิเล็กโทรไลต์ มีต่อไอโอน และขึ้นอยู่กับแรงผลักระหว่างแอนไอโอนต่างชนิดกัน เมื่อนำความเข้มข้นของไอโอนแต่ละตัวในเพอมิเอกมาเปรียบเทียบกันที่ระดับความเข้มข้นเริ่มต้นเดียวกัน ดังในรูปที่ 4.20 แสดงปริมาณไอโอนของชัลเฟต์และในเดรทในเพอมิเอกมีค่าใกล้เคียงกันและมีค่าต่ำกว่า



รูปที่ 4.18 ปริมาณไอกอนซัลเฟต์ก่อนและหลังผ่านเมมเบรนอัลตราฟิลเตอร์ชั้น



รูปที่ 4.19 เปรียบเทียบผลการทดสอบของเรนิโอลอนต่างชนิดที่มีต่อค่ารีเจ็คชันของโครงเมติโอลอน



รูปที่ 4.20 เปรียบเทียบความเข้มข้นของแอกอนไอกอ้อนต่างชนิดในเพอมิเอก

ปริมาณของคลอไรด์ในออกน เกิดขึ้นเมื่อกันตลอดทุกความเข้มข้นเริ่มต้น นอกจากนี้ การที่มีความเข้มข้นในเพอมิເກທຂອງຫຼັບເຟທ່າກັບຂອງໃນເຕຣທ ແສດວ່າ ພອລິອີເລັກໂຕຣໄລດໍມີຄວາມຂອບທີ່ຈະຈັບກັບໄອອຸນປະຈຸດຈຳກັນທີ່ເປັນປະຈຸດສອງລົບ ໄດ້ທ່າງກັບໄອອຸນທີ່ນີ້ປະຈຸນນຶ່ງລົບ ເນື້ອເບີຍບໍ່ເຫັນວ່າ ບໍລິມານໂຄຮມຕີໃນພົມົມເກທເນື່ອງມາຈາກຫຼັບເຟມີຄ່າອູ່ຮະຫວ່າງຜົດທີ່ເນື່ອງມາຈາກຄລອໄຣດໍ ແລະໃນເຕຣທແສດວ່າ ທີ່ນີ້ຂອງປະຈຸນໄມ້ມີຜລກະທບຕ່ອກຄ່າຮີເຈັກຫັນຂອງໂຄຮມຕີໃອອຸນ

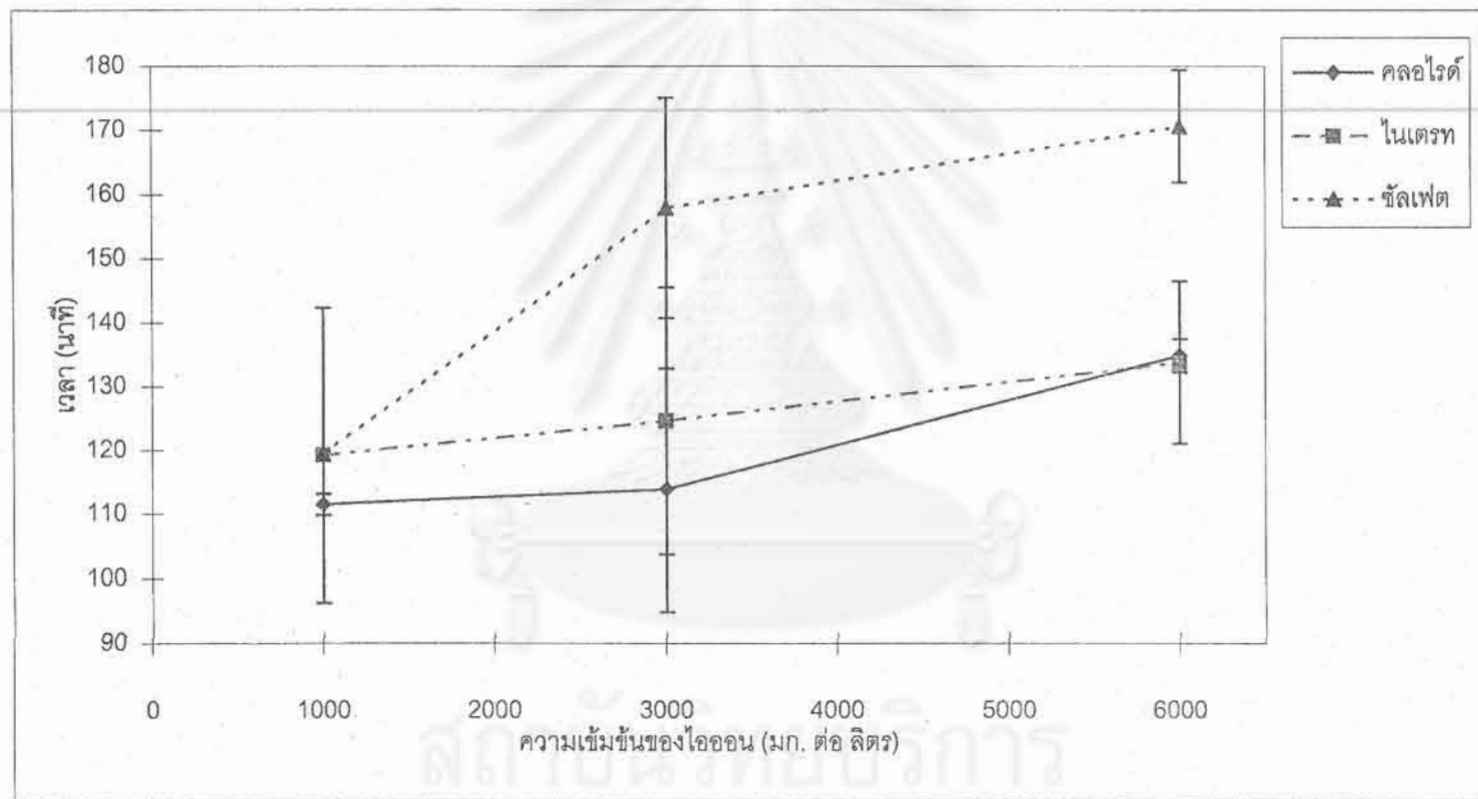
ກາຮເບີຍບໍ່ເຫັນວ່າ ໄອອຸນຕ່າງໆ ດັ່ງນີ້ມີຄວາມປະຈຸດທີ່ໃຫ້ປໍລິມາດຮ້າງພົມົມເກທອກມາ 200 ມລ. ດັ່ງໃນຮູບ 4.21 ແສດຄລອໄຣດໍແລະໃນເຕຣທໃຊ້ເວລາໄກລ໌ເດືອງກັນ ແລະຫຼັບເຟໃຊ້ເວລານານກວ່າຂອງຄລອໄຣດໍແລະໃນເຕຣທ ນັ້ນຄື່ອງ ປະຈຸດສອງລົບຂອງຫຼັບເຟມີຜລກະທບຕ່ອງເວລາກາກຮອງໃຫ້ນານຂຶ້ນ ແຕ່ເວລາທີ່ນານຂຶ້ນໄມ້ມີຜລກະທບຕ່ອກຄ່າຮີເຈັກຫັນແລະປໍລິມານໂຄຮມຕີໃນພົມົມເກທ

#### 4.5 ກາຮສຶກຂານ້າເສີຍຈາກໂຮງງານຫຼຸບໂຄຮມຍິນ

ກາຮທດລອງເວັນຈາກ ກາຮນ້າເສີຍມາວິເຄາະໜ້າປໍລິມານໄອອຸນຕ່າງໆທີ່ມີອູ່ໃນດ້ວຍຢ່າງເພື່ອກຳນົດອັດຕະກຳສ່ວນຂອງພອລິອີເລັກໂຕຣໄລດໍຕ່ອງໂຄຮມຕີໃນນ້າເສີຍເປັນ 20/1 ຫັ້ນດອນຕ່ອໄປ ຈຶ່ງນໍານ້າເສີຍທີ່ເຕີມພອລິອີເລັກໂຕຣໄລດໍແລ້ວ ມາຜ່ານເມນເບຣນອັດຕະກຳຟິລເຕຣໜັ້ນ ໃຫ້ປໍລິມາດຮ້າງພົມົມເກທອກມາ 200 ມິລິລິຕົຣ ຈາກນັ້ນເຕີມນ້າເສີຍລົງໄປໃຫ້ມີປໍລິມາດຮ້າມເປັນ 300 ມລ. ກາຮອັດຕະກຳຟິລເຕຣໜັ້ນຫຼັ້າ ຮວມກາຮທຳອັດຕະກຳຟິລເຕຣໜັ້ນຂອງດ້ວຍຢ່າງນ້າເສີຍ 4 ຄັ້ງ ຮວມປໍລິມາດຮ້າງພອລິອີເລັກໂຕຣໄລດໍປະມານ 100 ມລ. ປໍລິມາດຮ້າງດ້ວຍຢ່າງນ້າເສີຍທີ່ເຂົ້າສເຕົວຮູ້ເຫຼົດປະມານ 800 ມິລິລິຕົຣ ແລະປໍລິມາດຮ້າງສາຮະລາຍຜ່ານເມນເບຣນໄປເປັນພົມົມເກທປະມານ 800 ມິລິລິຕົຣ ຜລກາຮທດລອງ ໄດ້ຫາຄວາມເຂັ້ມຂຶ້ນຂອງໂຄຮມຕີແລະໄອອຸນດ້ວຍອື່ນໆໃນພົມົມເກທແຕ່ລະຄັ້ງ ຄວາມເຂັ້ມຂຶ້ນໃນເຈັກຫັນ ແລະຄໍານວນຫາເປົ້ອງເຂົ້າຕີເຈັກຫັນ

ຜລກາຮວິເຄາະໜ້າປໍລິມານໄອອຸນໃນດ້ວຍຢ່າງນ້າເສີຍຈາກໂຮງງານຫຼຸບໂຄຮມຍິນ 2 ດ້ວຍຢ່າງດັ່ງແສດງໃນຕາງໆທີ່ 4.2 ເປັນທີ່ສັງເກດວ່າ ເນື້ອກຳອັດຕະກຳຟິລເຕຣໜັ້ນຜ່ານໄປເຖິງ 4 ອອນ ໄນມີກາຮດກຕະກອນ ຂອງສາຮໃນສ່ວນທີ່ເປັນເຈັກຫັນ

ກາຮທດລອງນ້າເສີຍດ້ວຍຢ່າງທີ່ 1 ມີຄ່າ pH 2.54 ມີປໍລິມານແອນໄອອຸນຄລອໄຣດໍຄອນຫ້າງສູງ ແລະຮອງລົງມາເປັນໂຄຮມຕີແລະຫຼັບເຟ ຄູ້ 2927.75, 986.12, ແລະ 319.28 ມກ. ຕ່ອ ລິຕຣ ຕາມລຳດັບສ່ວນແຕກໄອອຸນທີ່ມີປໍລິມານມາກຄູ້ ນິກຶລໄອອຸນ 205.17 ມກ. ຕ່ອ ລິຕຣ ຜລກາຮທດລອງ



รูปที่ 4.21 เปรียบเทียบเวลาที่สารละลายของแอนไฮดรออนต่างชนิดให้เพอมิเอก 200 มล.

ตารางที่ 4.2 องค์ประกอบของไอโอนในตัวอย่างน้ำเสียจากโรงงานชูบโครเมียม

น้ำเสีย	pH	ความเข้มข้นของไอโอน (มก. ต่อ ลิตร)							
		โครเมต	ทองแดง	เหล็ก	นิกели	สังกะสี	คลอไรด์	ไนเตรท	ซัลเฟต
# 1	2.54	986.12	32.63	32.50	205.17	23.29	2927.75	nd*	319.28
# 2	2.50	1156.65	35.36	14.98	166.07	6.45	458.18	nd*	302.80

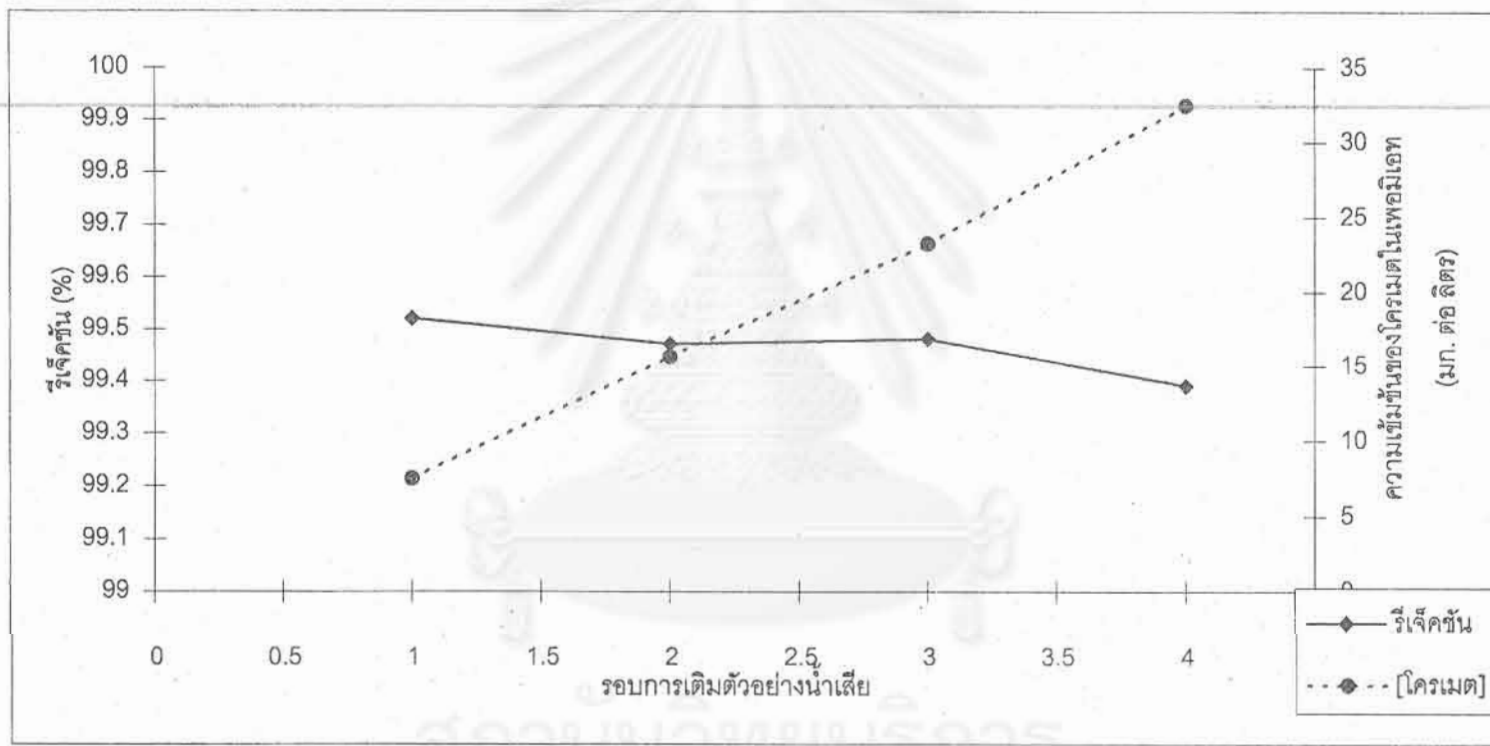
nd\* : ค่าต่ำกว่าขีดจำกัดของการตรวจวัด

หากค่าความเข้มข้นของโครเมตในเพอมิเอกและเบอร์เทินต์รีเจ็คชันของน้ำเสียตัวอย่างที่ 1 ดังแสดงในรูปที่ 4.22 พบว่า เมื่อผ่านน้ำตัวอย่างรอบที่ 1-4 ปรากฏว่าเบอร์เทินต์รีเจ็คชันของ โครเมตเปลี่ยนแปลงไปน้อยมาก คิดเป็นค่าเฉลี่ยของรีเจ็คชันได้  $99.47\% \pm 0.05$  การวิเคราะห์ทางสถิติ ที่ระดับความเชื่อมั่นทางสถิติ 99.5 แสดงว่าค่ารีเจ็คชันของโครเมตไอโอนที่ได้จากการเติมน้ำเสียแต่ละรอบไม่แตกต่างกัน และเมื่อเปรียบเทียบกับค่ารีเจ็คชันของโครเมตไอโอนในการทดลองที่ไม่เติมไอโอนได้(หัวข้อ4.2) พบว่า มีความแตกต่างกัน แต่ไม่มีนัยสำคัญ

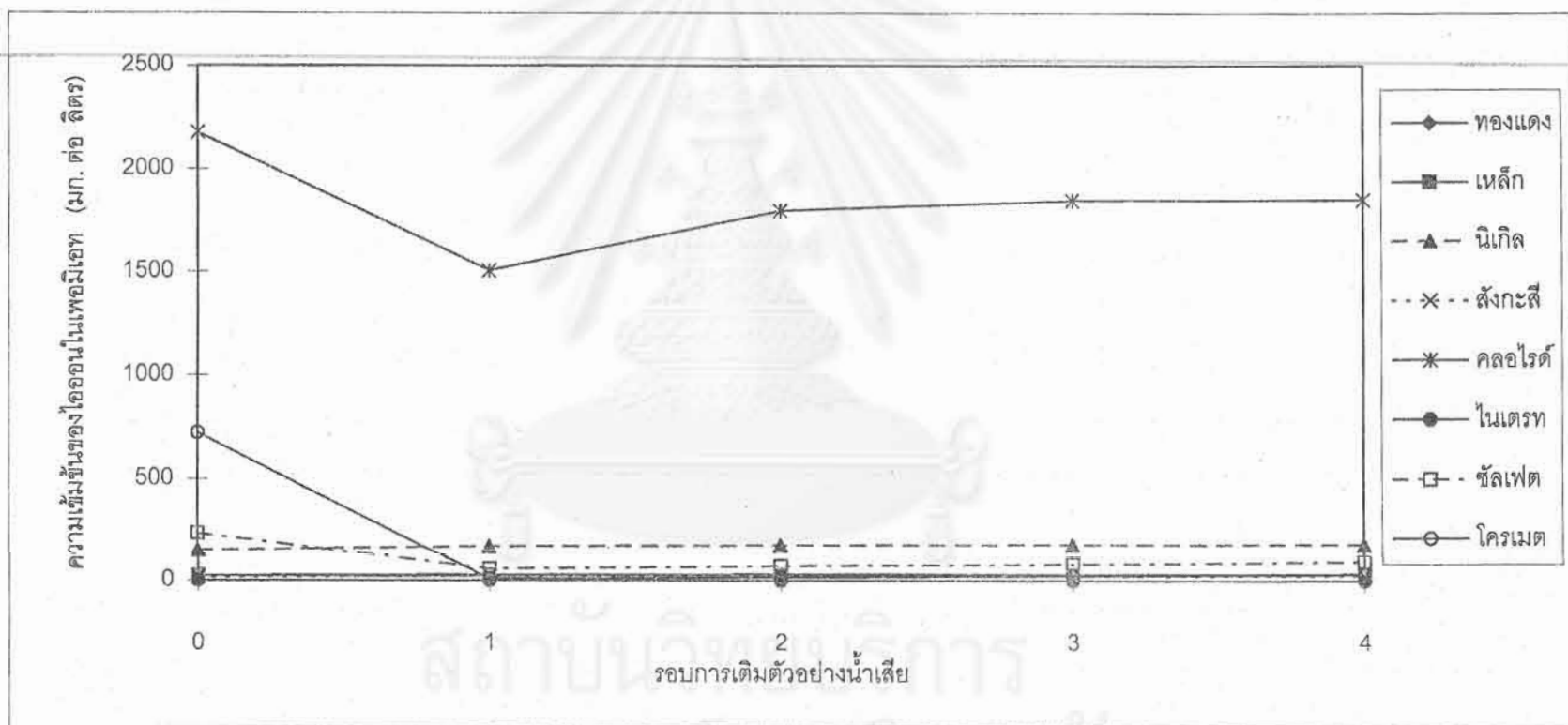
การหาปริมาณไอโอนโครเมตในเพอมิเอก (รูปที่ 4.22) แสดงการเพิ่มขึ้นตามจำนวนรอบ การเติมน้ำเสียจาก 7.46 เป็น 32.45 มก. ต่อ ลิตร เมื่อเพิ่มจำนวนรอบจาก 1 -4

การหาปริมาณไอโอนชนิดอื่นๆในเพอมิเอก ดังแสดงในรูป 4.23 แสดงว่า การเพิ่มรอบ การเติมน้ำตัวอย่างถึง 4 รอบ ทำให้ความเข้มข้นของไอโอนในเพอมิเอกต่างไปจากความเข้มข้นของไอโอนในสเตอร์เซลล์ก่อนทำการอัลตราไฟลเตอร์ชัน คือ แคทไอโอนทุกตัวมีการเพิ่มขึ้นอย่างต่อเนื่อง จากเริ่มต้นจนถึงไซเดลที่ 4 ดังนี้ ทองแดง 28% เหล็ก 21% นิกели 19% และสังกะสี 42% ผลที่ได้นี้แตกต่างจากผลที่ได้จากการศึกษาโดยใช้น้ำเสียสังเคราะห์ทุกไอโอน เพราะน้ำเสียสังเคราะห์ของทุกแคทไอโอนแสดงปริมาณไอโอนในเพอมิเอกลดลง เมื่อพิจารณาแนวไอโอนในน้ำเสียตัวอย่างที่ 1 นี้ แสดงความเข้มข้นของแอนไอโอนทุกตัวมีค่าลดลง โดยคลอไรด์ 16% ซัลเฟต 60% และ โครเมต 95.5% เมื่อเทียบกับผลที่ได้จากการศึกษาโดยใช้น้ำเสียสังเคราะห์ของคลอไรด์และซัลเฟต พぶว่า คลอไรด์ให้ผลแตกต่าง และซัลเฟตให้ผลใกล้เคียง แอนไอโอนในตัวอย่างน้ำเสียจริงๆแสดงให้เห็นว่า ไอโอนที่มีประจุลบสองของซัลเฟตจะบังคับพลอตอิเล็กตร้าไลต์ได้ดีกว่าประจุลบหนึ่ง

ผลการวิเคราะห์หาปริมาณไอโอนในน้ำเสียตัวอย่างที่ 2 ดังแสดงในตารางที่ 4.2 ตัวอย่าง มีความเป็นกรดมีค่า pH = 2.50 ตัวอย่างมีโครเมตมากสุดคือ 1156.65 มก. ต่อ ลิตร



รูปที่ 4.22 รีเจ็คชันและความเข้มข้นของโครงเมตไอกอนในเพคอมิเกทของน้ำเสียตัวอย่างที่ 1



รูปที่ 4.23 ปริมาณไอโอนในเพอเมิร์กของน้ำเสียตัวอย่างที่ 1

รองลงมาเป็นคลอไรด์ และซัลเฟต เท่ากับ 458.18 และ 302.80 มก. ต่อ ลิตร ตามลำดับ และมี แคทไอโอนนิเกิด มากสุดคือ 166.07 มก. ต่อ ลิตร ผลการทดลองหาค่าความเข้มข้นของโครเมต ในเพอมิเอกและเปอร์เซ็นต์รีเจ็คชันของน้ำเสียตัวอย่างที่ 2 ดังแสดงในรูปที่ 4.24 พบว่า ให้ผล การทดลองเหมือนตัวอย่างน้ำเสียตัวอย่างแรก คือ เมื่อผ่านน้ำตัวอย่างถึง 4 รอบ ปรากฏว่า เปอร์เซ็นต์รีเจ็คชันของโครเมตเปลี่ยนแปลงไปน้อยมาก คิดเป็นค่าเฉลี่ยของรีเจ็คชันได้  $99.58\% \pm 0.14$  การวิเคราะห์ทางสถิติ ที่ระดับความเชื่อมั่นทางสถิติ 99.5 แสดงว่าค่ารีเจ็คชันของ โครเมตไอกอนของการเติมน้ำเสียแต่ละรอบไม่แตกต่างกัน เมื่อเปรียบเทียบกับค่ารีเจ็คชันของ โครเมตไอกอนในการทดลองที่ไม่เติมไอกอนใดๆ(หัวข้อ 4.2) พบว่า มีความแตกต่างกัน แต่ไม่มีนัย สำคัญ

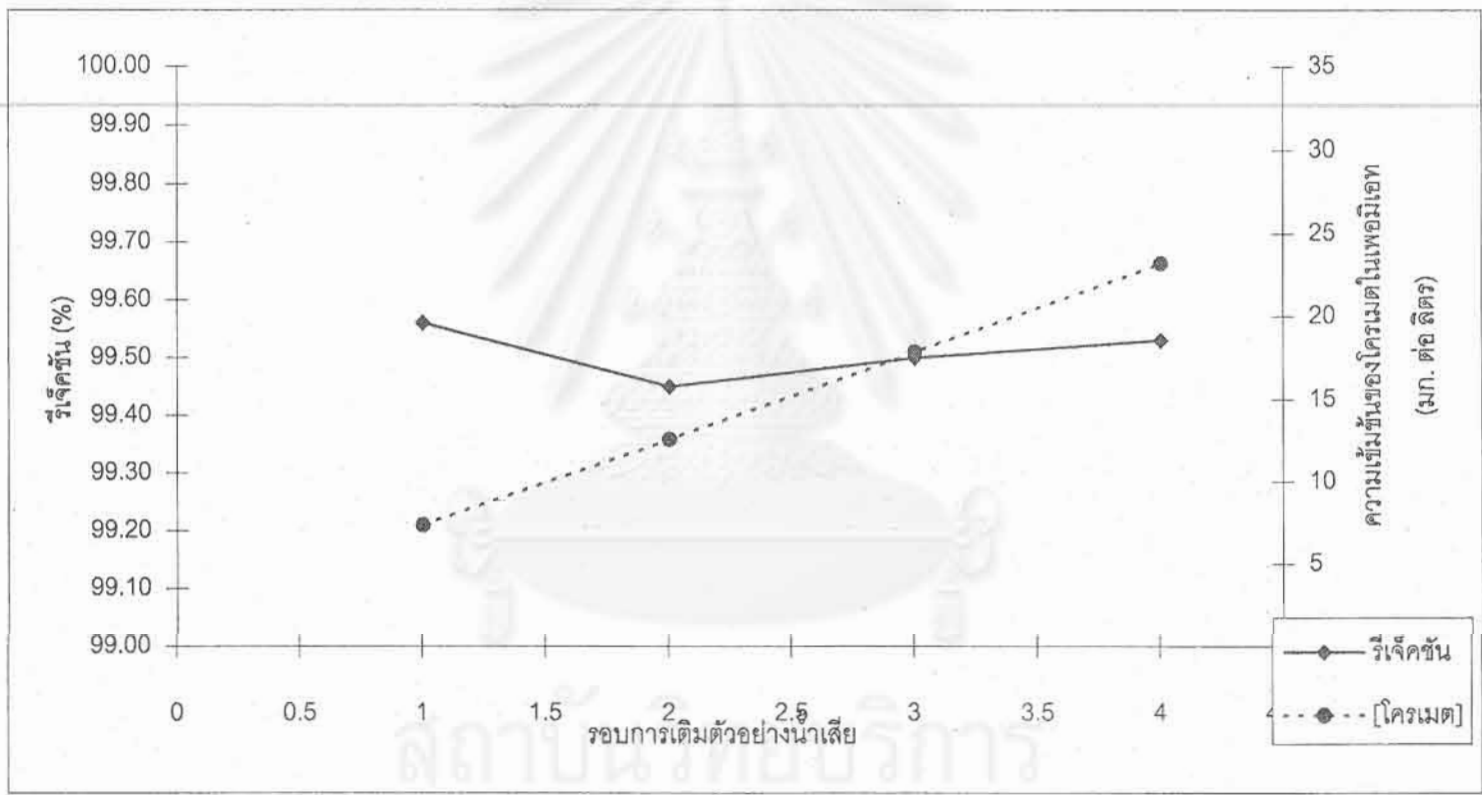
การหาปริมาณไอกอนโครเมตในเพอมิเอก (รูปที่ 4.24) แสดงการเพิ่มขึ้นตามจำนวนรอบ การเติมน้ำเสียจาก 7.33 เป็น 23.18 มก. ต่อ ลิตร เมื่อเพิ่มจำนวนรอบจาก 1 - 4

การหาปริมาณไอกอนชนิดอื่นๆในเพอมิเอก ดังแสดงในรูป 4.25 แสดงว่า การเพิ่มรอบการเติมน้ำ ตัวอย่างถึง 4 รอบ ทำให้ความเข้มข้นของไอกอนในเพอมิเอกต่างไปจากความเข้มข้นของไอกอน ในสเตอร์เซลล์ก่อนทำการทดสอบ เครื่อง คือ แคทไอกอนทุกตัวมีค่าเพิ่มขึ้นและลดลง ซึ่งแตกต่าง จากการน้ำเสียตัวอย่างที่ 1 จากเริ่มต้นจนถึงไอล์ที่ 4 สวนนิเกิลและสังกะสี แสดงการเพิ่มขึ้น อย่างต่อเนื่องเป็น 21% และ 34% ตามลำดับ ผลที่ได้นี้แตกต่างจากผลที่ได้จากการศึกษาโดยใช้ น้ำเสียสังเคราะห์ทุกไอกอนในห้องเดียวกับตัวอย่างที่ 1 การวิเคราะห์แอนไอกอนในน้ำเสีย แสดงคลอไรด์มีค่าเพิ่มขึ้น 38% สารซัลเฟตและโครเมตลดลง 77% และ 97% ตามลำดับ

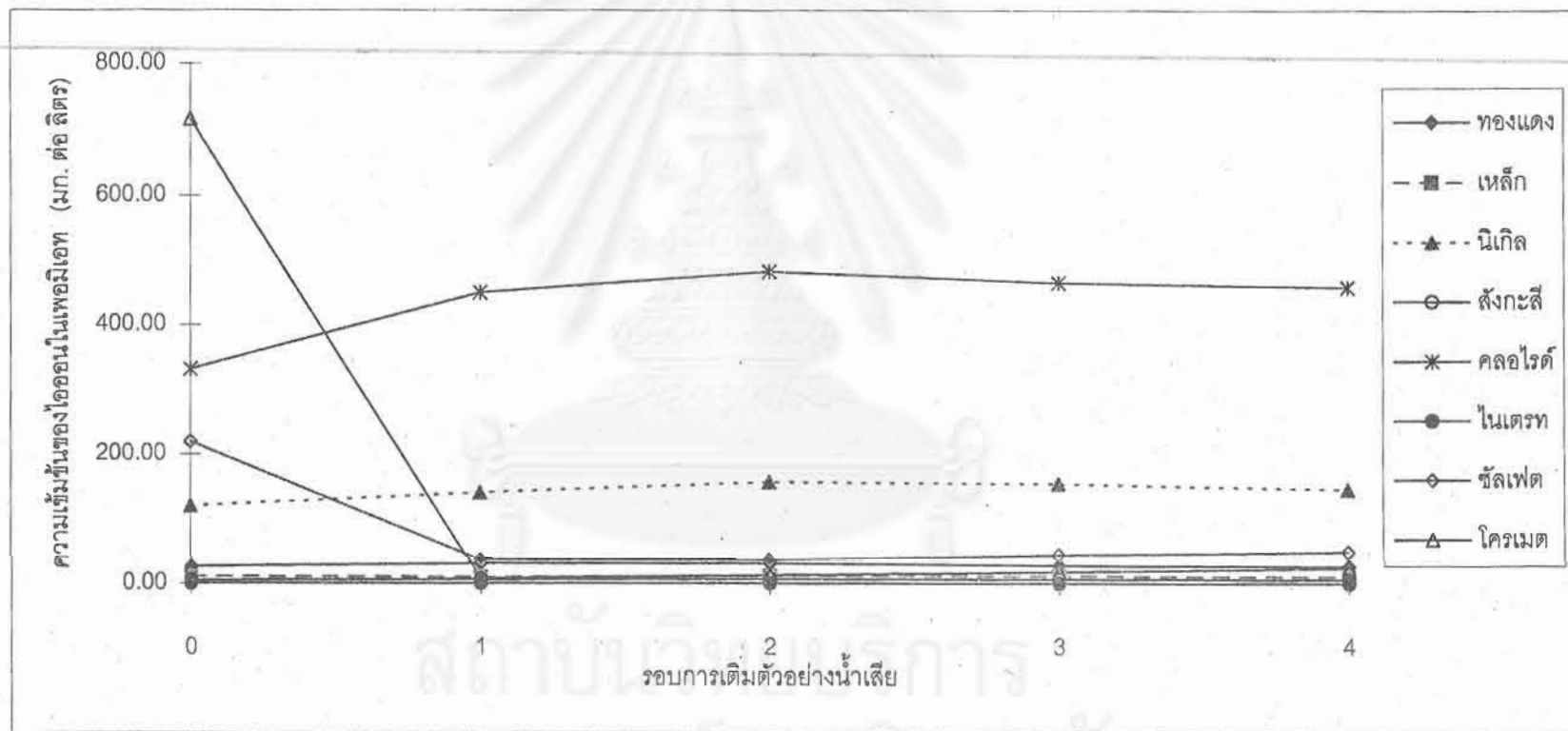
การใช้พอลิอิเล็กโทรไอล์เพื่อจับไอกอนโครเมตออกจากน้ำทิ้ง ในการทดลองนี้ ได้แสดงให้ เห็นว่าพอลิอิเล็กโทรไอล์สามารถช่วยการกรองโครเมตไอกอนโดยวิธีอัดราฟิลเตอร์ชั้นได้ ปริมาณ โครเมตในน้ำทิ้งลดลงเกินกว่า 100 เท่า ของปริมาณเริ่มต้น

เป็นที่สังเกตว่า ไม่มีตกอนของไอกอนต่างๆเกิดขึ้นในขณะทำการทดสอบในเพอมิเอก ตัวอย่างน้ำเสีย เพาะสารละลายน้ำเสียมีความเป็นกรด นอกจากนี้ความเข้มข้นของโครเมตในเพ อเมติออกซิเจนที่จะปล่อยน้ำทิ้งผ่านอัดราฟิลเตอร์ชั้นแล้วทิ้งสูท่อระบายน้ำ เพื่อให้ได้น้ำทิ้งอยู่ภายใต้มาตรฐานของสิ่งแวดล้อม จะต้องผ่านสารละลายน้ำเพอมิเอกผ่านอัดราฟิลเตอร์ชุดที่สองเพื่อ ให้น้ำทิ้งอยู่ในเกณฑ์น้ำทิ้งที่ปลอดภัยต่อไป

จากการทดลองพบว่า ปริมาณความเข้มข้นของไอกอนบทุกๆตัว หลังจากที่ผ่าน เมมเบรนอัดราฟิลเตอร์ชั้น แล้วในรอบที่ 1 ต่างกับไอกอนบทุกในน้ำทิ้งไม่นัก แสดงว่าอาจมี



รูปที่ 4.24 รีเจ็คชันและความเข้มข้นของครอเมต์ในตอนในเพคอมิເກຫຼານໍາເດີຍຕັວຢ່າງທີ 2



รูปที่ 4.25 ปริมาณไอโอนในเพอมมิເຄຫອນນ້າເສීຍຕ້ວຍຢ່າງທີ 2

การรวมตัวกับบิคราม็ตไออ่อนได้เพียงเล็กน้อย เพราะอาจเกิดการรวมตัวกับคล้อไรด์ไออ่อนแทน ซึ่งสังเกตได้จากผลของปริมาณคล้อไรด์ไออ่อนในแต่ละรอบของการทดลองมีปริมาณลดลง ส่วนในเดรทไม่สามารถตรวจพบได้ ในน้ำทึบจากโรงงานที่นำมาศึกษาชั้ลเฟต์ไออ่อนมีปริมาณ ความเข้มข้นลดลงต่างจากตอนเริ่มต้นอย่างมาก ซึ่งก็อาจจะไปรวมตัวกับพอลิอิเล็กโทรไอล์ต์ หรือ กับไออ่อนบางบางส่วนก็ได้

## สถาบันวิทยบริการ จุฬาลงกรณ์มหาวิทยาลัย

## บทที่ 5

### บทสรุป

ชนิดของไออ่อนที่อยู่ในน้ำเสียของโรงงานชูบโครเมียม ที่เลือกศึกษาในรายงานนี้ มีแคทไออ่อน คือ ทองแดง เหล็ก นิกเกิล ตะกั่ว และสังกะสี และแอนไออ่อน คือ โครเมต คลอไรด์ ไซยาไนด์ ในเดรท และชัลเฟต จากการวิเคราะห์ตัวอย่างพบว่า มีแคทไออ่อนตะกั่วและแอนไออ่อนไซยาไนด์ อยู่น้อยมาก แสดงว่า โรงงานชูบไม่ได้ใช้ไออ่อน 2 ชนิดนี้ในกระบวนการ น้ำตัวอย่างที่ได้จากโรงงานนี้ ยังไม่ได้ผ่านการบำบัด จึงมีปริมาณของโครเมตค่อนข้างสูงอยู่ในช่วง 187 - 600 มก. ต่อ ลิตร นอกจากนี้ คลอไรด์ไออ่อนอยู่ในช่วง 50 - 4100 มก. ต่อ ลิตร และชัลเฟต 130 - 270 มก. ต่อ ลิตร

การศึกษาหาอัตราส่วนโน้มของพอลิอิเล็กโทรไลต์ที่ใช้จับโครเมตไออ่อนก่อนผ่านกรองแบบอัลตราฟิลเตอร์ ได้ค่าอัตราส่วนโน้มของพอลิอิเล็กโทรไลต์ต่อโครเมตที่ 10/1 และสูงกว่านี้ ให้ค่าเปอร์เซ็นต์รีเจ็คชันสูงกว่า 99.50% การใช้อัตราส่วน 20/1 ให้โครเมตเล็ดลด 1.65 มก. ต่อ ลิตร

การศึกษาผลกระบทของแคทไออ่อน ทองแดง เหล็ก นิกเกิล สังกะสี ที่ความเข้มข้นในช่วง 20 - 100 มก. ต่อ ลิตร ที่มีต่อการทำอัลตราฟิลเตอร์ที่มีพอลิอิเล็กโทรไลต์อยู่ในสภาพที่ทดลองนี้ สารละลายมีความเป็นกลาง เมื่อการทำฟิลเตอร์น้ำผ่านไปประยะหนึ่ง สารละลายรีเทนทดมีความเข้มข้นขึ้น เกิดการตัดตะกอนโครเมตของ ทองแดง เหล็ก และสังกะสี แต่ว่าไม่มีผลกระทบต่อค่ารีเจ็คชันที่ เมมเบรนมีต่อโครเมตไออ่อน ค่ารีเจ็คชันจากผลกระบทของทุกไออ่อนไม่แตกต่างกัน แต่ทว่าความเข้มข้นของไออ่อนตัวที่ไม่ตัดตะกอนมีค่าเท่ากับความเข้มข้นของสารละลายเริ่มต้น คือ นิกเกิล ทว่าเวลาของการทำอัลตราฟิลเตอร์จะผลกระทบของไออ่อนทองแดง นิกเกิล และสังกะสีมีความแตกต่างกันน้อยที่สภาวะที่ทำการศึกษานี้ ยกเว้นเหล็กทำให้เวลาเพิ่มขึ้นอย่างมากเมื่อความเข้มข้นของเหล็กเกิน 40 มก. ต่อ ลิตร

การศึกษาผลกระบทของแอนไออ่อน คลอไรด์ ในเดรท และชัลเฟต ที่ความเข้มข้นในช่วง 1000 - 6000 มก. ต่อ ลิตร ปรากฏว่า ค่ารีเจ็คชันของเมมเบรนที่มีต่อโครเมตไออ่อนลดตามความเข้มข้นของแอนไออ่อนที่เพิ่มขึ้น ไออ่อนต่างชนิดกัน เช่น ในเดรท และชัลเฟตไออ่อนแสดงผลกระทบต่อรีเจ็คชันเหมือนกัน ปริมาณของในเดรท ชัลเฟต และปริมาณโครเมตจากทั้งสองสารละลายที่ออกมากในเพอมิเอกมีค่าใกล้เคียงกัน แสดงว่า สภาวะที่ศึกษานี้ พอลิอิเล็กโทรไลต์ไม่แสดงความซับซ้อน

กับไอโอนโดยเฉพาะ แต่ประจุสองลบของชัลเฟตทำให้เวลาของการทำอัลตราฟิลเตอร์นานขึ้น ในขณะที่เวลาของไอโอนในเดรนและคลอร่าไดไม้แตกต่างกัน

การใช้พอลิอิเล็กโทรไรล์เพิ่มภารกรองโครเมตโดยวิธีอัลตราฟิลเตอร์กับด้วยอย่างน้ำเสียของโรงงานชุมบโครเมียม “ได้ทำโดยการเติมน้ำเสียเข้าไปในสเตอร์เซลล์ 4 ครั้ง ต่อ 1 กระบวนการ ความเข้มข้นของไอโอนต่างๆ ในรีเทนเนทมีการสะสมและเพิ่มขึ้นทุกครั้ง ขึ้นอยู่กับ pH ของสารละลาย ในสภาวะที่ศึกษาไม่แสดงการตกตะกอนของไอโอนชนิดใดในรีเทนเนท ความเข้มข้นของโครเมตในรีเทนเนท ครั้งสุดท้ายเพิ่มขึ้นกว่า 10 เท่า ความเข้มข้นของแคทไอโอนในรีเทนเนทเพิ่มขึ้นไม่สูง ความเข้มข้นของแอน ไอโอนชัลเฟตและโครเมตถูกจับไว้ได้ดีในรีเทนเนท โดยชัลเฟตถูกจับไว้ได้ 60 - 77% และ โครเมตถูกจับไว้ได้ 95 - 97% ไอโอนเหล่านี้ไม่แสดงผลกรบทบต่อค่ารีเจ็คชันของโครเมตไอโอนเหมือนดังที่ได้ศึกษากับน้ำเสียสังเคราะห์ รีเจ็คชันมีค่าถึง 99.5% นอกจากนี้ ความเป็นกรดของสารละลายน้ำเสียทำให้ แคทไอโอนไม่ตกตะกอน และอาจเป็นเหตุผลอธิบายที่ค่ารีเจ็คชันของเมมเบรนมีค่าสูง

การใช้พอลิอิเล็กโทรไรล์เพื่อช่วยเพิ่มภารกรองโครเมตด้วยวิธีอัลตราฟิลเตอร์ที่ได้ศึกษานี้ แสดงให้เห็นว่า สามารถนำมาใช้งานได้จริงกับด้วยอย่างน้ำเสีย ไอโอนต่างๆ ในตัวอย่างน้ำไม่มีผลกรบทบต่อค่ารีเจ็คชัน วิธีการนี้เป็นอีกทางเลือกหนึ่งของการกำจัดโครเมตออกจากน้ำทิ้งจากโรงงานชุมบโครเมียม เนื่องจาก ลดการเติมสารเคมี และลดขนาดของเสียงลงได้มาก นอกจากนี้ พอลิอิเล็กโทรไรล์ที่ใช้มีมีพิษต่อสิ่งแวดล้อม

### งานในอนาคต

การศึกษานี้เป็นการใช้อัลตราพิลเตรชันทำในสเตอร์เซลล์ซึ่งหมายความว่าการศึกษาผลกรอบโดยไม่สัมผัสถึงสารเคมีและค่าใช้จ่ายมาก แต่ระบบไม่สามารถทำเป็นระบบต่อเนื่องได้ ก้าวต่อไปของงานวิจัยควรทดลองใช้อัลตราพิลเตรชันที่เป็นระบบต่อเนื่องเพื่อความเหมาะสมที่จะนำไปใช้ในอุตสาหกรรมต่อไป

การศึกษานี้ได้แสดงให้เห็นว่าการใช้พอลิอิเล็กโตรไรต์เพิ่มภาระของโครงสร้างโดยใช้อัลตราพิลเตรชันให้ได้จริงกับตัวอย่างน้ำเสียจากโรงงานชูบโครงเมียม แต่ปริมาณของโครงสร้างต้องอนุทิ้อกมาในเพอมิเอทังมีความเข้มข้นสูงเกินมาตรฐานของน้ำทิ้ง ควรส่งเพอมิเอทเข้าสู่ระบบพอลิอิเล็กโตรไรต์เพิ่มภาระของอัลตราพิลเตรชันอีกชุด เพื่อให้ได้น้ำทิ้งที่เป็นไปตามมาตรฐาน

พอลิอิเล็กโตรไรต์ที่ใช้จับโครงเมตยังคงค้างอยู่ในรีเทนเนตเป็นสารคอมเพล็กซ์กับโครงเมตเข้มข้น น่าจะศึกษาการนำเอาพอลิอิเล็กโตรไรต์กลับมาใช้ใหม่ได้อีก โดยการแยกเอาโครงเมตออกโดยการตกรตะกอน ส่วนพอลิอิเล็กโตรไรต์ยังคงอยู่ในสารละลายป้อนกลับเข้าระบบภาระของต่อไป

ศึกษาการแยกโครงเมตโดยการตกรตะกอน และการทำให้สารมีความบริสุทธิ์เหมาะสมต่อการนำกลับมาใช้ใหม่ในกระบวนการกรองชูบโครงเมียมต่อไป

สถาบันวิทยบริการ  
จุฬาลงกรณ์มหาวิทยาลัย

## เอกสารอ้างอิง

ควบคุมมลพิช, กรม, 2539, สถานการณ์และการจัดการปัญหามลพิษทางน้ำ ปี พ.ศ. 2539,

17-20, กรุงเทพมหานคร, กรมควบคุมมลพิช

พุทธิสาร ชั้ยพันธุ์, 2538, การนำบัดน้ำเสียคร้มเมี่ยมจากโรงงานขับไล่ด้วยวิธีการแลกเปลี่ยนประจุไอโอดีน วิทยานิพนธ์ปริญญามหาบัณฑิต สาขาวิชาชีววิทยาศาสตร์สภาวะแวดล้อม จุฬาลงกรณ์มหาวิทยาลัย

โรงงานอุดสาหกรรม กรม (ม.ป.ป.) วิธีการกำจัดน้ำทิ้งจากโรงงานอุดสาหกรรม, กรุงเทพมหานคร กรมโรงงาน (อัสดำเนา)

โรงงานอุดสาหกรรม, กรม. 2538. ทำเนียบร้อยของโรงงานอุดสาหกรรม, กรุงเทพมหานคร กรมโรงงาน (อัสดำเนา)

สมาน ตั้งทองทวี, 2537, อุดสาหกรรมและสิ่งแวดล้อม: บทบาทของศูนย์บริการกำจัดากาอุดสาหกรรมในกระบวนการกำจัดากาของเสียอันตรายในปัจจุบันและอนาคต (อัสดำเนา)

ส่งเสริมอุดสาหกรรม, กรม (ม.ป.ป.) การขัดขึ้นงานก่อนการขับ กรุงเทพมหานคร สถาบันพัฒนาอุดสาหกรรมเครื่องจักรกลและโลหะการ กรมส่งเสริมอุดสาหกรรม กระทรวง อุดสาหกรรม (อัสดำเนา)

ส่งเสริมอุดสาหกรรม, กรม (ม.ป.ป.) การขับครอมเมี่ยม กรุงเทพมหานคร สถาบันพัฒนาอุดสาหกรรมเครื่องจักรกลและโลหะการ กรมส่งเสริมอุดสาหกรรม กระทรวง อุดสาหกรรม (อัสดำเนา)

ส่งเสริมอุดสาหกรรม, กรม (ม.ป.ป.) การขับครอมเมี่ยมในอุดสาหกรรม (อาร์ดิโครม) กรุงเทพมหานคร, สถาบันพัฒนาอุดสาหกรรมเครื่องจักรกลและโลหะการ กรมส่งเสริมอุดสาหกรรม กระทรวง อุดสาหกรรม กระทรวงอุดสาหกรรม. (อัสดำเนา)

ส่งเสริมอุดสาหกรรม, กรม (ม.ป.ป.) การล้างขึ้นงานก่อนทำการขับ กรุงเทพมหานคร, สถาบันพัฒนาอุดสาหกรรมเครื่องจักรกลและโลหะการ กรมส่งเสริมอุดสาหกรรม กระทรวง อุดสาหกรรม. (อัสดำเนา)

สำนักงานคณะกรรมการพัฒนาการเศรษฐกิจและสังคมแห่งชาติ, 3-4 มีนาคม 2538, ในเอกสารประกอบการสัมมนาระดับชาติ เรื่องแนวคิดและแนวทางการพัฒนาประเทศไทยใน

ช่วงแผนพัฒนาฯ ฉบับที่ ๘ ณ โรงแรมแอนบานสเดอเรชต์ จอมเทียน ชลบุรี  
สมเกียรติ สิทธิพากผล (ม.ป.ป.), ระบบการกำจัดน้ำเสียของMIDI กรุงเทพมหานคร สถาบัน  
พัฒนาอุตสาหกรรมเครื่องจักรกลและโลหะการ กรมส่งเสริมอุตสาหกรรม กระทรวง  
อุตสาหกรรม

American Public Health Association, 1992, Standard Method for the Examination  
Of Water and Wastewater, 18<sup>th</sup> edition, Washington D. C.

Bare, W., and Nordmeier, E., 1996, "Studies of Polyelectrolyte Solutions, Effects  
of Counterion Binding by Dextran Sulfate and Dextran Phosphate in  
Aqueous/Organic Solvents", Polymer Journal, 28(8), 712-726

Benefield, L. D., Judkins, J. F., and Weand, B. L., 1982, Process Chemistry for  
Water and Wastewater Treatment, 345-354 and 422-442 New Jersey,  
Prentice Hall

Bourikas, K., Spanos, N., and Lycourghiotis, A., "Advances in the Mechanism of  
Deposition of the CrO<sub>4</sub><sup>2-</sup>, HCrO<sub>4</sub><sup>-</sup>, and Cr<sub>2</sub>O<sub>7</sub><sup>2-</sup> Species on the Surface of Titania  
Consisting of Anatase and Rutile", Langmuir , 13 ,435,1997

Brooks, C. S., 1991, Metal Recovery from Industrial Waste, 73-76, Michigan,  
Lewis Publishers

Cheryan, M., 1986, Ultrafiltration Handbook, Pennsylvania, Technomic Publishing  
Inc.

Christian, S. D., Bhat, S. N., Tucker, E. E., Scamehorn, J. F., and El-Sayed, D. A., 1988,  
"Micell-Enhanced Ultrafiltration of Chromate Anion from Aqueous Stream"  
AIChE Journal, 34(2), 189-194

Christian, S. D., Tucker, E. E., and Scamehorn, J. F., 1990, "Colloid-Enhanced  
Ultrafiltration Process for Purifying Aqueous Streams and Reservoirs",  
Am Environ Lab, 2(1), 13-20

Christian, S. D., Tucker, E. E., and Scamehorn, J. F., 1994, "Colloid-Enhanced  
Ultrafiltration in Remediating Wastewater and Groundwater", Chemical  
Specialties, 94, USA, Symposium

- Dautzenberg, H., Jaeger, W., Kotz, J., Philipp, B., Seidel, C., and Stecherbina, D., 1994, "Polyelectrolytes", Formation, Characterization and Application, Chapter 1 & 7, Hanser and Gardner Publications, Inc.
- Diazcruz, J. M., Tauler, R., Grabaric, B. S., Esteban, M., and Casassas, E., 1995, "Application of Multivariate Curve Resolution to Voltammetric Data, 1 Study of Zn(II) Complexation with Some Polyelectrolytes", Journal of Electroanalytical Chemistry, 393(1-2), 7-16
- Dunn, R. O., Scamehorn, J. F., and Christian, S. D., 1987, "Concentration Polarization Effects in the Use of Micellar-Enhanced Ultrafiltration to Remove Dissolved Organic Pollutants from Wastewater", Separation Science and Technology, 22(2&3), 763-771
- Dunn, R. O., Scamehorn, J. F., and Christian, S. D., 1989, "Simultaneous Removal of Dissolved Organics and Dissolved Metal Cations from Water Using Micellar-Enhanced Ultrafiltration", Colloids and Surfaces, 35, 49
- Elving, P.J., 1982, Treatise on Analytical Chemistry, Part1:Theory and Practice, 2<sup>nd</sup> Ed., Chapter 4-6. New York, John Wiley & Sons
- Furusawa, K., Ueda, M., Chen, M., and Tobori, N., 1995, "New Concept for Coal-Water Mixture Stabilization Using a Polyelectrolyte", Colloid and Polymer Science, 273(5), 490-495
- Gutman, R. G., 1987, Membrane Filtration, Bristol, UK, Adam Hilger
- Hermeier, I., Herzig, M., Knoche, W., Pohlmeier, A., and Narres, H. D., 1996, "Kinetics of Complexation of Heavy-Metal Ions with Polyelectrolytes in Aqueous-Solution", Berichte der Bunsen-Gesellschaft-Physical Chemistry Chemical Physics, 100(6), 788-795
- Juang, R. S., and Chen, M. N., 1996, "Retention of Copper(II)-EDTA Chelates from Dilute Aqueous-Solutions by a Polyelectrolyte-Enhanced Ultrafiltration Process", Journal of Membrane Science, 119(1), 25-37

- Kopchinski, A. F., and Meloan, C. E., 1996, "The Synthesis, Characterization, and Testing of a Reagent for the Selective of Dichromate and Perchlorate from Aqueous Solution", *Separation Science and Technology*, 3(1), 133-140
- Krehbiel, D. K., Scamehorn, J. F., Ritter R., Christian S. D., and Tucker, E. E., 1992, "Ion-Expulsion Ultrafiltration to remove chromate from Wastewater", *Separation Science and Technology*, 27(13), 1775-1787
- Lis, S., Wang, Z. M., and Chopping, G. R., 1995, "Spectroscopic Study of Ions Binding in Synthetic Polyelectrolytes Using Lanthanide Ions", *Inorganica Chimica ACTA*, 239(1-2), 139-143
- Morisset, P., 1954, Chromium Platimg, Robert Draper, England
- Mundkur, S.D., and Watters, J.C., 1993, "Polyelectrolyte-Enhanced Ultrafiltration of Copper from a Waste Stream", *Separation Science and Technology*, 28(5), 1157-1168
- Nordmeier, E., 1995, "Advances in Polyelectrolyte Research Counterion Binding Phenomena, Dynamic Processes, and the Helix-Coil Transition of DNA", *Macromolecular Chemistry and Physics*, 196(5), 1321-1374
- Oosawa, F., 1971, Polyelectrolyte. New York, Marcel Dekker
- Parsonage, E. E., 1996, "Double-Layer Capacitance of Poly(Acrylic Acid) at Metal/Water Interfaces", *Journal of Colloid and Interface Science*, 177(2), 353-358
- Pontius, F. W., 1990, Water Quality and Treatment, 4<sup>th</sup> Ed. Chepter 11, New York, McGraw-Hill
- Potter, K. and Mcfarland, E. W., 1996, "Ion-Transport Studies in Calcium Alginate Gels by Magnetic-Resonance Microscopy", *Solid State Nuclear Magnetic Resonanc*, 6(4) ,323-330
- Prasad, B. B. and Sundd, S., 1995, "A New Chelating Polyelectrolyte for Preconcentration and Separation of Trace-Metals Employing Resin-Impregnated Paper-Chromatography and Determination by Differential-Pules Anodic-Stripping Voltammetry", *Chromatographia*, 40(9-10), 571-576

- Prasad, B.B. and Sundd, S., 1995, "Silica Gel-Bonded Cationic Polyelectrolyte with Ferron as Counterion: Application to Preconcentration or Elimination of Trace-Metals", Bulletin of the Chemical Society of Japan, 60(2), 559-565
- Rao, L. F., Choppin, G. R., and Clark, S. B. 1994. A Study of Metal Humate Interactions Using Cation-Exchange. Radiochimica ACTA, 66-7, 141-147
- Rousseau, R.W., 1987, Handbook of Separation Process Technology, Chapter 18, New York, John Wiley & Sons
- Sasaki, K. J., Burnett, S. L., Christian, S. D., Tucker, E. E., and Scamehorn, J. F., 1989, "Polyelectrolyte Ultrafiltration of Multivalent Ions. Removal of Cu<sup>2+</sup> by Sodium Poly(Styrenesulfonate). Langmuir , 5, 363-369.
- Scamehorn, J. F., Christian, S. D., Tucker, E. E., and Tan, B. I., 1990, "Concentration Polarization in Polyelectrolyte-Enhanced Ultrafiltration", Colloids and Surfaces, 49, 259-267
- Scemehorn, J. F., Ellington, R. T., Christian, S. D., Penney, B. W., Dunn, R. O., and Bhat, S. N., 1986, "Removal of Multivalent Metal Cations from Water Using Micellar-Enhanced Ultrafiltration in Recent Advances in Separation Techniques III", AIChE Symp Ser , 250, 48-58
- Sjodin, U., and Odberg, L., 1996, "The Influence of Metal-Ions on Polyelectrolyte Titration", Colloids and Surfaces, 166(3) , 269-275
- Sriratana, S. 1995, Use of Polyelectrolyte-Enhanced Ultrafiltration (PEUF) to Remove Chromate From Water, Master's Thesis, The Petroleum and Petrochemical Collage, Chulalongkorn University
- Tabatabai, A., Scamehorn, J. F., and Christian, S. D., 1995, "Water Softening Using Polyelectrolyte-Enhanced Ultrafiltration", Separation Science and Technology, 30(2), 211-224
- Tang, J. X., and Janmey, P. A., 1996, "The Polyelectrolyte Nature of F-Actin and the Mechanism of Actin Bundle Formation", Journal of Biological Chemistry, 271(15) , 8556-8563

- Tucker, E. E., Christian, S. D., Scamehorn J. F., Uchiyama, H., and Guo, W., 1992,  
"Removal of Chromate From Aqueous Streams by Ultrafiltration and  
Precipitation", ACS Symposium, Chapter 7, 491, 84-98.
- Ulmann, Encyclopedia of Chemistry, 1986
- Vandenhoop, MA. GT., Benegas, J. C., and Vanleeuwen, H. P., 1995, "Stripping  
Voltammetry of Heavy Metal/Polyelectrolyte Complexes: 2 Analysis in Terms  
of Polyelectrolyte Theory", Analytica Chimica ACTA, 317(1-3), 327-334
- Volchek, K., Krentsel, E., Yu, Z., Shtereva G., and YU, D., 1993, Polymer binding /  
Ultrafiltration as a Method for Concentration and Separation of Metals,  
Elsevier Science Publisher, 253-272
- Weber, W. J., 1972, Physicochemical Processes for Water Quality Control,  
Chapter 7, New York, John Wiley&Sons Inc.
- World Health Organization., 1988, Environmental Health Criteria 61, CHROMIUM,  
Geneva
- Zhang, S. S., Yang, L. L., and Liu, Q. G., 1995, " Impedance Study on the  
Interface of Polyelectrolyte and Metal Sodium", Solid State Ionics, 76(1-2),  
127-132

ภาคผนวก ก.

## การศึกษาอัตราส่วนของพอลิอีเล็กโตรไล์ต์ต่อโครเมต์ไอออนที่มีผลต่อ การกำจัดโครเมต์ไอออน

ความเข้มข้นของโครเมต 350.00 มก. ต่อ ลิตร  
 เตรียมสารละลายน้ำสเตอร์เซลล์ 300 มล. ใช้ปริมาณสารแต่ละตัวดังนี้  
 สารละลายน้ำโครเมต 1000.00 มก. ต่อ ลิตร จำนวน 105.00 มล.  
 พอลิอีเล็กโตรไอล์ต์เข้มข้น 0.5288 มิลลาร์ ตามอัตราส่วนที่เปลี่ยนไป  
 อัตราส่วนของพอลิอีเล็กโตรไอล์ต์ต่อโครเมตไอกอน 5/1, 10/1, 20/1, 30/1  
 ทำปริมาตรเป็น 300 มล. ด้วยน้ำกลั่นที่ปราศจากไออกอน  
 อัลดราฟิลเดรชัน  
 ปริมาตรของเพอมิເກ 200 มล.  
 ปริมาตรของรีเทນເກດ 100 มล.

อัตราส่วนพอลิอีเล็กโตร์ลิตต์ต่อโครเมต	โครเมตไออกอนในเพэмิเอก (มก.ต่อ ลิตร)	รีเจ็คชัน (%)
5/1	14.14	97.29
10/1	4.27	99.16
20/1	1.65	99.78
30/1	1.14	99.78

ภาคผนวก ข.  
การศึกษาผลกระบวนการของแคทไอคอน

ขั้ตตราส่วนของพอลิอิเล็กตร์ต่อครमेटไอคอน 20/1 (ไมล)

ความเข้มข้นของครมेटเริ่มต้น 350 มก. ต่อ ลิตร

เตรียมสารละลายในสเตอร์เซลล์ 300 มล. และใช้ปริมาณสารแต่ละตัวดังนี้

พอลิอิเล็กตร์ไวลด์เข้มข้น 0.03588, 0.4850, 0.5288 ไมลาร์

สารละลายครมेट 1000.00 มก. ต่อ ลิตร จำนวน 105.00 มล.

ชั้งแคทไอคอนของเกลือคลอไรด์แข็งใส่ลงในสารละลายให้มีความเข้มข้น

20, 40, และ 100 มก. ต่อ ลิตร

ทำปริมาตรเป็น 300 มล. ด้วยน้ำกลันที่ปราศจากไอคอน

อัลตราฟิลเตรชั่น

ปริมาตรของเพอเมิคท 200 มล.

ปริมาตรของรีเทนเกต 100 มล.

$\%(\text{โดย น้ำหนัก}) = (\text{น.ในเพอเมิคท}/\text{น.เริ่มต้น}) \times 100$

การทำทดลองทำซ้ำ 3 - 4 ครั้ง และรายงานค่าเฉลี่ย

สถาบันวิทยบริการ  
จุฬาลงกรณ์มหาวิทยาลัย

การศึกษาผลกระทบของทองแดงไออกอน

ครั้งที่	เวลา (นาที)	ความเข้มข้นของทองแดงไออกอน			ความเข้มข้นของโคโรเมต			รีจิคชัน (%)
		เริ่มต้น (มก.ต่อลิตร)	เพอมิเอก (มก.ต่อลิตร)	(%โดยน้ำหนัก)	รีเทนเนต (มก.ต่อลิตร)	เพอมิเอก (มก.ต่อลิตร)	(%โดยน้ำหนัก)	
1		20.00	0.25	0.83		2.22		99.59
2		20.00	0.83	2.77		2.49		99.56
3		17.92	0.80	2.98	943.17	1.78	0.12	99.81
เฉลี่ย±เบี่ยงเบน	112.3	$19.31 \pm 1.20$	$0.63 \pm 0.33$	$2.19 \pm 1.18$		$2.17 \pm 0.36$		$99.65 \pm 0.14$
1		40.00	0.90	0.15		2.35		99.58
2		40.00	1.53	2.55		2.69		99.54
3		38.43	1.52	2.26	1059.25	1.88	0.12	99.82
เฉลี่ย±เบี่ยงเบน	115.06	$39.48 \pm 0.91$	$1.32 \pm 0.36$	$1.65 \pm 1.31$		$2.31 \pm 0.40$		$99.65 \pm 0.15$
1		100.00	7.31	4.87		2.86		99.50
2		100.00	9.23	6.15		2.93		99.50
3		99.42	9.15	6.14	1008.46	2.07	0.14	99.79
เฉลี่ย±เบี่ยงเบน	115.54	$99.81 \pm 0.34$	$8.56 \pm 1.09$	$5.72 \pm 0.74$		$2.62 \pm 0.48$		$99.60 \pm 0.17$

การศึกษาผลกระบวนการของเหล็กไอกอน

ครั้งที่	เวลา (นาที)	ความเข้มข้นของเหล็กไอกอน			ความเข้มข้นของโครเมตไอกอน			รีจิคชัน (%)
		เริ่มต้น (มก.ต่อ ลิตร)	เพอมิเอท (มก. ต่อ ลิตร)	(%โดยน้ำหนัก)	รีเทนเกต (มก.ต่อ ลิตร)	เพอมิเอท (มก.ต่อ ลิตร)	(%โดยน้ำหนัก)	
1		20.00	0.02	0.07		2.92		99.47
2		18.34	0.17	0.62	912.12	2.47	0.18	99.73
3		18.59	0.17	0.61	946.03	3.78	0.27	99.60
เฉลี่ย±เบี่ยงเบน	$115.15 \pm 1.63$	$18.98 \pm 0.90$	$0.12 \pm 0.09$	$0.43 \pm 0.31$		$3.06 \pm 0.67$		$99.60 \pm 0.13$
1		40.00	0.02	0.03		3.04		99.45
2		35.64	0.16	0.30	839.22	3.17	0.25	99.62
3		36.51	0.17	0.31	855.04	2.99	0.23	99.65
เฉลี่ย±เบี่ยงเบน	$120.78 \pm 5.38$	$37.38 \pm 2.31$	$0.12 \pm 0.08$	$0.21 \pm 0.16$		$3.07 \pm 0.09$		$99.57 \pm 0.11$
1		100.00	2.87	1.91		3.43		99.38
2		99.16	2.98	2.00	852.78	3.39	0.26	99.60
3		106.28	3.04	1.91	824.53	3.47	0.28	99.58
เฉลี่ย±เบี่ยงเบน	$144.54 \pm 5.74$	$101.81 \pm 3.89$	$2.96 \pm 0.09$	$1.94 \pm 0.05$		$3.43 \pm 0.04$		$99.52 \pm 0.12$

การศึกษาผลกระบวนการของนิเกิลไอโอดิน

ครั้งที่	เวลา (นาที)	ความเข้มข้นของนิเกิลไอโอดิน			ความเข้มข้นของโครเมต์ไอโอดิน			รีจีคชัน (%)
		เริ่มต้น (มก.ต่อ ลิตร)	เพอ米เขต (มก. ต่อ ลิตร)	(%โดยน้ำหนัก)	รีเกนเกต (มก. ต่อ ลิตร)	เพอ米เขต (มก. ต่อ ลิตร)	(%โดยน้ำหนัก)	
1		20.00	19.72	65.73		2.10		99.64
2		20.00	18.79	62.63		2.18		99.61
3		21.19	20.24	63.68	1113.06	1.85		99.83
4		20.47	19.55	63.67	916.64	1.93		99.79
เฉลี่ย±เบี่ยงเบน	$114.95 \pm 1.49$	$20.42 \pm 0.56$	$19.58 \pm 0.60$	$63.93 \pm 1.30$		$2.01 \pm 0.15$		$99.72 \pm 0.11$
1		40.00	33.85	56.42		2.55		99.55
2		40.00	39.35	65.58		2.71		99.53
3		45.41	42.55	62.47	1070.74	2.10	0.13	99.80
4		41.66	37.76	61.40	1021.76	2.13	0.14	99.79
เฉลี่ย±เบี่ยงเบน	$117.33 \pm 1.39$	$41.77 \pm 2.55$	$38.37 \pm 3.62$	$61.47 \pm 3.81$		$2.37 \pm 0.30$		$99.67 \pm 0.15$
1		100.00	95.04	63.36		3.71		99.33
2		100.00	91.77	61.18		3.02		99.36
3		113.95	104.26	61.00	1004.84	2.92	0.19	99.71
4		89.35	92.71	69.17	875.95	3.41	0.26	99.61
เฉลี่ย±เบี่ยงเบน	$118.08 \pm 2.21$	$100.83 \pm 10.09$	$95.94 \pm 5.71$	$63.68 \pm 3.82$		$3.26 \pm 0.36$		$99.50 \pm 0.19$
1		553.29	526.37	63.42	899.69	13.92	1.03	98.45
2		586.63	538.01	61.14	1121.97	17.40	1.03	98.45
3		532.53	539.16	67.5	1066.83	17.48	1.09	98.36
เฉลี่ย±เบี่ยงเบน	$125.63 \pm 4.22$	$557.48 \pm 27.29$	$534.51 \pm 7.08$	$64.02 \pm 3.22$	$1029.50 \pm 115.75$	$16.26 \pm 2.03$	$1.05 \pm 0.03$	$98.42 \pm 0.05$

การศึกษาผลกระทบของสังกะสีไอคอน

ครั้งที่	เวลา (นาที)	ความเข้มข้นของสังกะสีไอคอน			ความเข้มข้นของโครเมต์ไอคอนในเพอ米ເಥ			รีเจ็คชัน (%)	
		เริ่มต้น (มก. ต่อ ลิตร)	เพอ米ເಥ (มก. ต่อ ลิตร)	(%โดยน้ำหนัก)	รีเทนເທດ (มก. ต่อ ลิตร)	เพอ米ເಥ (มก.ต่อลิตร)	(%โดยน้ำหนัก)		
1		20.62	17.53	56.68	1000.61	1.79	0.12	99.82	
2		19.78	16.64	56.08	855.86	2.06	0.16	99.76	
3		22.16	16.76	50.42	988.91	2.08	0.14	99.79	
เฉลี่ย±เบี่ยงเบน		112.48±9.19	20.85±1.21	16.98±0.48	54.39±3.45	948.46±80.41	1.98±0.16	0.14±0.02	99.79±0.03
1		39.70	36.15	60.70	1073.76	1.81	0.11	99.83	
2		35.82	32.47	60.43	964.34	2.39	0.16	99.75	
3		35.82	32.73	60.92	888.82	2.32	0.17	99.74	
เฉลี่ย±เบี่ยงเบน		117.86±1.14	37.12±2.24	33.78±2.05	60.68±0.24	975.64±92.99	2.18±0.32	0.15±0.03	99.77±0.05
1		100.00	80.74	53.83	1076.78	3.12	0.19	99.71	
2		105.98	70.86	44.57	902.01	3.43	0.25	99.62	
3		102.11	70.91	46.30	981.12	4.16	0.28	99.58	
เฉลี่ย±เบี่ยงเบน		118.81±0.33	102.70±3.03	74.17±5.69	48.23±4.92	986.64±87.51	3.57±0.53	0.24±0.04	99.64±0.07

ภาคผนวก ค.  
การศึกษาผลกระทบของแอนไอกอน

ขัตตราส่วนของพอลิอิเล็กตรอล์ต่อครमตไอกอน 20/1 (มีล)  
 ความเข้มข้นของครมตเริ่มต้น 350 มก. ต่อ ลิตร  
 เตรียมสารละลายในสเตอร์เจลล์ 300 มล. และใช้ปริมาณสารแต่ละตัวดังนี้  
 พอลิอิเล็กตรอล์เข้มข้น 0.2875, 0.4650, 0.5075, 0.5169 มิลลาร์  
 สารละลายครมต 1000.00 มก. ต่อ ลิตร จำนวน 105.00 มล.  
 ชั่งแอนไอกอนของเกลือโซเดียมแข็งใสลงในสารละลายให้มี-  
 ความเข้มข้น 1000, 3000, และ 6000 มก. ต่อ ลิตร  
 ทำปริมาตรเป็น 300 มล. ด้วยน้ำกลันที่ป้วาจากไอกอน  
 อัลตราฟิลเตอร์ชั้น  
 ปริมาตรของเพอมิเอก 200 มล.  
 ปริมาตรของรีเทนเนต 100 มล.  

$$\%(\text{โดยน้ำหนัก}) = (\text{นน. ในเพอมิเอก}/\text{นน. เริ่มต้น}) \times 100$$
  
 การทดลองทำซ้ำ 3 - 4 ครั้ง และรายงานค่าเฉลี่ย

สถาบันวิทยบริการ  
จุฬาลงกรณ์มหาวิทยาลัย

การศึกษาผลกระทบของคลอไรด์ไอโอดิน

ครั้งที่	ความเข้มข้นของคลอไรด์ไอโอดิน			ความเข้มข้นของโครเมต์ไอโอดิน			ร้อยเปอร์เซ็นต์ (%)	
	เพอมิเอท		รีเกนเนท	เพอมิเอท				
	เริ่มต้น	(mg.ต่อ ลิตร)		(mg.ต่อ ลิตร)	(mg.ต่อ ลิตร)	(%)โดยประมาณ		
1	1374.96	1318.41	63.92	1118.44	26.47	1.58	97.63	
2	1330.64	1336.38	66.95	1134.16	23.87	1.40	97.90	
3	1010.41	1061.98	70.07	1124.02	27.45	1.63	97.56	
4	1060.01	1008.64	63.43	1109.54	34.38	2.06	96.90	
เฉลี่ย±เบี่ยงเบน	1194.00±185.36	1181.35±170.19	66.10±3.07	1121.54±10.31	28.04±4.49	1.67±0.28	97.50±0.42	
1	3213.51	3201.85	66.42	889.02	105.93	7.94	88.08	
2	3361.37	3347.77	66.40	953.17	94.28	6.59	90.11	
3	3072.73	3065.93	66.52	1002.61	106.78	7.10	89.35	
4	3123.66	3090.02	65.95	925.21	105.37	7.59	88.61	
เฉลี่ย±เบี่ยงเบน	3192.82±126.55	3176.39±128.69	66.32±0.25	942.50±47.91	103.09±5.90	7.31±0.59	89.04±0.88	
1	6194.06	6126.72	65.94	719.91	197.92	18.32	72.51	
2	6276.64	6284.89	66.75	767.02	184.25	16.01	75.98	
3	6174.14	6054.59	65.38	794.66	196.27	16.46	75.30	
4	5818.23	5483.68	62.83	887.87	188.24	14.13	72.63	
เฉลี่ย±เบี่ยงเบน	6115.77±203.26	5987.47±349.36	65.23±1.69	792.36±70.75	191.67±6.51	16.23±1.72	74.11±1.79	

การศึกษาผลกระบวนการในเตราต์ไออ่อน

ครั้งที่	ความเข้มข้นของในเตราต์ไออ่อน			ความเข้มข้นของโคเรมด์ไออ่อน			รีจีคชัน (%)
	เริ่มต้น (มก. ต่อ ลิตร.)	เพอมิเอก (มก. ต่อ ลิตร.)	(%โดยน้ำหนัก)	รีเทนเนต (มก. ต่อ ลิตร.)	เพอมิเอก (มก.ต่อ ลิตร.)	(%โดยน้ำหนัก)	
1	1145.78	313.71	18.25	1138.48	14.34	0.84	98.74
2	963.09	215.52	14.92	1022.12	13.61	0.89	98.67
3	817.57	222.93	18.18	1129.83	15.70	0.93	98.61
4	885.87	258.99	19.49	1141.34	18.07	1.05	98.42
เฉลี่ย±เบี่ยงเบน	953.08±141.56	252.79±44.83	17.71±1.95	1107.94±57.42	15.43±1.96	0.93±0.09	98.61±0.14
1	3627.36	1471.11	27.04	971.13	68.44	4.70	93.50
2	3108.99	1225.15	26.27	1020.40	64.39	4.21	93.69
3	2965.85	1466.05	32.95	1129.25	71.45	4.22	93.67
4	3056.22	1445.07	31.52	892.23	71.95	5.38	91.94
เฉลี่ย±เบี่ยงเบน	3189.60±297.76	1401.85±118.33	29.45±3.29	1003.25±99.21	69.06±3.48	4.62±0.55	93.20±0.84
1	7023.74	4330.70	41.10	796.11	150.08	12.57	81.67
2	5475.48	3462.21	41.15	857.80	135.38	10.52	84.22
3	6058.41	3962.52	43.60	888.18	153.25	11.50	82.75
4	6202.26	3690.00	39.66	780.33	149.96	12.81	80.78
เฉลี่ย±เบี่ยงเบน	6189.97±638.52	3861.36±373.81	41.63±1.66	830.60±50.90	147.17±8.00	11.85±1.05	82.36±1.48

การศึกษาผลกระทบของชั้ลเพตไอก้อน

ครั้งที่	ความเข้มข้นของชั้ลเพตไอก้อน			ความเข้มข้นของโครงเมตไอก้อน			รีเจ็คชัน (%)
	เริ่มต้น (มก. ต่อ ลิตร)	เพคอมิเอก (มก. ต่อ ลิตร)	(%โดยน้ำหนัก)	รีเทนเนต (มก.ต่อ ลิตร)	เพคอมิเอก (มก.ต่อ ลิตร)	(%โดยน้ำหนัก)	
1	1134.32	184.08	10.82	1080.14	25.11	1.55	97.68
2	959.69	140.62	9.77	1135.88	22.91	1.34	97.98
3	884.71	125.46	9.45	1151.32	26.35	1.52	97.71
เฉลี่ย±เบี่ยงเบน	992.91±128.08	150.05±30.43	10.01±0.71	1122.45±37.44	24.79±1.74	1.47±0.11	97.77±0.16
1	3310.43	1491.65	30.04	923.39	96.94	7.00	89.50
2	2970.70	1287.13	28.88	1005.91	84.67	5.59	90.61
3	2657.03	1128.76	28.32	1074.64	91.36	5.67	91.50
4	3040.08	1600.87	35.10	939.34	98.47	6.99	89.52
เฉลี่ย±เบี่ยงเบน	2994.56±268.54	1377.11±210.53	30.59±3.10	986.57±69.47	92.86±6.26	6.31±0.78	90.53±1.18
1	6299.97	4397.69	46.53	738.36	153.14	13.83	79.26
2	6089.03	3534.87	38.70	863.54	139.29	10.75	83.87
3	5251.17	3245.27	41.20	875.40	150.09	11.43	82.86
4	5435.23	3910.97	47.97	798.00	151.10	12.62	81.07
เฉลี่ย±เบี่ยงเบน	5768.85±504.61	3772.20±498.16	43.60±4.38	818.83±63.53	148.40±6.21	12.16±1.35	82.01±2.26

ภาคผนวก ง.

**การวิเคราะห์ตัวอย่างน้ำเสียและพอลิอิเล็กโตรไอล์ต์เพิ่มการกรอง  
อัลตราฟิลเตอร์ชันตัวอย่างน้ำเสีย**

อัตราส่วนมวลของพอลิอิเล็กโตรไอล์ต์ ต่อ มวลของครามเมตไอคอน 20/1  
น้ำเสียตัวอย่างที่ 1

พอลิอิเล็กโตรไอล์ต์ 0.4663 มิลลิร์ จำนวน	91.1	มล.
ปริมาตรตัวอย่างน้ำเสีย	250	มล.
ปริมาตรสารละลายรวม ( $91.1 + 250$ )	341.1	มล.
ปริมาตรของสารละลายที่ใช้ในสเตอร์เซลล์	300.00	มล.
ปริมาณน้ำเสียในสเตอร์เซลล์รอบที่ 2	205	มล.
ปริมาณน้ำเสียในสเตอร์เซลล์รอบที่ 3	205	มล.
ปริมาณน้ำเสียในสเตอร์เซลล์รอบที่ 4	205	มล.
ปริมาตรเพอมิเอก	200	มล.

น้ำเสียตัวอย่างที่ 2

พอลิอิเล็กโตรไอล์ต์ 0.5219 มิลลิร์ จำนวน	95.5	มล.
ปริมาตรตัวอย่างน้ำเสีย	250	มล.
ปริมาตรสารละลายรวม ( $95.5 + 250$ )	345.5	มล.
ปริมาตรของสารละลายที่ใช้ในสเตอร์เซลล์	300.00	มล.
ปริมาณน้ำเสียในสเตอร์เซลล์รอบที่ 2	202	มล.
ปริมาณน้ำเสียในสเตอร์เซลล์รอบที่ 3	202	มล.
ปริมาณน้ำเสียในสเตอร์เซลล์รอบที่ 4	202	มล.
ปริมาตรเพอมิเอก	200	มล.

น้ำเสียตัวอย่างที่ 1 pH ของสารละลายน้ำเสีย 2.54

คงคปะกอนของตัวอย่างน้ำเสียก่อนและหลังผ่านแม่เปรนอัลตราไฟลเตอร์ชั้น

น้ำเสีย	เวลา (นาที)	ความเข้มข้นของไอโอนในเพอมิเอก (มก. ต่อ ลิตร)								รีเจ็คชัน (%)
		ทองแดง	เหล็ก	นิเกิล	สังกะสี	คลบไว์ต์	ไนเตรท	ชัลเฟต	โครเมต	
สเตอร์เซลล์ 300มล		23.9	23.83	150.3	17.07	2178.8	nd*	234	722.73	
เพอมิเอกรอบที่ 1	208.46	25.74	22.53	169.51	22.84	1504.56	nd*	56.99	7.46	99.52
เพอมิเอกรอบที่2	185.86	30.60	26.48	175.12	23.23	1795.47	nd*	71.81	15.60	99.47
เพอมิเอกรอบที่3	179.63	30.18	28.56	179.08	23.88	1845.47	nd*	80.13	23.22	99.48
เพอมิเอกรอบที่4	162.39	30.60	28.79	179.28	24.27	1850.01	nd*	93.58	32.45	99.39

nd\*: ค่าที่วัดได้ต่ำกว่าขีดจำกัดของการตรวจวัด

น้ำเสียตัวอย่างที่ 2 pH ของสารละลายน้ำเสีย 2.50

องค์ประกอบของตัวอย่างน้ำเสียก่อนและหลังผ่านเมมเบรนอัตตราพิลเทรัช

น้ำเสีย	เวลา (นาที)	ความเข้มข้นเฉลี่ยของไอโอนในเพอ米เอก (มก.ต่อ ลิตร)								รีเจ็คชัน (%)
		ทองแดง	เหล็ก	นิเกิล	สังกะสี	คลอไรด์	ไนเตรท	ซัลเฟต	โครเมต	
สเตอร์เซลล์ 300 ㎖		25.57	10.83	120.17	4.67	331.53	nd*	219.10	716.93	
เพอ米เอทรอบที่ 1	234.10	30.38	9.93	140.42	6.16	449.55	nd*	36.59	7.33	99.56
เพอ米เอทรอบที่ 2	223.52	30.40	11.50	156.84	6.41	482.28	nd*	36.46	12.54	99.45
เพอ米เอทรอบที่ 3	231.62	27.59	11.79	154.10	6.38	465.00	nd*	44.32	17.83	99.50
เพอ米เอทรอบที่ 4	217.85	25.96	10.80	145.23	6.26	458.19	nd*	48.93	23.18	99.53

nd\*: ค่าที่วัดได้ต่ำกว่าขีดจำกัดของการตรวจวัด

